

Aleyin, A journey to the underside

Robotique d'Exploration Karstique:
bilan et perspectives



PEOPLE INVOLVED

- LIRMM

- Lionel Lapierre
- Didier Crestani
- René Zapata
- Jean Triboulet
- Sébastien Druon
- Karen Godary-D
- Dang Huu Tho
- Quentin Massone
- Rodolfo Villalobos

- HSM

- Hervé Jourde

- BRGM

- J.C. Maréchal

- IES

- Franck Augereau
- Didier Laux
- Antoine Gademer
- Arnaud Véna
- Mohammad Alarab

- IMAG

- Bijan Mohammadi
- André Mas
- Yohan Breux

- LEM/MRM

- Saïd Yami
- Gérald Naro

- 3M

- Arnaud Vestier
- Adélaïde Kasolter

- PlongéeSout

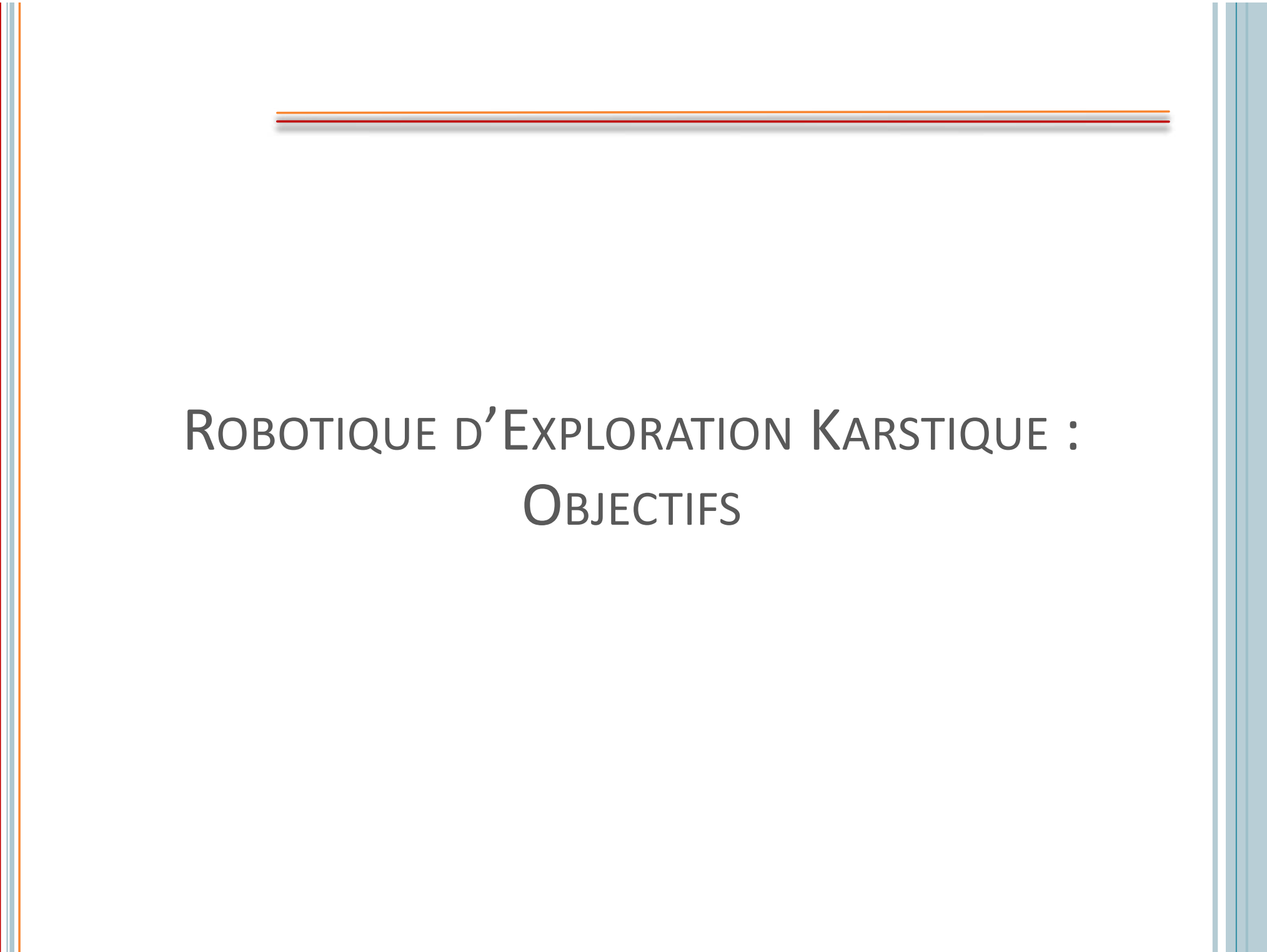
- Frank Vasseur
- Rémi Bouchard
- Mehdi Dighouth

- Companies

- Luc Rossi (Syera)
- Benoit Ropars (Reeds)
- Hydrokarst

- Interns

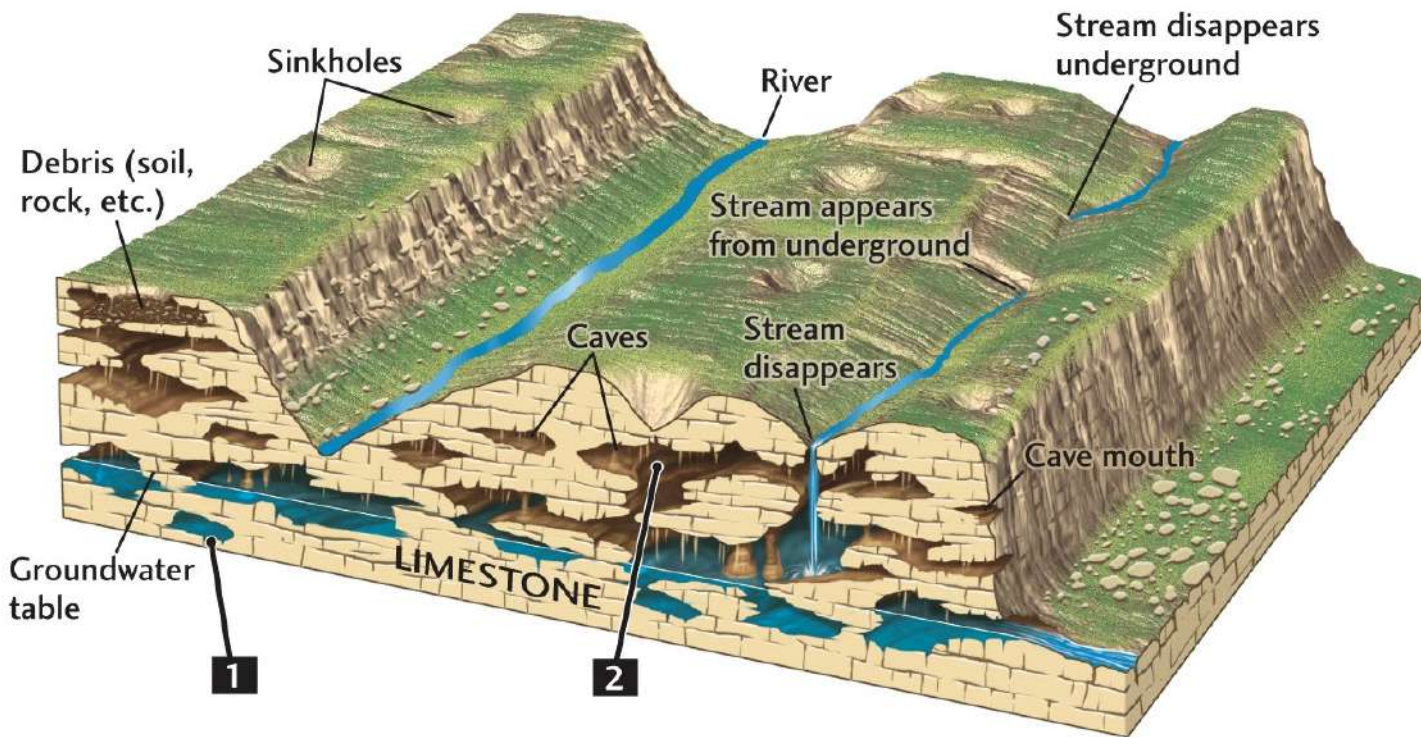
- Polytech (12)
- Epita (2)



ROBOTIQUE D'EXPLORATION KARSTIQUE : OBJECTIFS

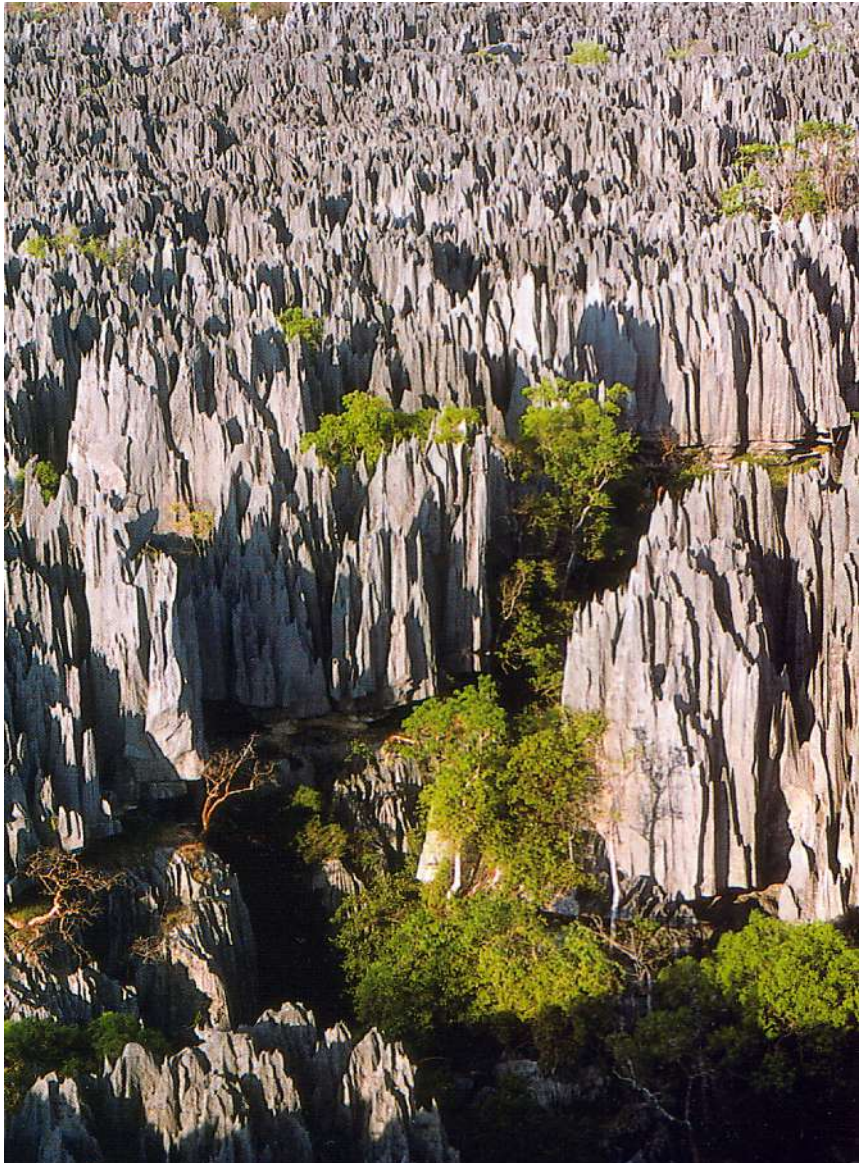
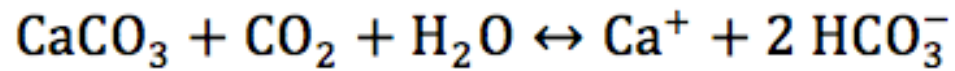
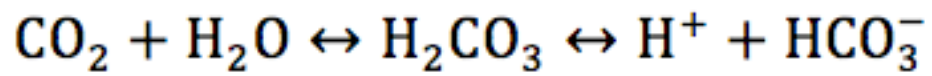
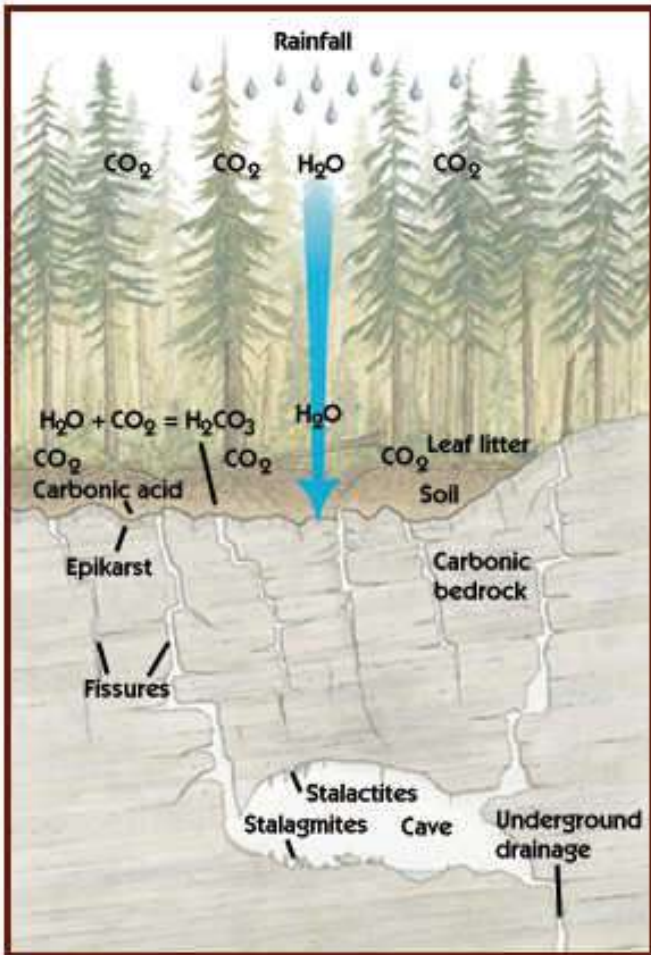
KARST : DEFINITION

- A topography formed from the dissolution of soluble rocks such as limestone, dolomite, and gypsum,



- Characterized by **underground drainage hydrosystems** with sinkholes and caves.

KARST : DEFINITION



Tsingy de Bemaraha, Madagascar

KARST : SURFACE STIGMATA

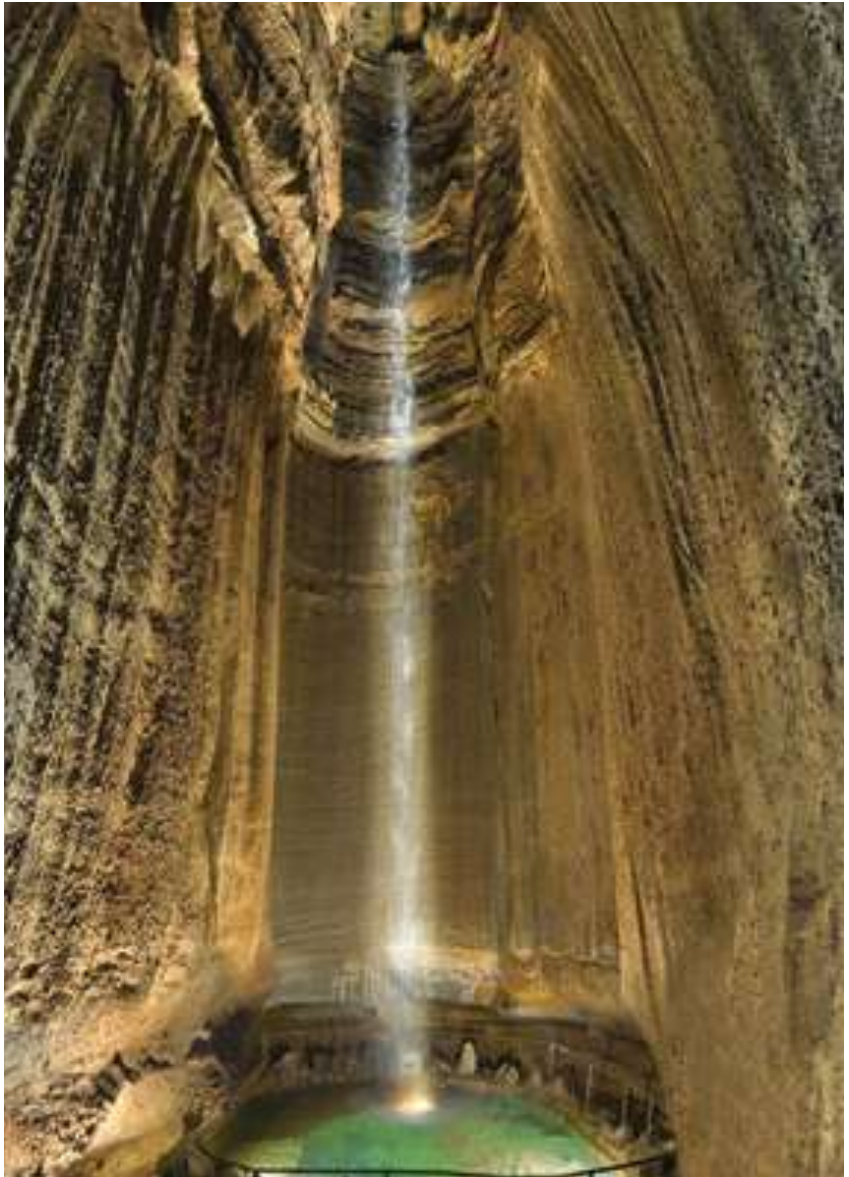


Balaa, Tannourine, Lebanon



Stone Forest, Shilin Yi, Yunnan, China

KARST : UNDERGROUND CONTINUATION



Cueva de los Cristales, Naica,, Mexico



Ruby Falls ,Chattanooga, Tennessee, USA Furong Cave, Wulong District, Chongqing, China

KARST : GROUNDWATER RESERVOIR



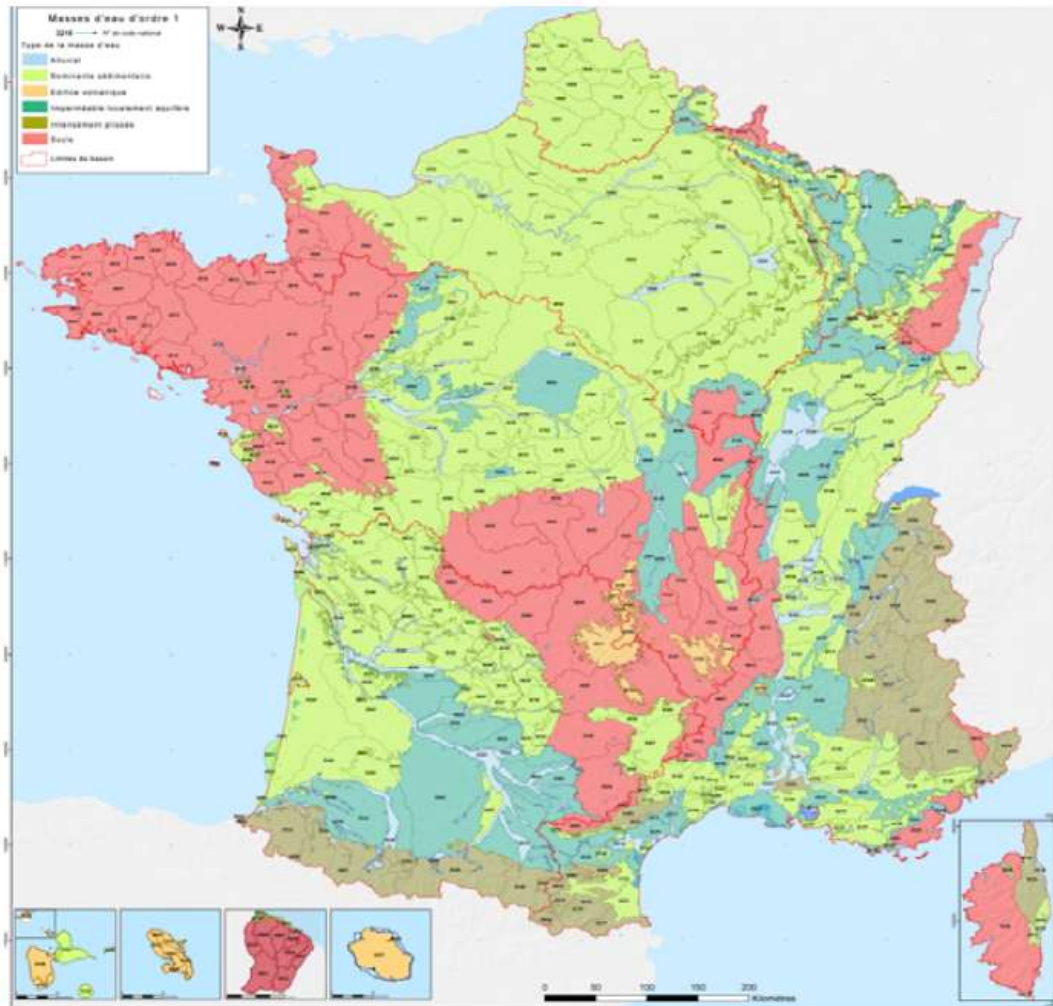
Eclairage : Cédrik Bancarel
Dominique Françoise
Photo.: Frank Vasseur

KARST : GROUNDWATER RESERVOIR



Pedro Balordi and Guenter Essig, Gourneyras, France, July 2015

KARST : GROUNDWATER MANAGEMENT, A NATIONAL ISSUE

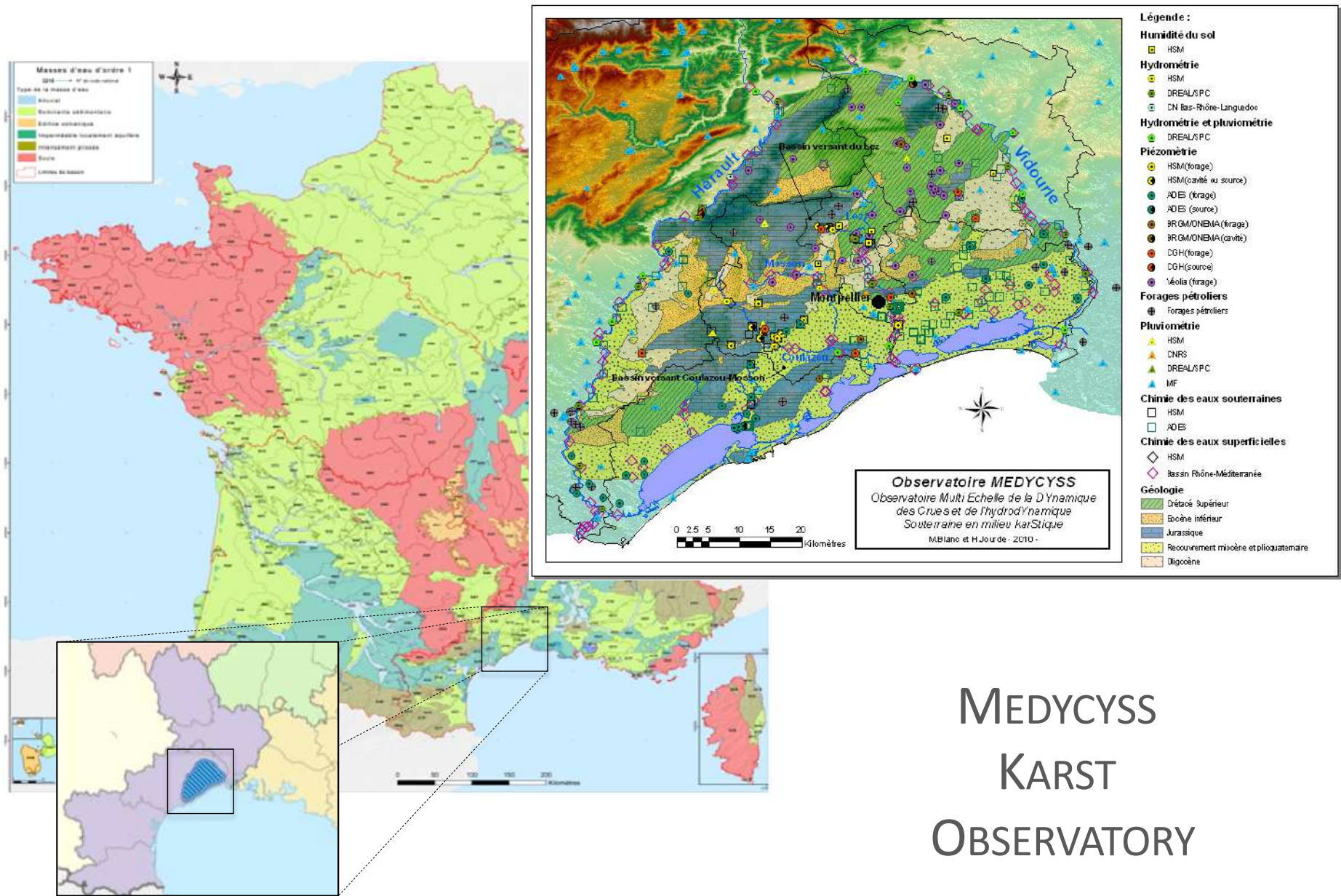


+ 50% of Drinking Water Supply

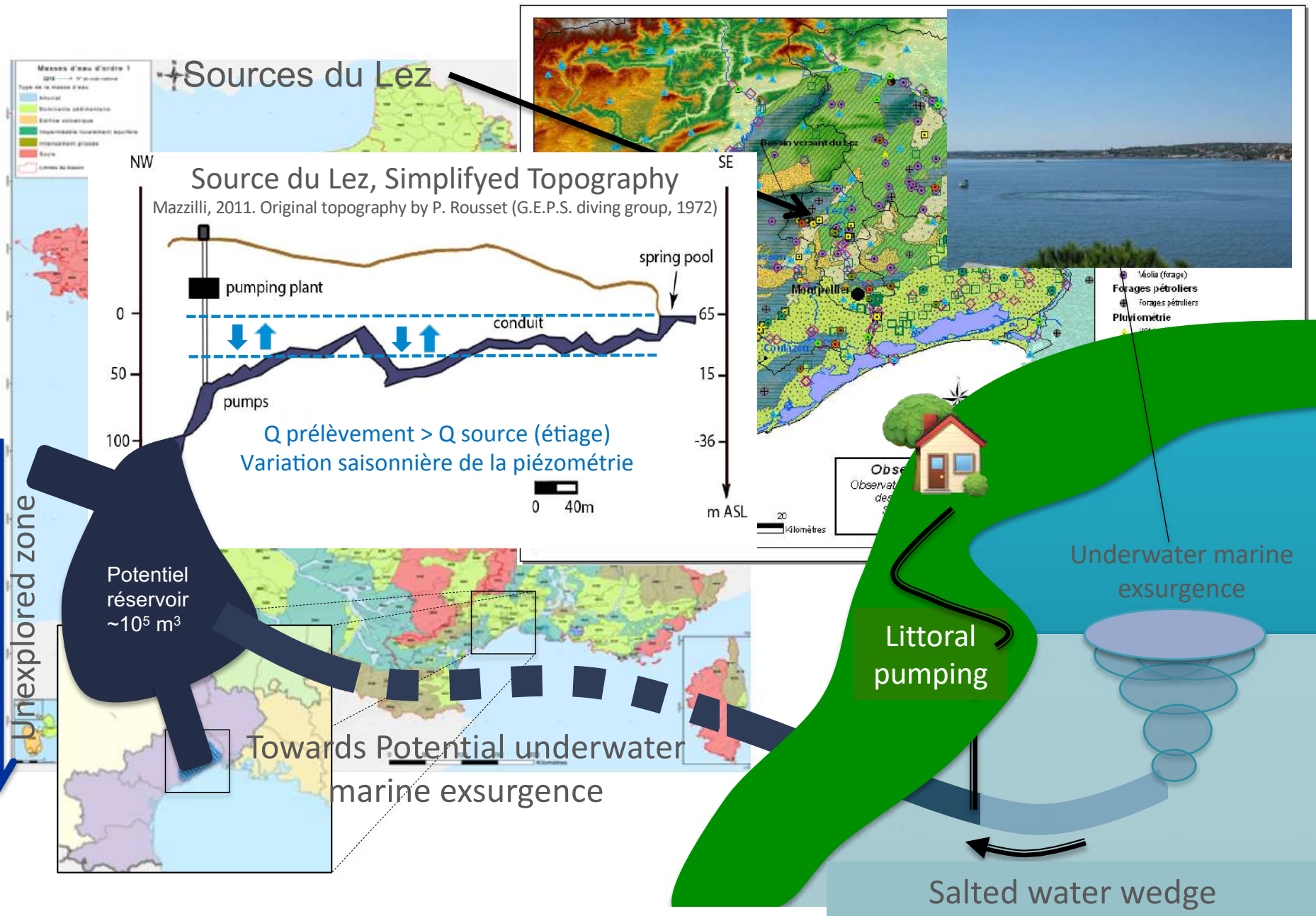
Service National d'Observation
du KARST,
SNO INSU/CNRS
OSU OREME (UM)
Coordinator H. Jourde

Carte hydrogéologique des formations carbonatées karstifiables (EASAC report)

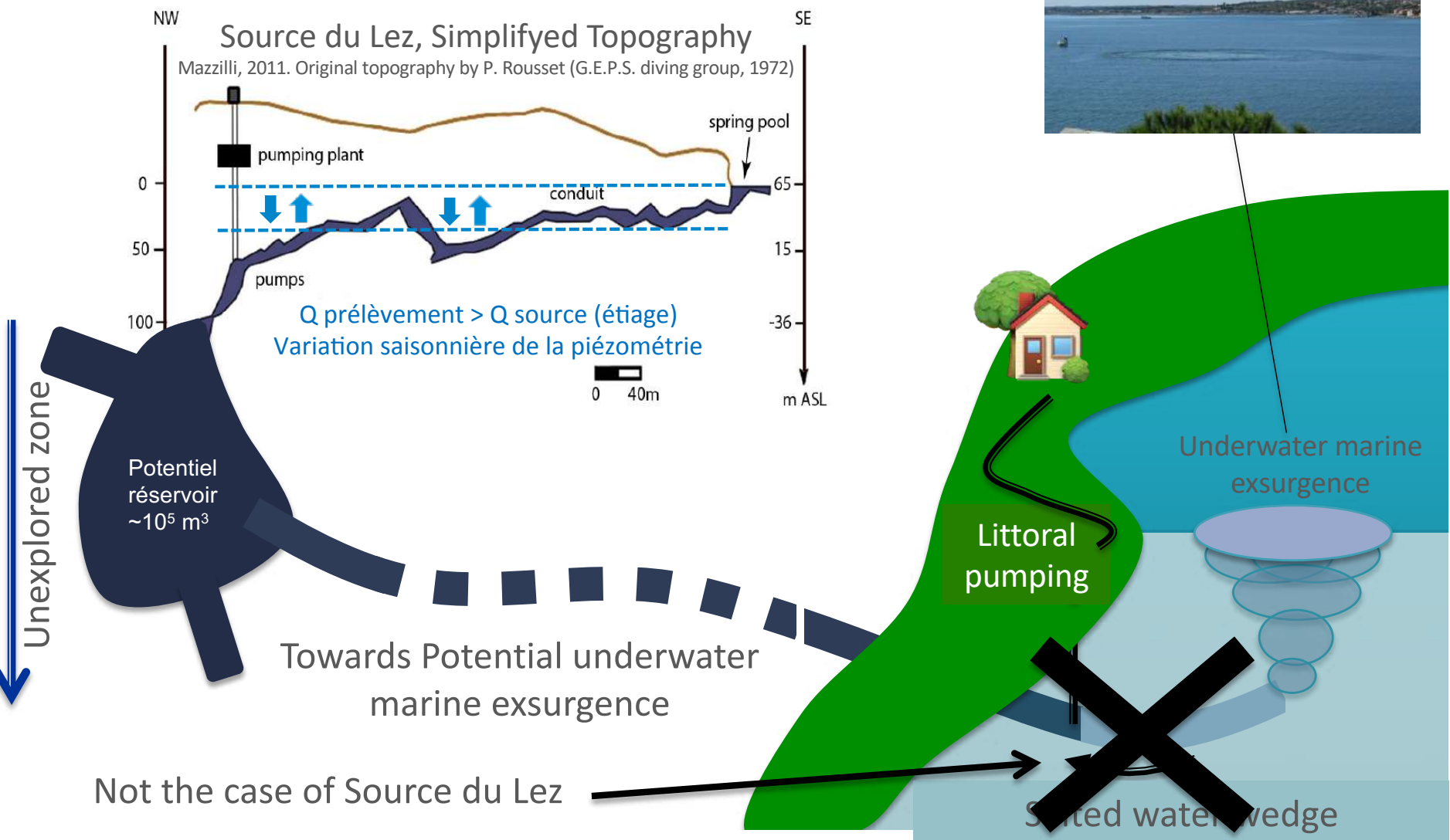
MONTPELLIER'S CATCHMENT BASIN : A SEMINAL CASE STUDY



SOURCES DU LEZ : A SEMINAL CASE STUDY

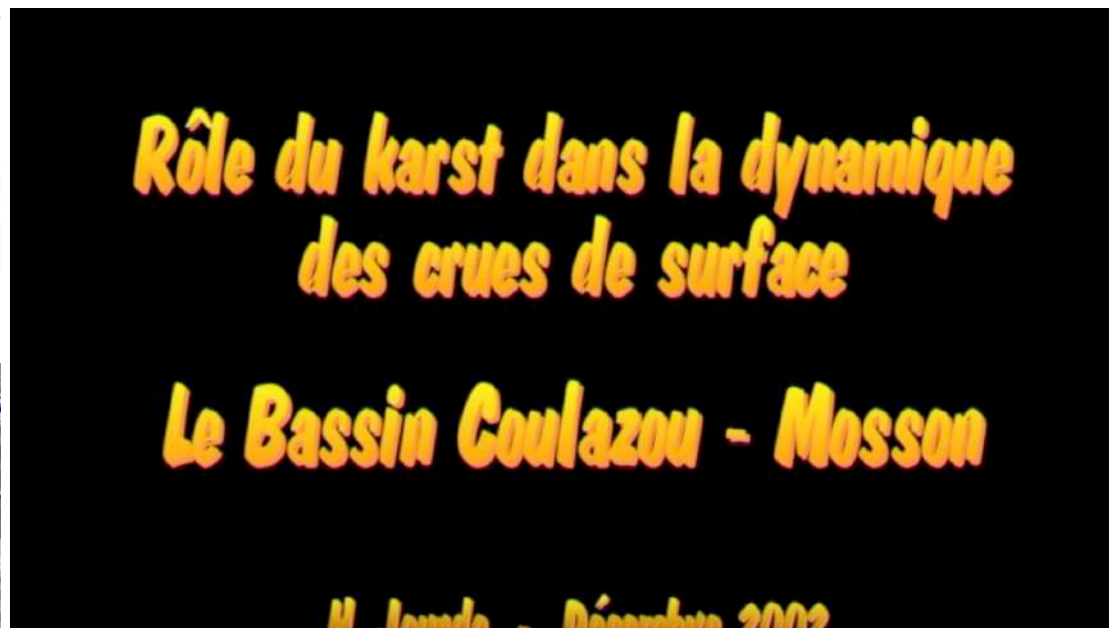
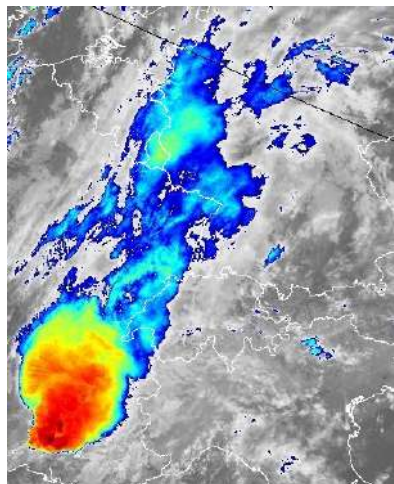
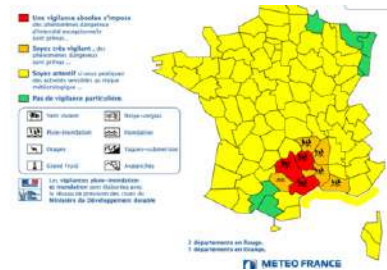


SOURCES DU LEZ : ACTIVE MANAGEMENT OF GW RESOURCE



MONTPELLIER'S CATCHMENT BASIN : A SEMINAL CASE STUDY

○ Hydrogeological Risk Assessment



Floods of Coulazou River, December 2002





Floods of Lez River
6 Septembre 2005, Prades le Lez







HYDROGEOLOGICAL RISK : SKINHOLES



Harbin, Heilongjiang province, China.



Guatemala City, Guatemala



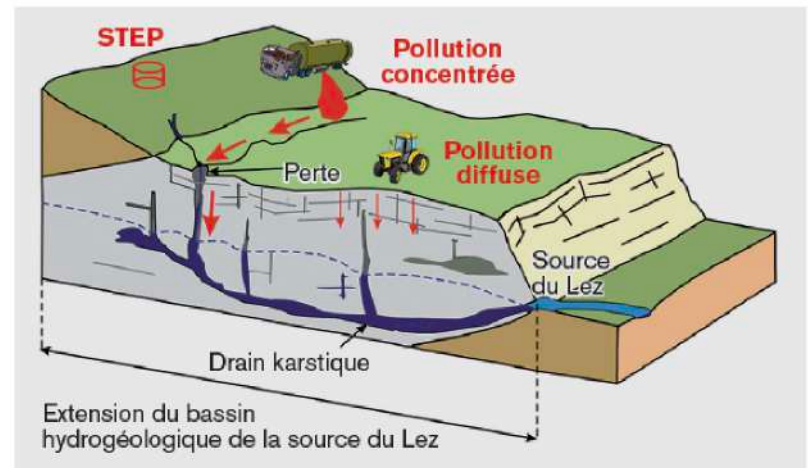
Orlando, Florida, USA



Dead-Sea shore, Israel

THE STAKES

- Prospection / Preservation/ Management of Water Resource
 - Pumping and drilling regulation and guidance
 - Management of supply redundancy in case of massive contamination
- Hydrological and pollution Risk Assessment
 - Forecasting and Decision Aids
 - Skinholes detection
 - Karst as flood control dam: regulation and strategic positioning of pumping stations -> Active management of the resource



CLOSURE OF THE GIBRALTAR STRAIT

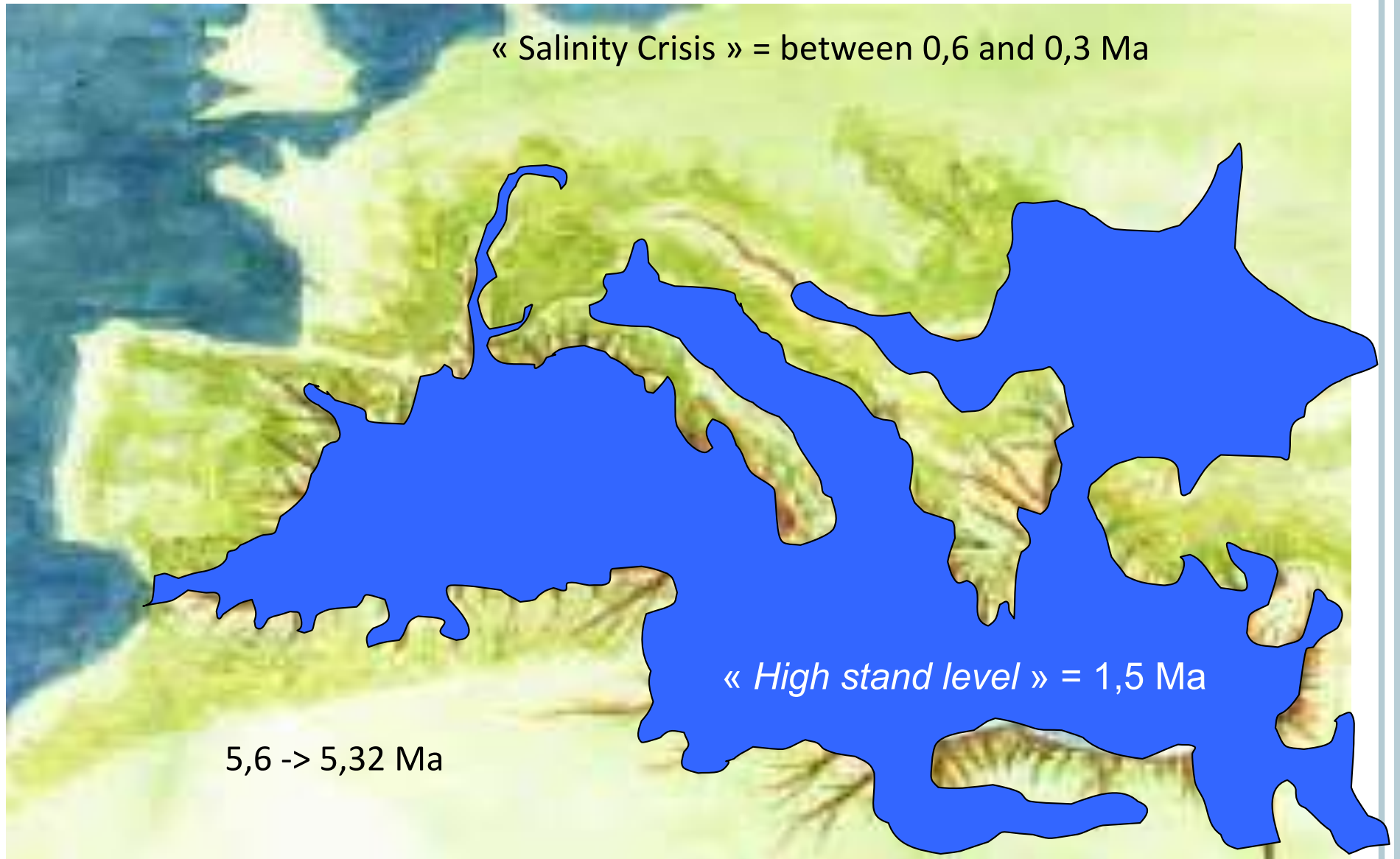


Messinian events : 2 salinity crisis

1/ 5.95 - 5.6 Ma 100 m

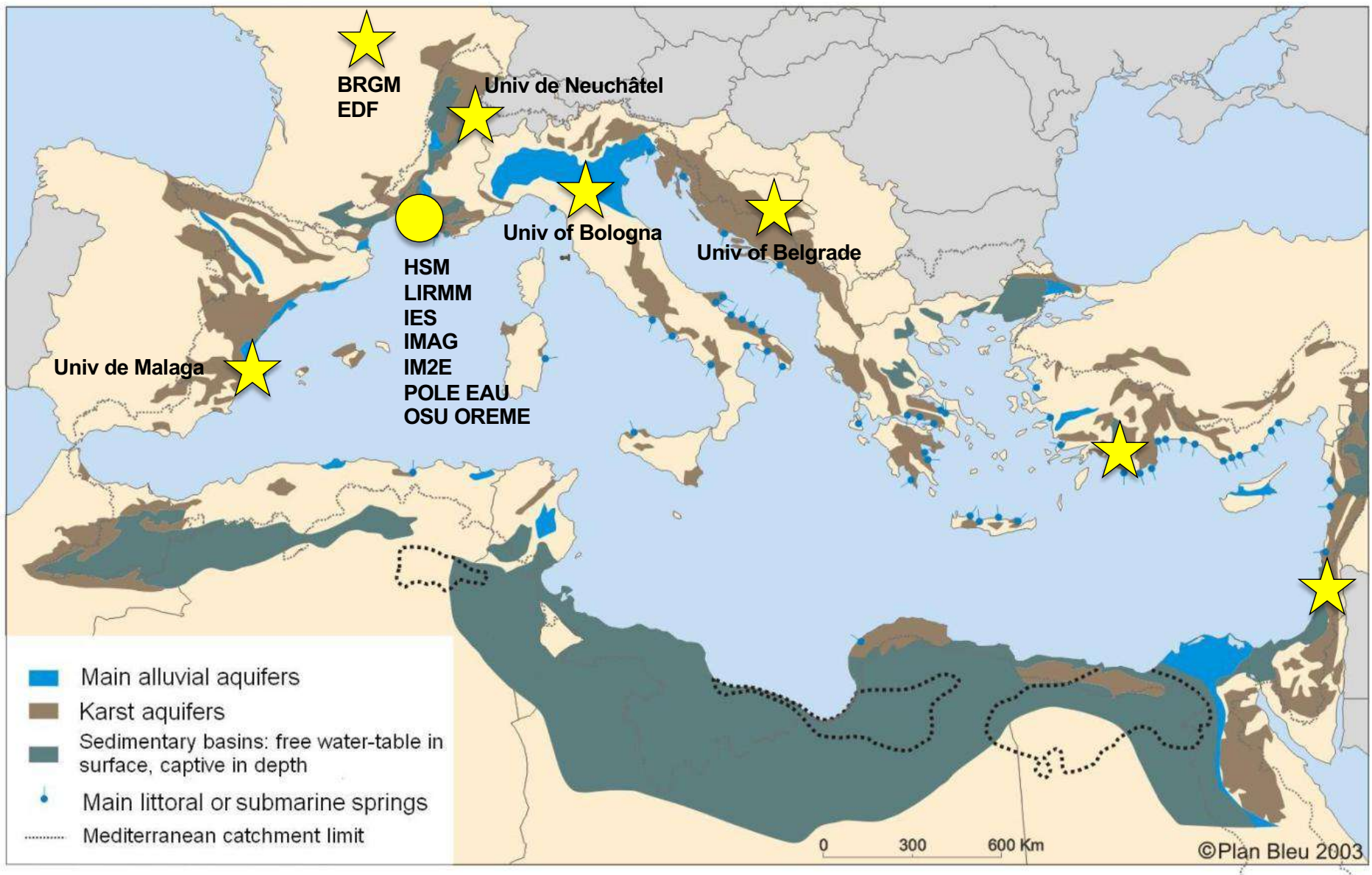
2/ 5.6 - 5.32 Ma 1500 m

MEDITERRANEAN KARSTS DURING MESSINIAN SALINITY CRISIS



Deep Karstification

MEDITERRANEAN KARSTS



WORLD KARSTIC REGIONS



IAH : International Association of Hydrogeology, société savante.

EXPLORE FLOODED KARST : CHARACTERIZATION OF THE KARST DYNAMIC



Geomorphology of the flooded zone (volumes) : new sensors, new models.

N-D geomorphological models

Karst Dynamics

Network cartography beyond physiological limitations.

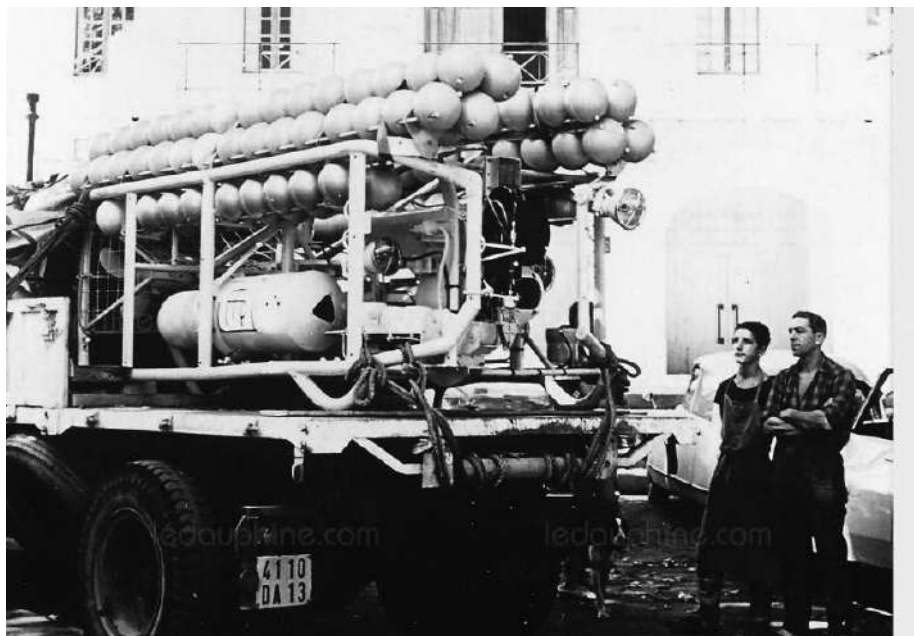
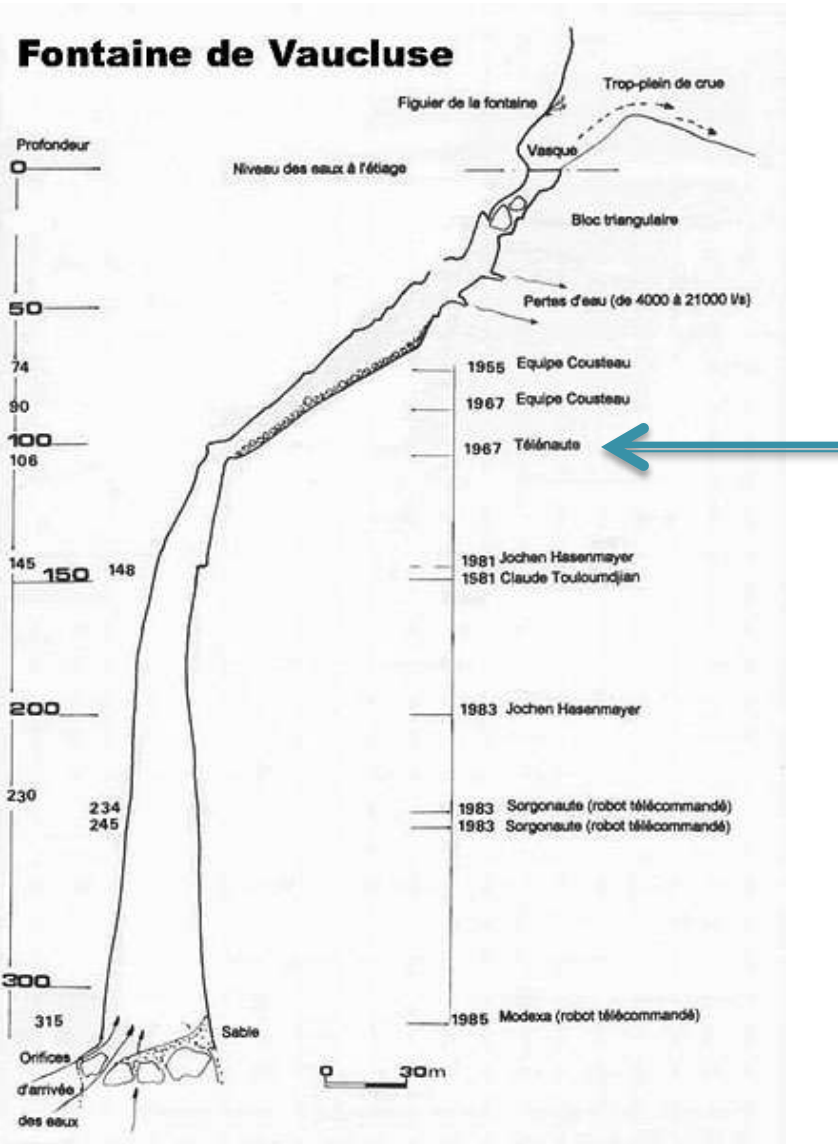
Seasonal measurements and Reproducible protocols.

Environment Instrumentation, specific marker drop.



A RAPID HISTORY OF KARST EXPLORATION WITH ROBOT

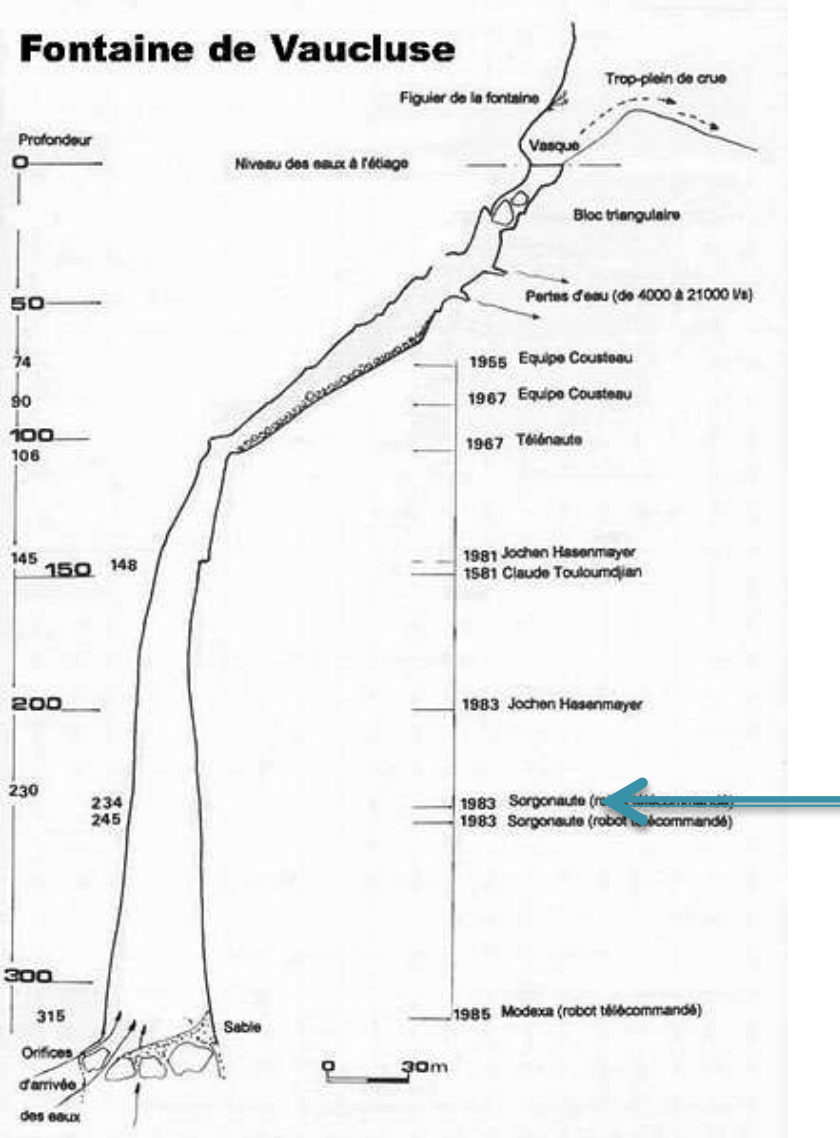
○ Fontaine de Vaucluse : A magnificent Robotic Failure



1967, Télénauta (Cdt Cousteau)
106m

A RAPID HISTORY OF KARST EXPLORATION WITH ROBOT

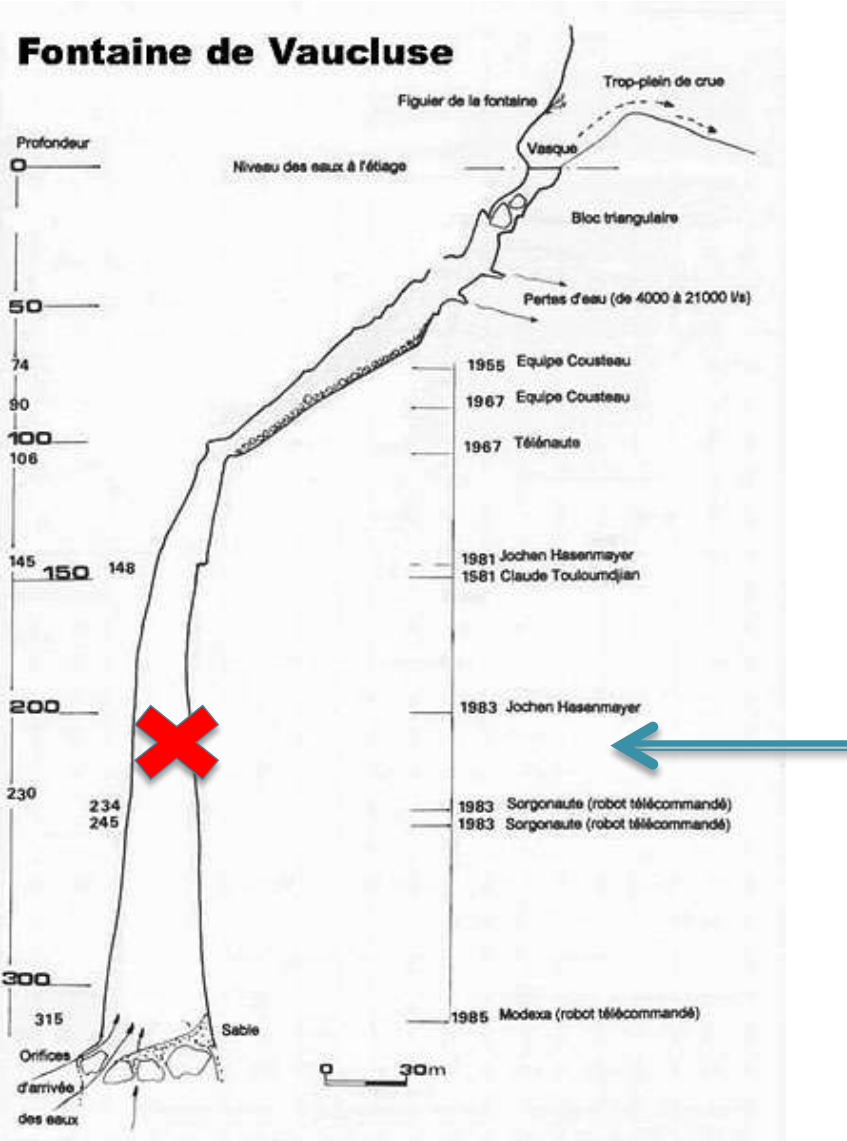
○ Fontaine de Vaucluse : A magnificent Robotic Failure



1983, Sorgonaute (Renault)
243m
(stopped by cable length)

A RAPID HISTORY OF KARST EXPLORATION WITH ROBOT

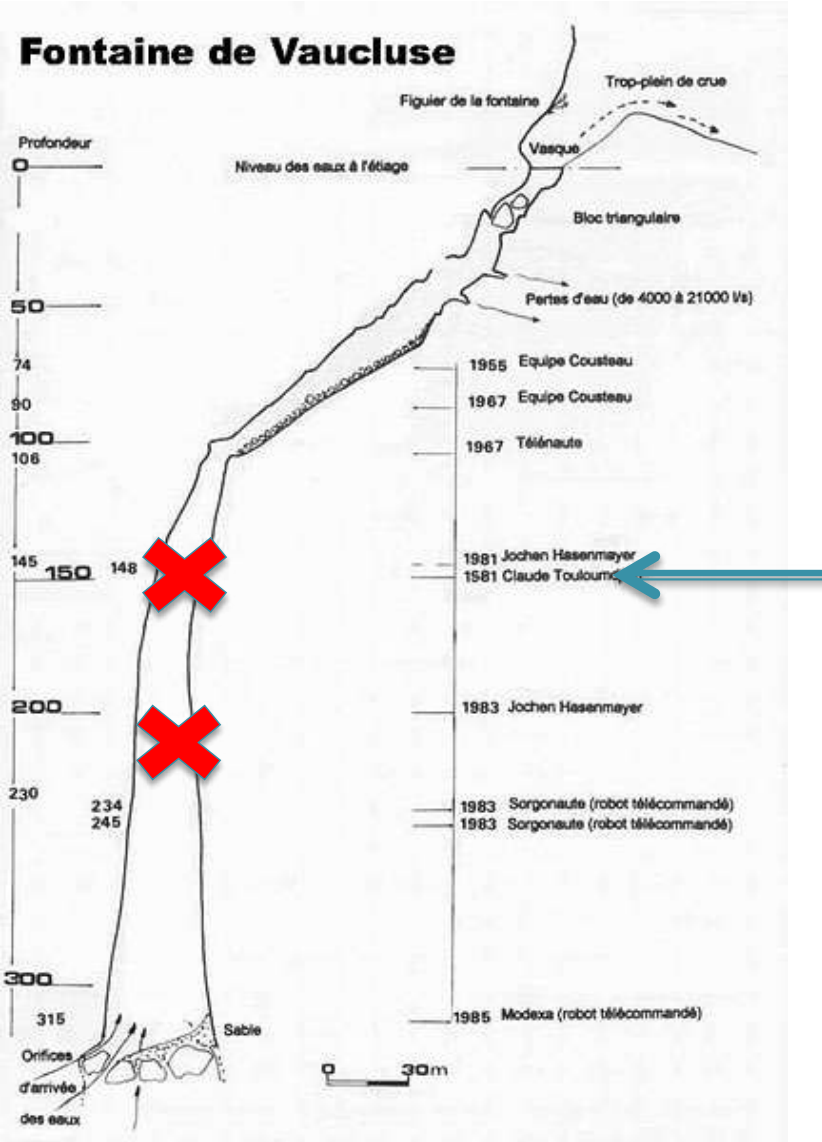
Fontaine de Vaucluse : A magnificent Robotic Failure



1984, Sorgounote II (Renault)
Lost at 233m
(Trapped in a remaining lifeline)

A RAPID HISTORY OF KARST EXPLORATION WITH ROBOT

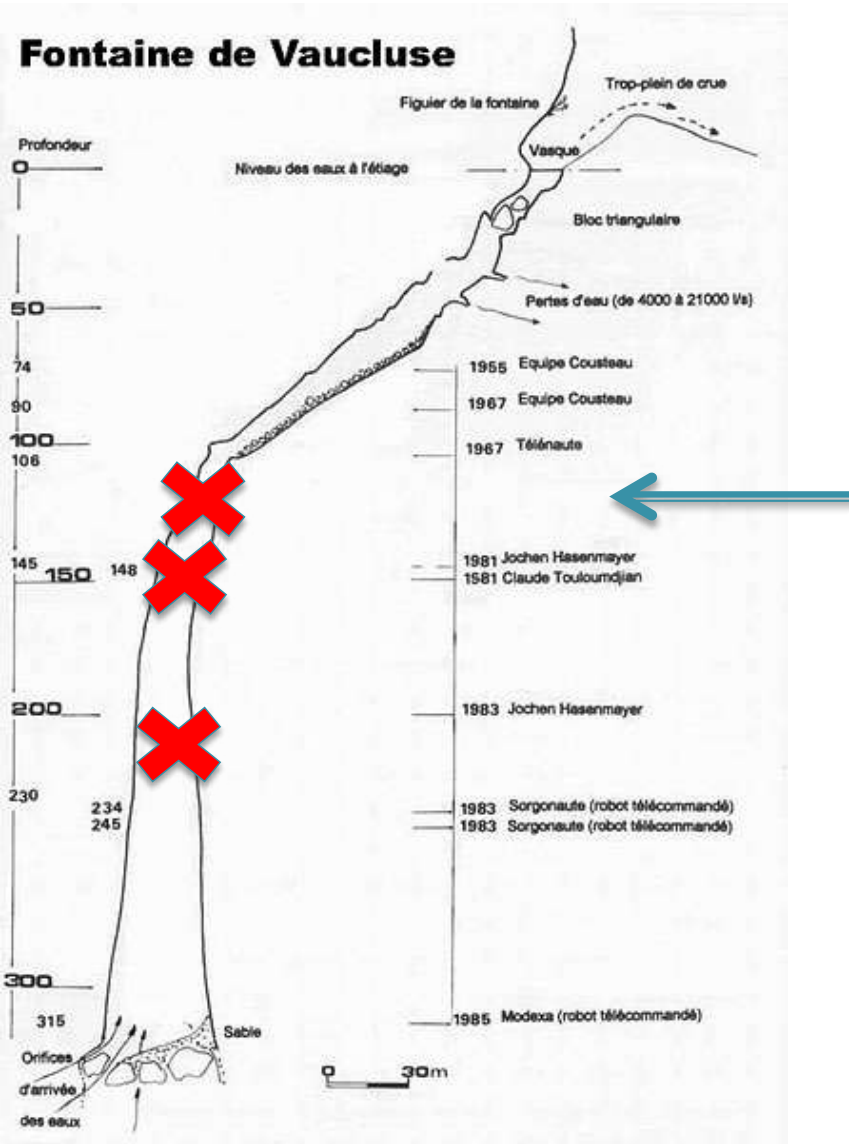
Fontaine de Vaucluse : A magnificent Robotic Failure



1986, Sorgonaute III (Renault)
Lost at 150m
(Trapped in the cable of Sorgonaute II)

A RAPID HISTORY OF KARST EXPLORATION WITH ROBOT

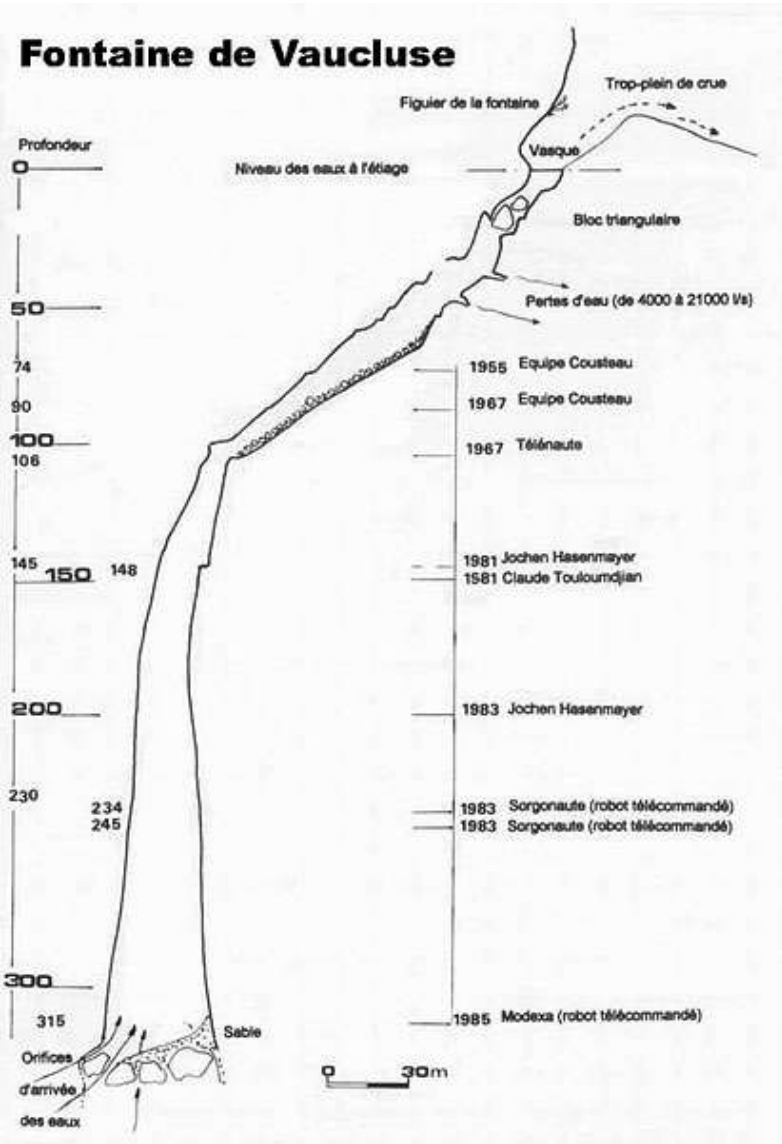
Fontaine de Vaucluse : A magnificent Robotic Failure



1983, Sorgounaut IV (Renault)
Failure
(Unable to recover SI and SII)

A RAPID HISTORY OF KARST EXPLORATION WITH ROBOT

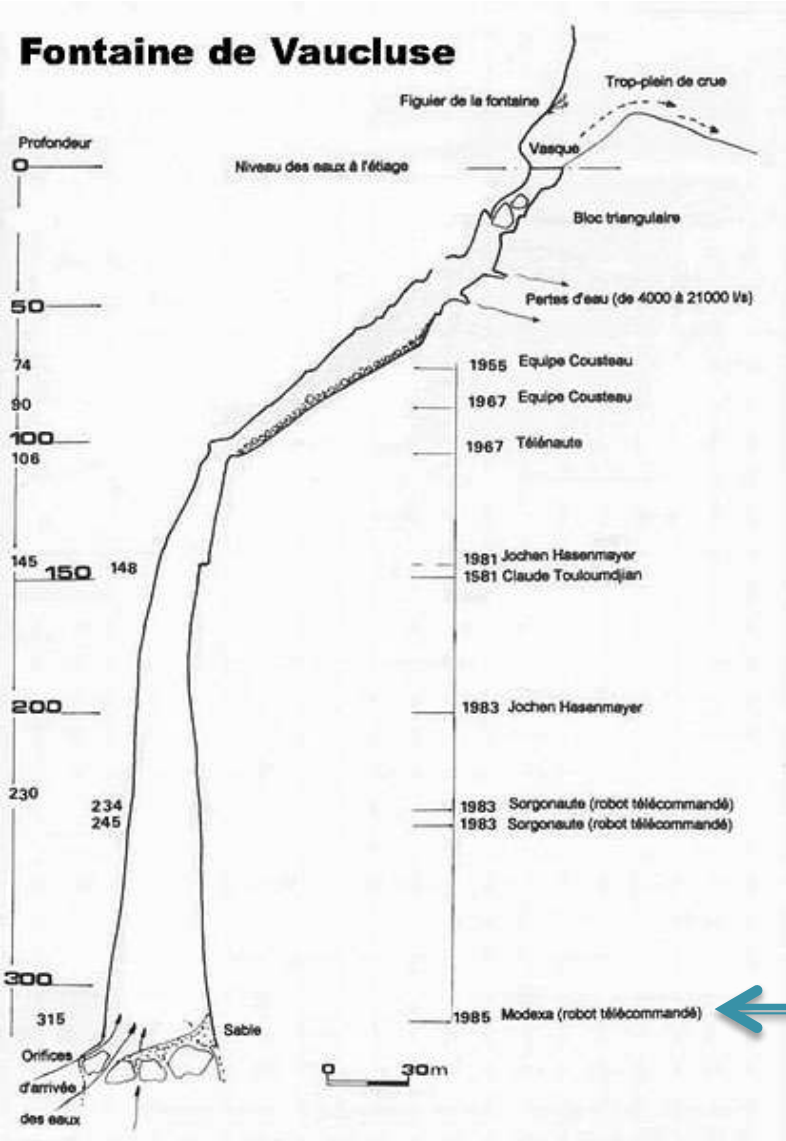
○ Fontaine de Vaucluse : A magnificent Robotic Failure



1984, The chasm was cleared by divers

A RAPID HISTORY OF KARST EXPLORATION WITH ROBOT

Fontaine de Vaucluse : A magnificent Robotic Failure

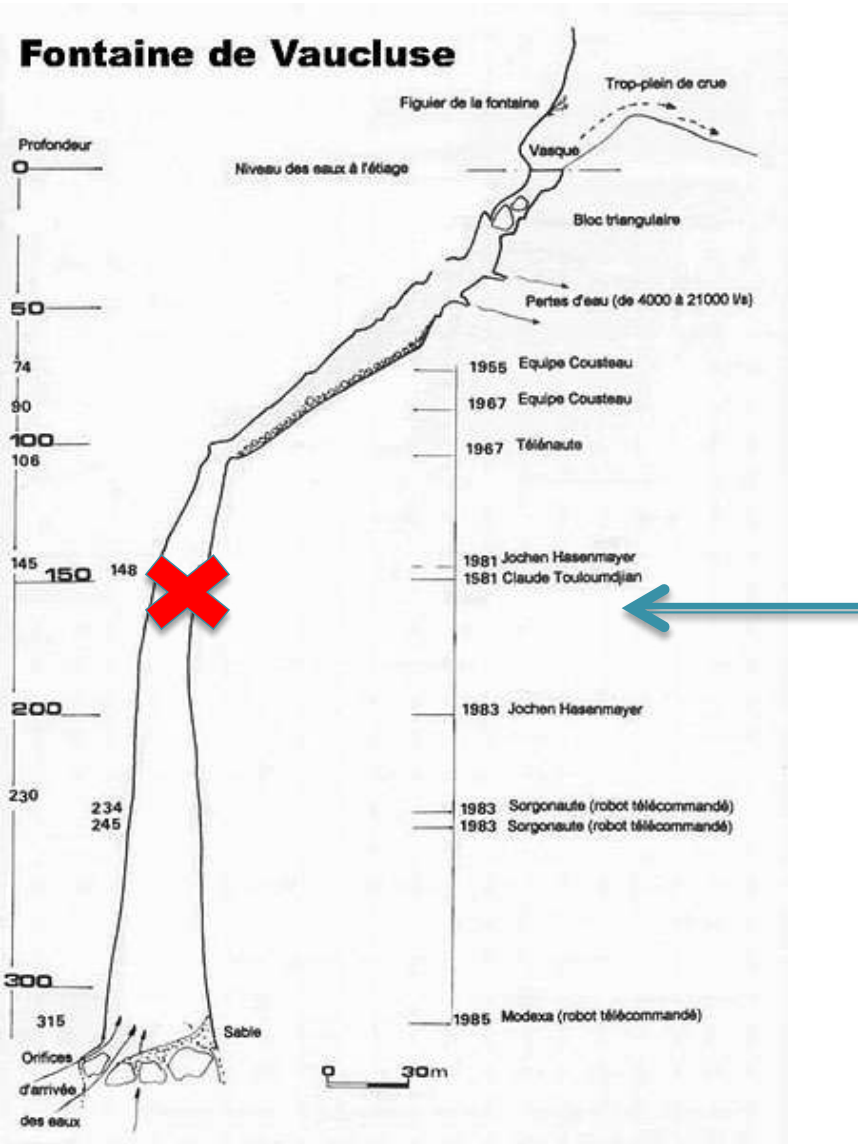


1989, Spéléonaute (S.S.F.V.)
Touch-down : 315m

1985, Modexa (M.I.C), Touch-down : 315m

A RAPID HISTORY OF KARST EXPLORATION WITH ROBOT

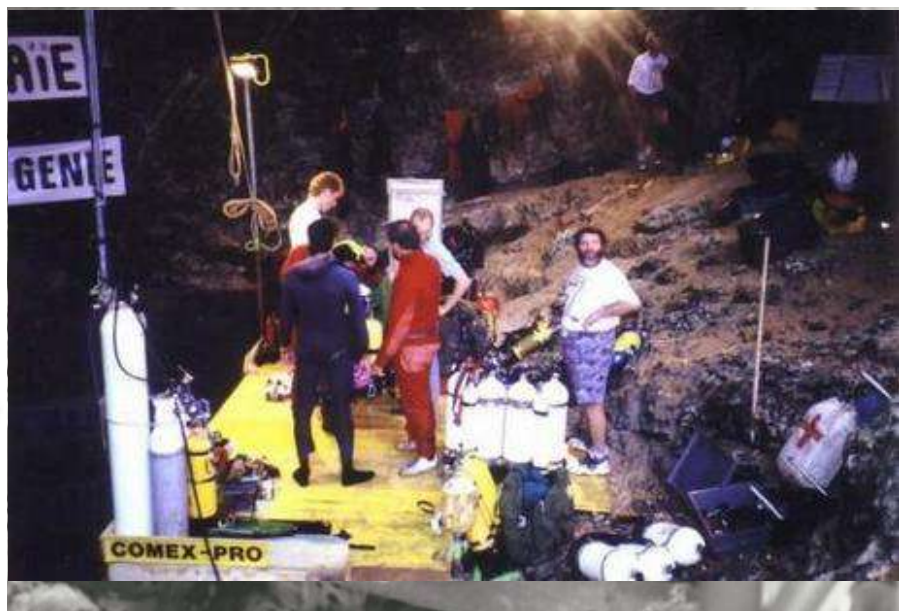
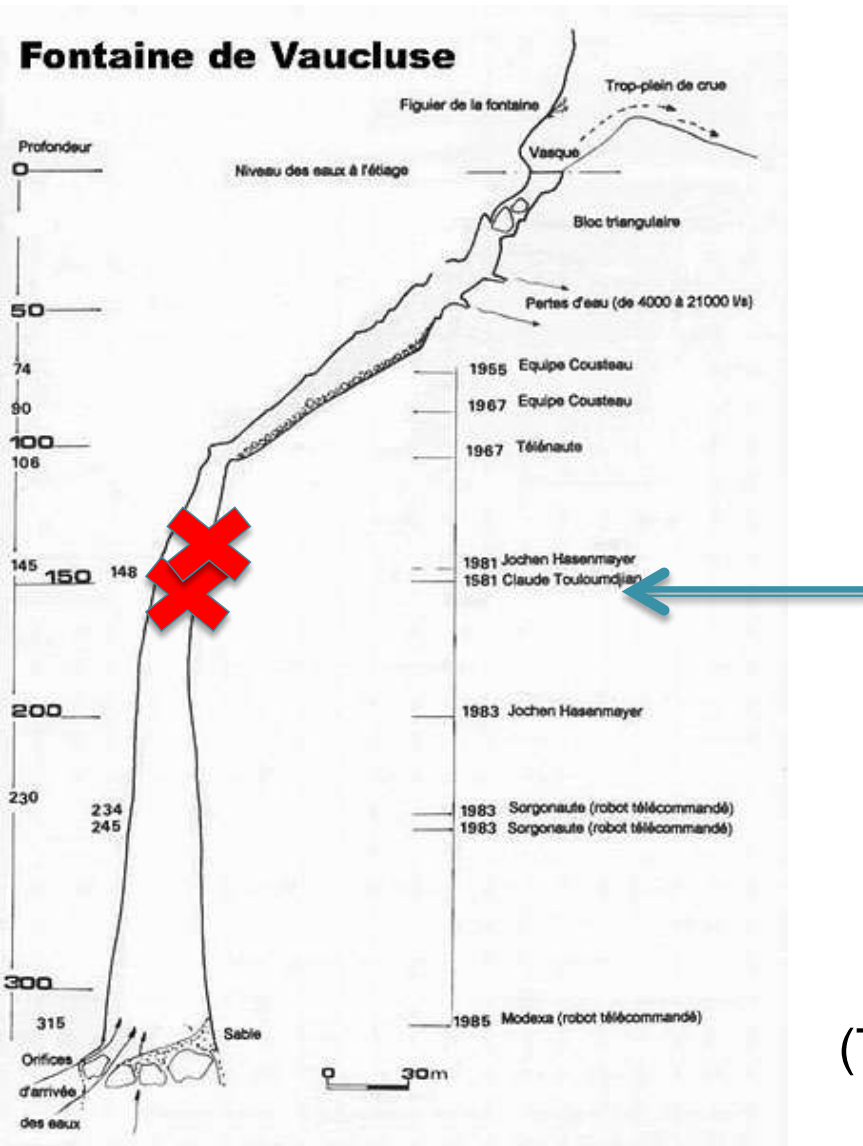
○ Fontaine de Vaucluse : A magnificent Robotic Failure



1996, Spéléautre III (S.S.F.V.)
Lost at 164m
(Trapped in a remaining lifeline)

A RAPID HISTORY OF KARST EXPLORATION WITH ROBOT

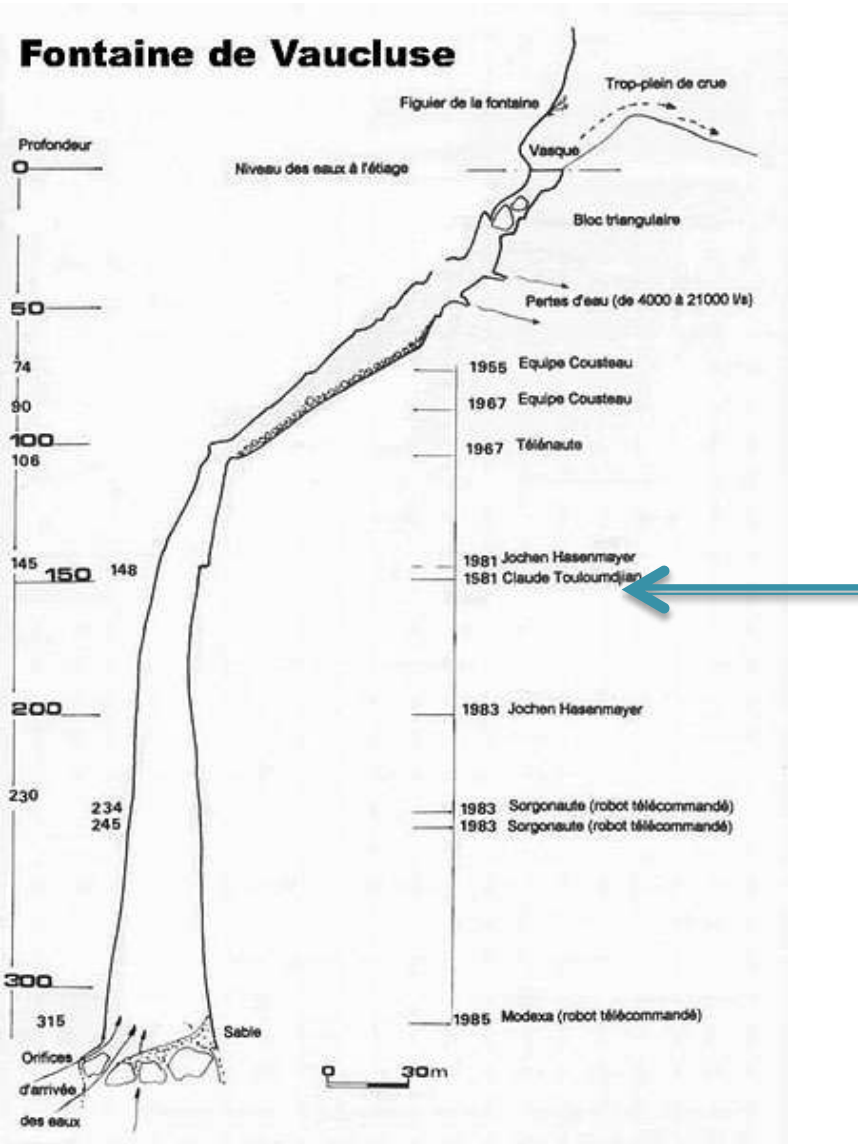
○ Fontaine de Vaucluse : A magnificent Robotic Failure



1996, ROV COMEX
Lost at 164m
(Trapped in the cable of Spéléonaute III)

A RAPID HISTORY OF KARST EXPLORATION WITH ROBOT

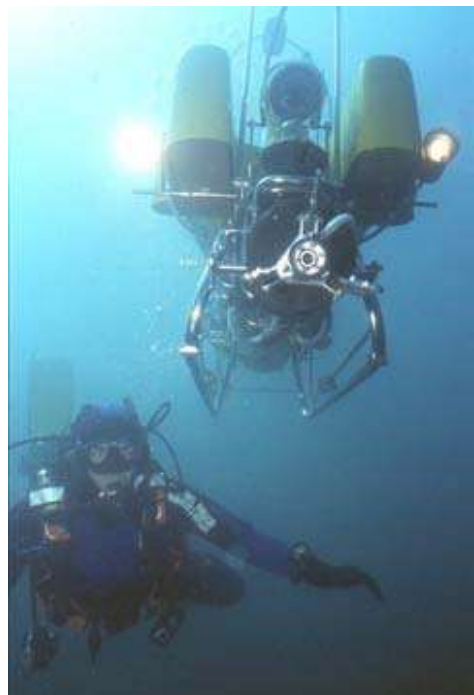
○ Fontaine de Vaucluse : A magnificent Robotic Failure



1996, Chasm cleared by divers

A RAPID HISTORY OF KARST EXPLORATION WITH ROBOT

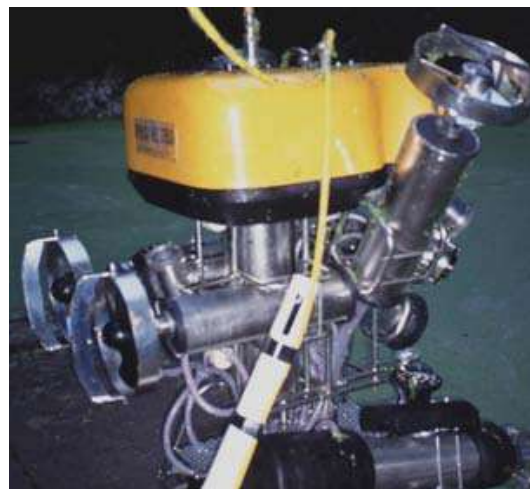
○ Exploration of the Pozzo Del Merro (Italy)



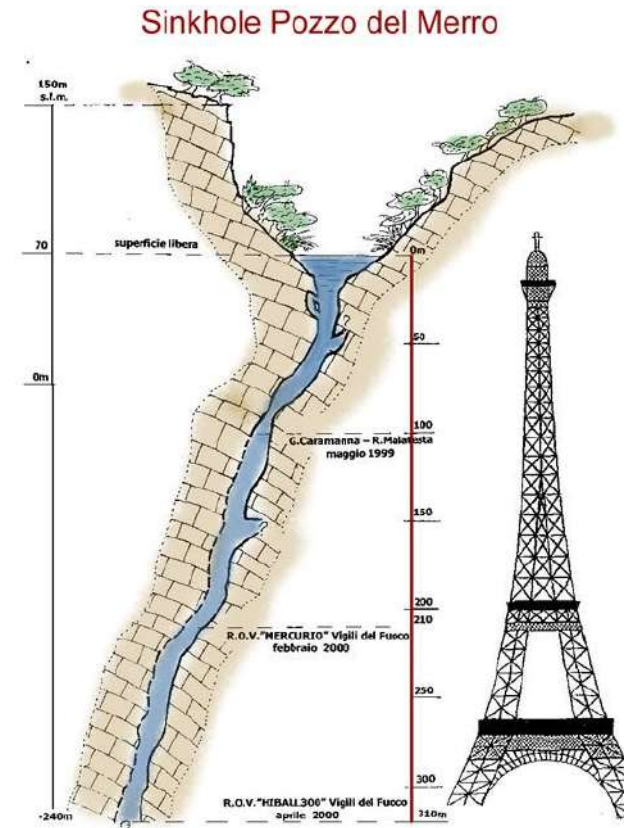
2000, Mercury, 210m



2001, Hyball, 310m

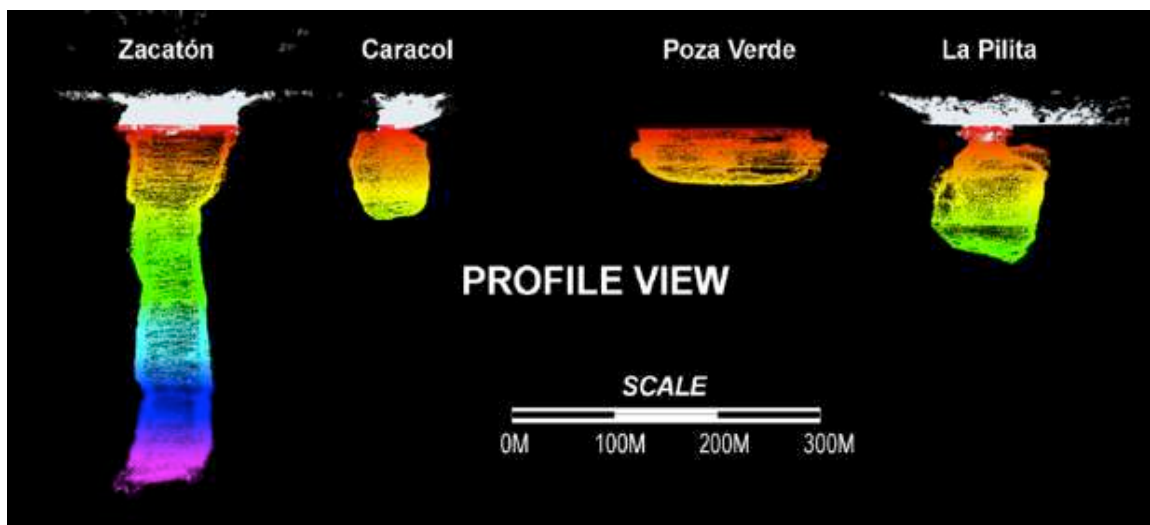
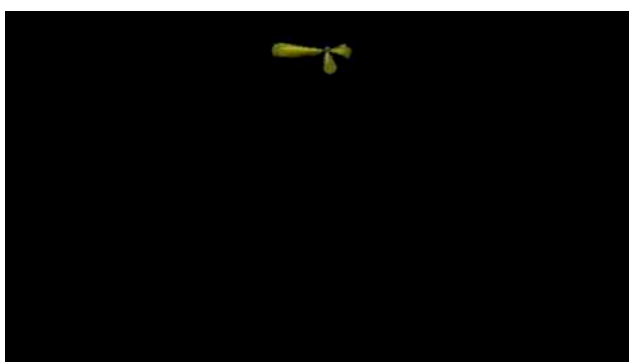
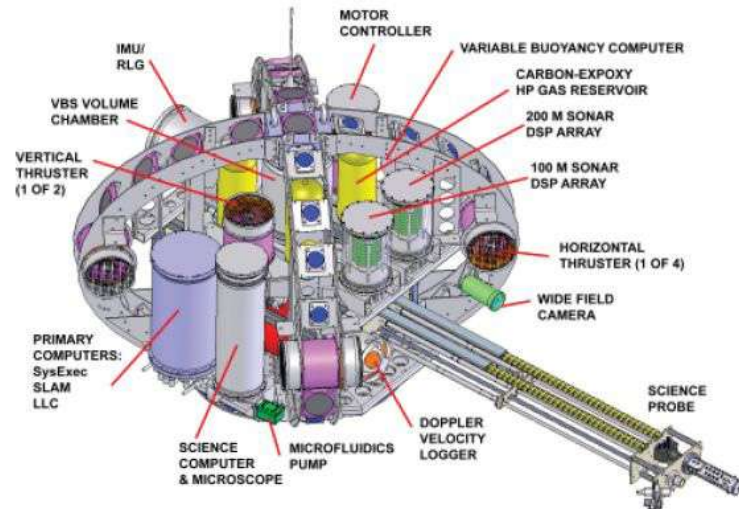


2002, Prometheus, 392m



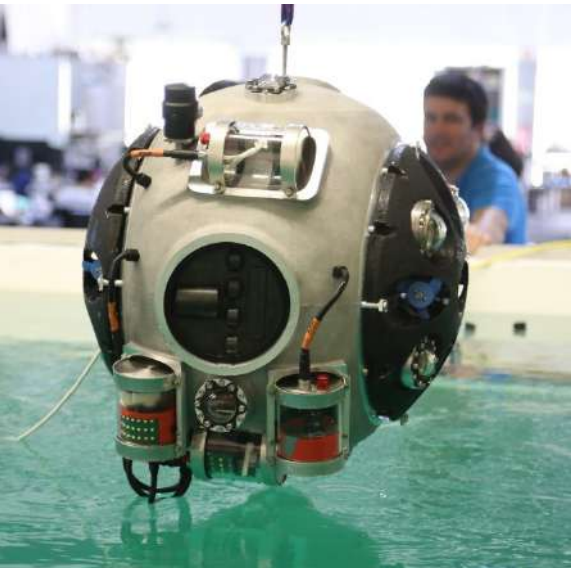
A RAPID HISTORY OF KARST EXPLORATION WITH ROBOT

○ DepthX (DEep Phreatic THermal eXplorer)



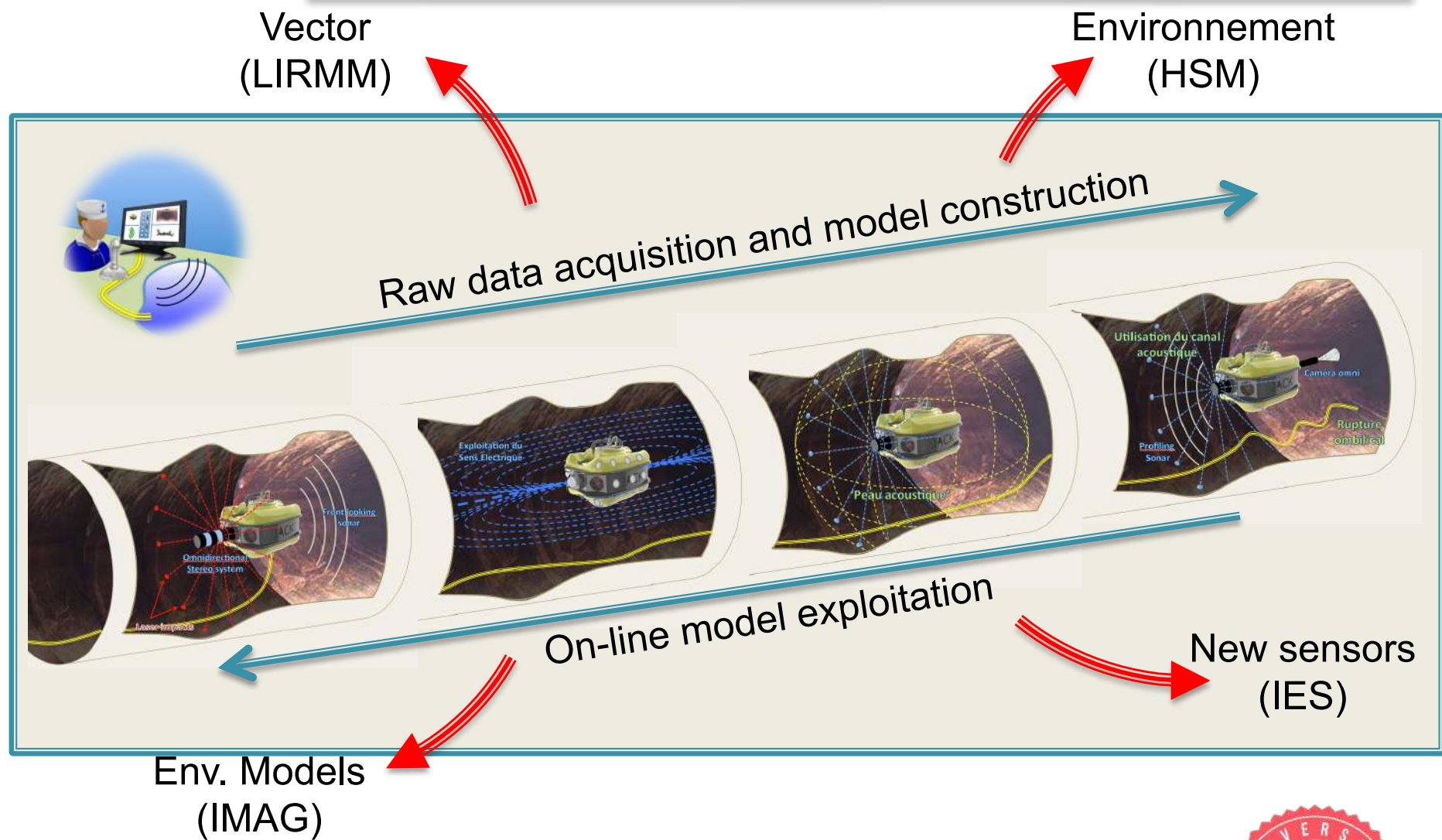
A RAPID HISTORY OF KARST EXPLORATION WITH ROBOT

- Unexmin (UX-1 : AUV explorer for flooded mines)



- Water sampler
- Conductivity and pH measuring units
- Sub-bottom profiler
- Magnetic field measuring unit
- UV and SLS imaging units
- Multispectral camera
- Acoustic cameras
- Laser scanners
- Thrusters
- SONARs
- Pendulum and buoyancy control system
- Rechargeable batteries
- Protective pressure hull

RKE : GLOBAL PRINCIPLES



THE RKE INITIATIVE : THE CHALLENGES

○ New Sensors Development

- Acoustic Skin
- Active Umbilical

○ Navigation

- Glob. Nav. System
- n-D Acoustic SLAM
- Vacancy Evidence Grids

○ Guidance

- Autonomous Centring
- Autonomous Targeting
- Env. Models inclusion

○ Control

- Robustness
- Co-control
- Open-loop stability

○ Actuation

- Reactive redundant A.S.
- Variable Geometry A.S.

○ Software Architecture

- Management of sensors recruitment (acc. jamming)
- Adaptive Autonomy
- Dependability & GoP

○ Models

- Multi-modality & Scalability
- Uncertainty Consideration

○ Technology

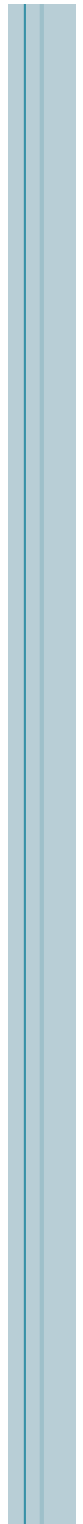
- Active Truncanner, NRJ opt.

○ Economic

- Evangelization of a Blue Ocean



FORCES AT WORK

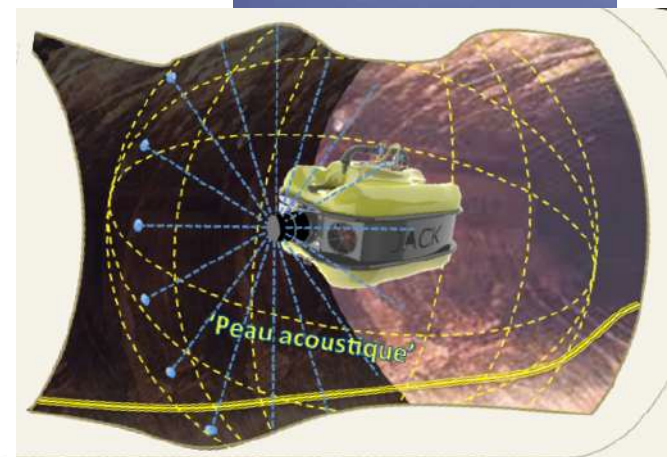
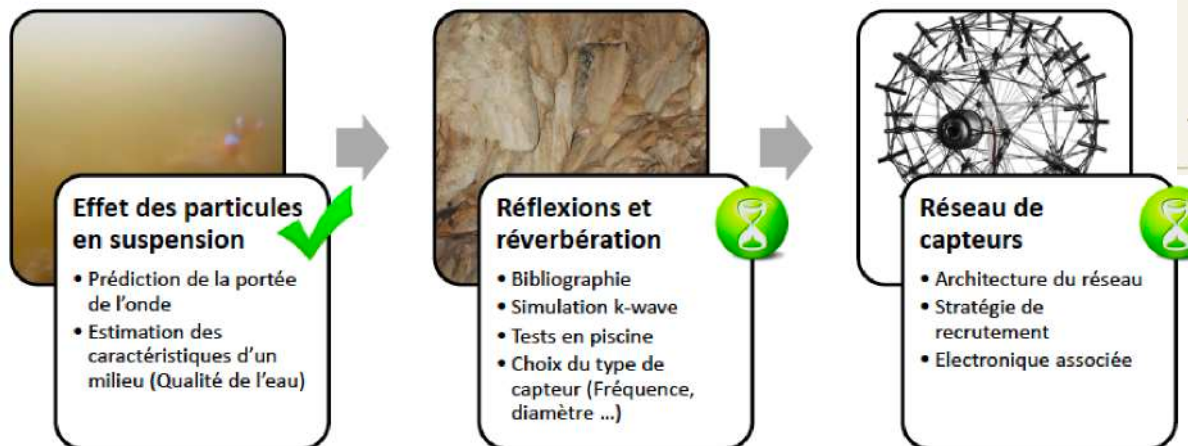
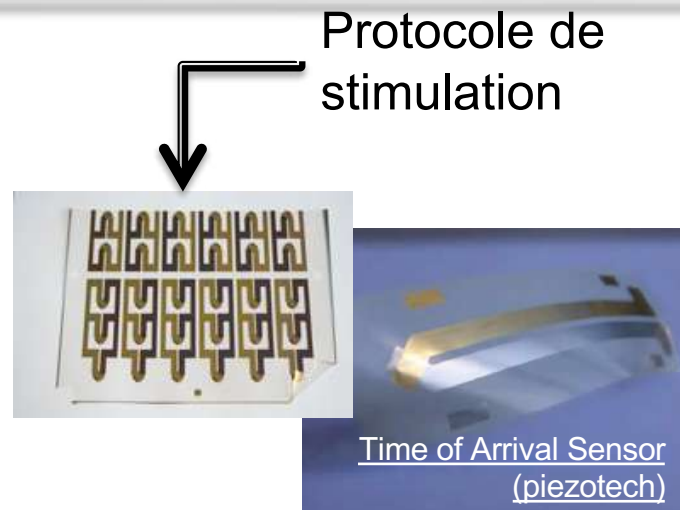


THE RKE INITIATIVE : FORCES AT WORK

○ New Sensors Development

- Acoustic Skin
- Active Umbilical

F. Augereau (IES)
D. Laux (IES)
A. Gademer (IES)
M. Alarab (Thèse)



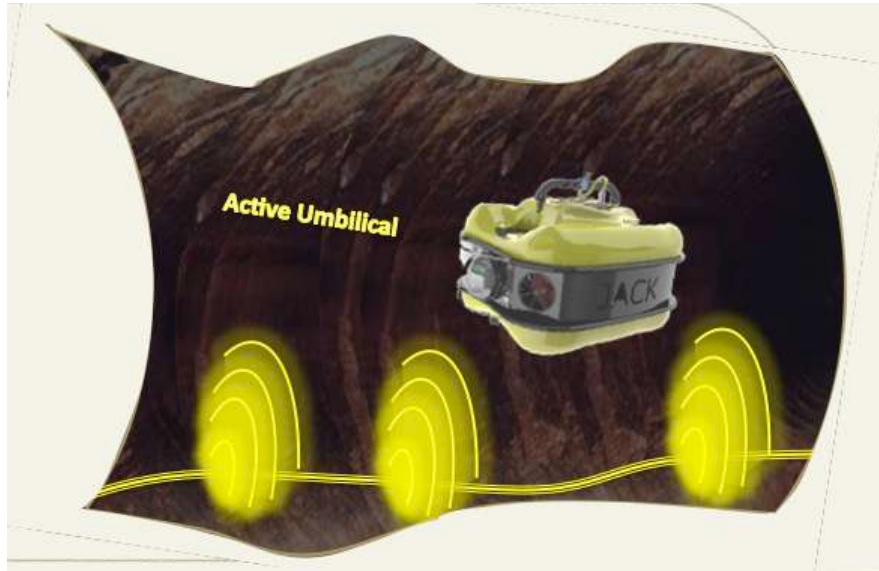
THE RKE INITIATIVE : FORCES AT WORK

○ New Sensors Development

- Acoustic Skin
- Active Umbilical

A. Vena (IES)
PIFEs EPUM

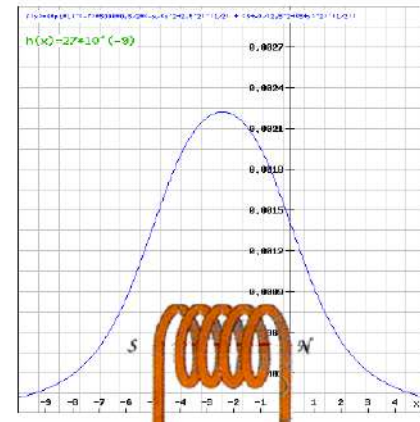
-> Rech. financements



Projet industriel de fin d'études
Département Electronique, Robotique,
Informatique Industrielle
ANNEE 2016-2017

Youri BASTIAENSSSEN

PROJET
Développement d'un système électronique
permettant la recherche et l'identification
de sources électromagnétiques
dans un contexte sous-marin



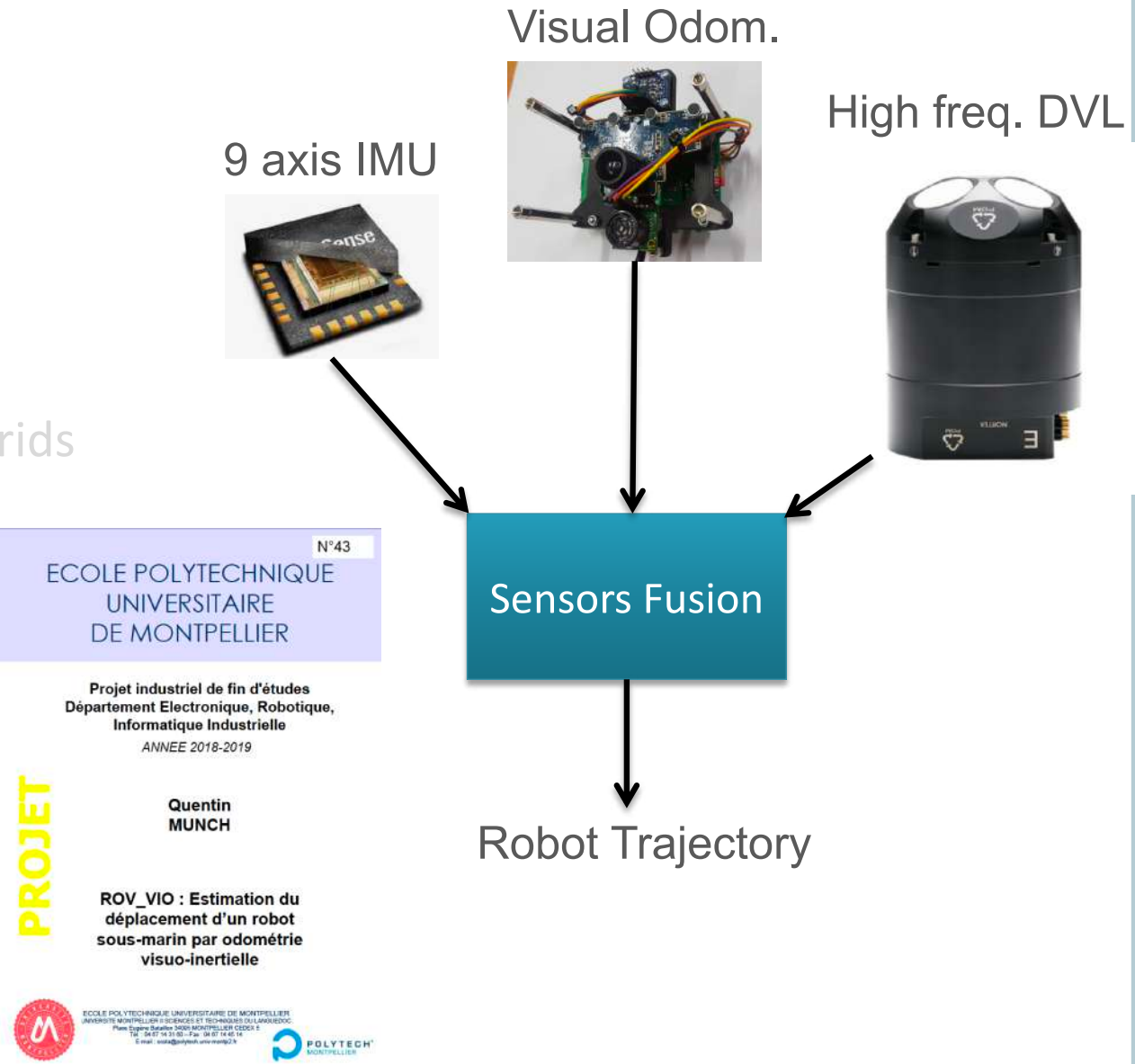
PIFE Y. Bastiaenssen

THE RKE INITIATIVE : FORCES AT WORK

Navigation

- Glob. Nav. System
- n-D SLAM
- Vacancy Evidence Grids

A. Gademer (IES)
B. Ropars (Reeds)
L. Rossi (Syera)
L. Lapierre (LIRMM)

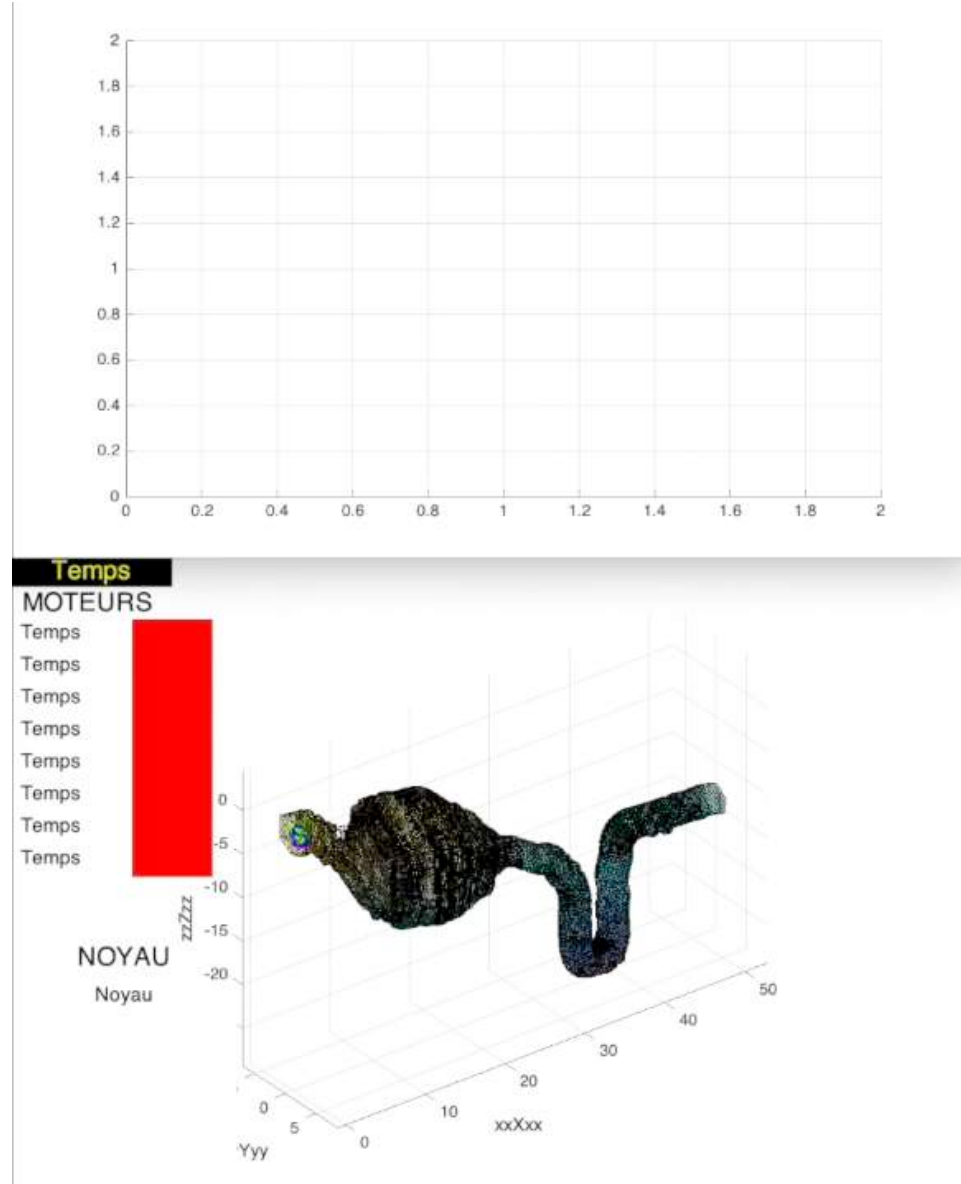


THE RKE INITIATIVE : FORCES AT WORK

- Navigation

- Glob. Nav. System
- n-D acoustic SLAM
- Vacancy Evidence Grids

Y. Breux (LIRMM/IMAG)
B. Mohammadi (IMAG)
A. Mas (IMAG)
L. Lapierre (LIRMM)

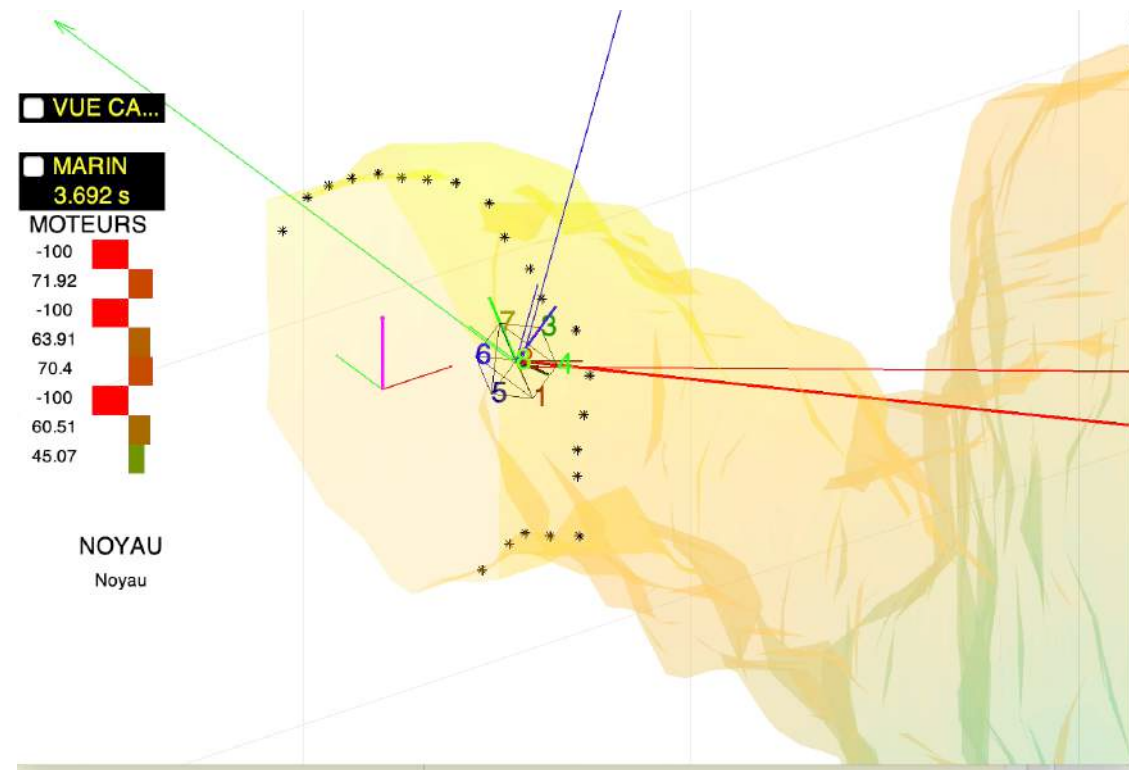


THE RKE INITIATIVE : FORCES AT WORK

Navigation

- Glob. Nav. System
- n-D acoustic SLAM
- Vacancy Evidence Grids

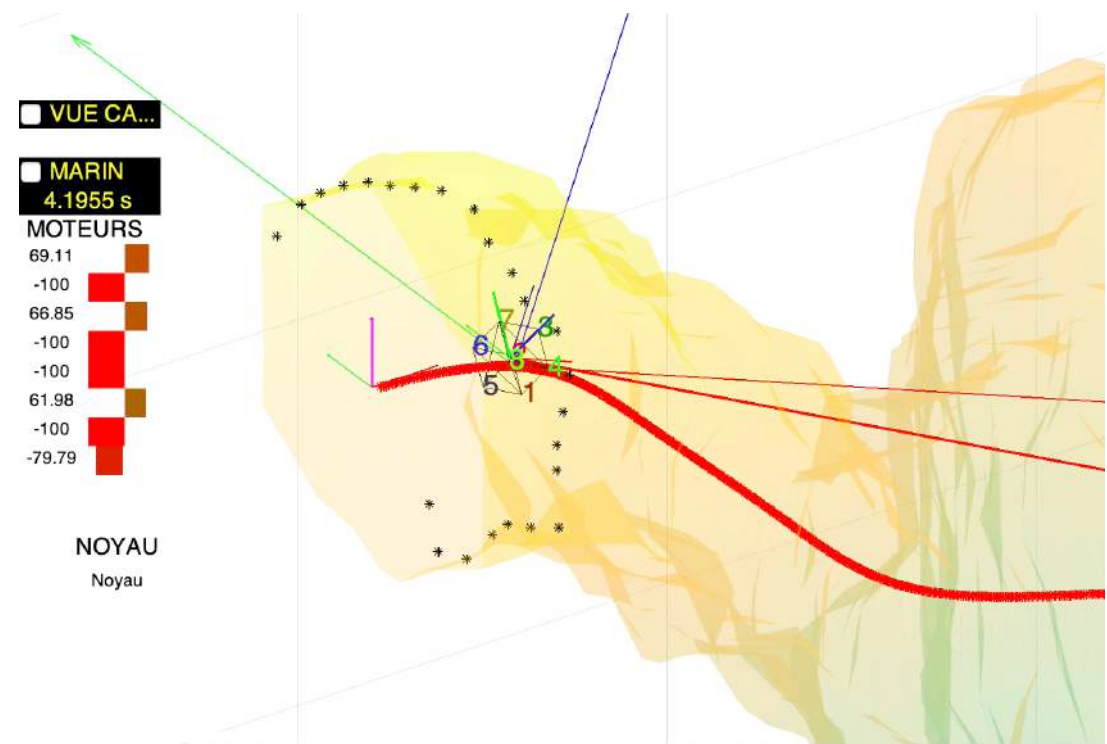
Y. Breux (LIRMM)
B. Mohammadi (IMAG)
A. MAS (IMAG)



THE RKE INITIATIVE : FORCES AT WORK

L. Lapierre (LIRMM)
R. Zapata (LIRMM)
B. Ropars (Reeds)

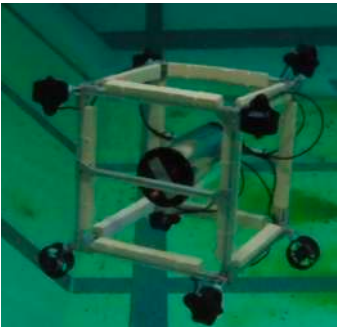
- Guidance
 - Autonomous Centring
 - Autonomous Targeting
 - Env. Models inclusion
- Control
 - Robustness
 - Co-control
 - Open-loop stability



THE RKE INITIATIVE : FORCES AT WORK



Ulysse



Cube



Sentinel



Anguilla

○ Actuation

- Reactive redundant A.S.
- Variable Geometry A.S.

R. Zapata (LIRMM)

L. Lapierre (LIRMM)

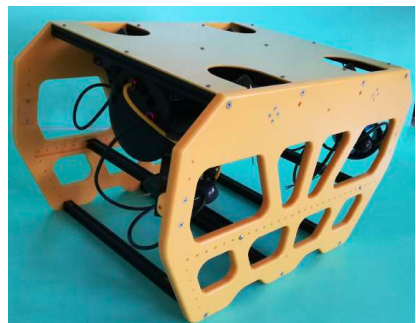
B. Ropars (Reeds)

D. Huu Tho (Thèse)

Luc Rossi (Syera)

R. Bouchard (PlongeeSout)

F. Vasseur (PlongeeSout)



Télémaque

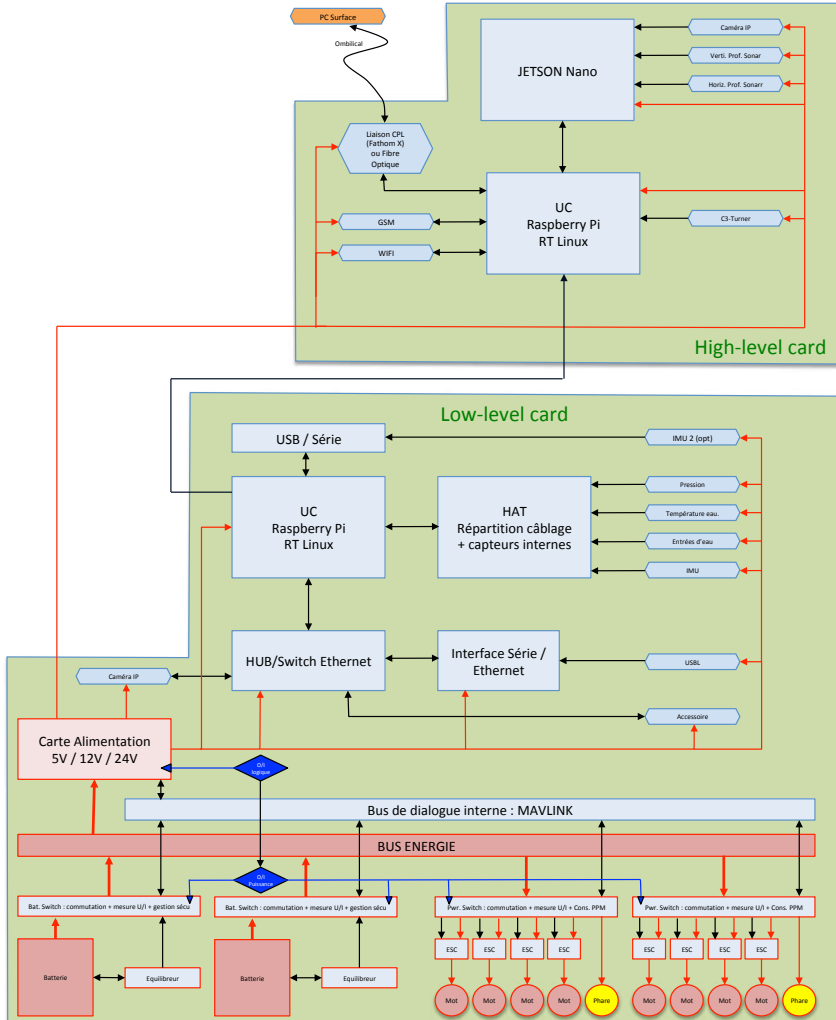


HammerHead



NavScoot

THE RKE INITIATIVE : FORCES AT WORK

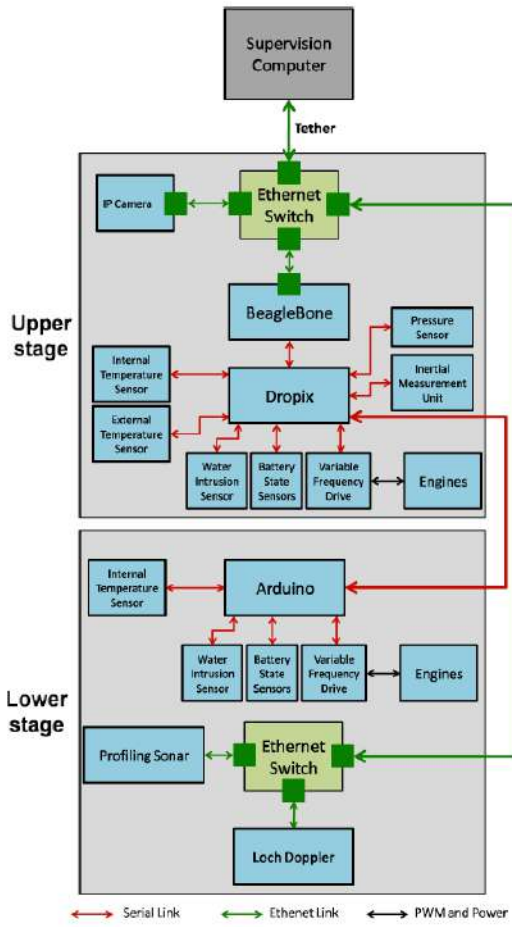


○ Hardware Architecture

- Observable
- hybrid
- Adaptive Autonomy
- 2 layers

B. Ropars (Reeds)
L. Rossi (Syera)
K. Godary-Dejean (LIRMM)
PD Bubot (LIRMM)

THE RKE INITIATIVE : FORCES AT WORK

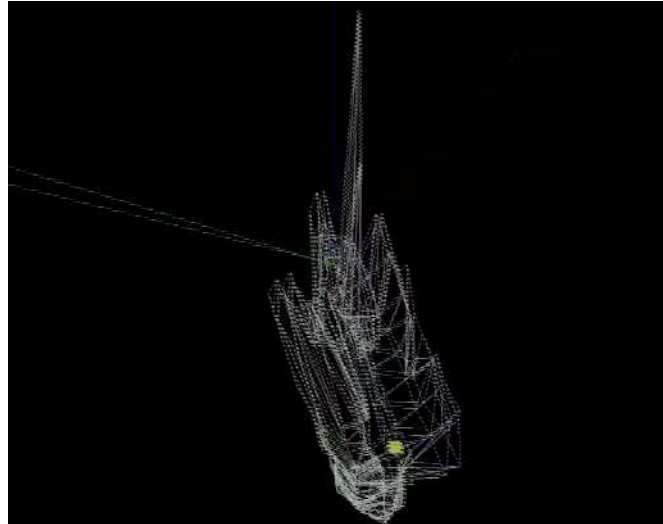


○ Software Architecture

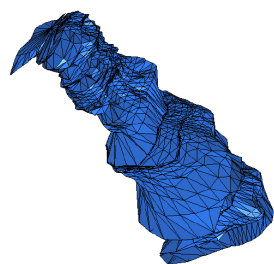
- Management of sensors recruitment (acc. jamming)
- Adaptive Autonomy
- Dependability & GoP

D. Crestani (LIRMM)
L. Lapierre (LIRMM)
R. Villalobos (LIRMM)

THE RKE INITIATIVE : FORCES AT WORK



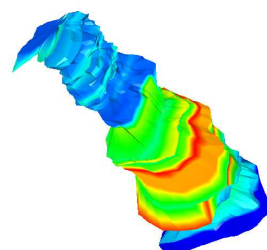
J. Triboulet (LIRMM)
S. Druon (LIRMM)
Q. Massone (LIRMM)
B. Mohammadi (IMAG)
Y. Breux (IMAG)
A. Mas (IMAG)



○ Models

- Multi-modality & Scalability
- Uncertainty Consideration

Extractions de données fonctionnelles :
Volume (1187 m^3),
Surfaces,
Vitesses
d'écoulements...



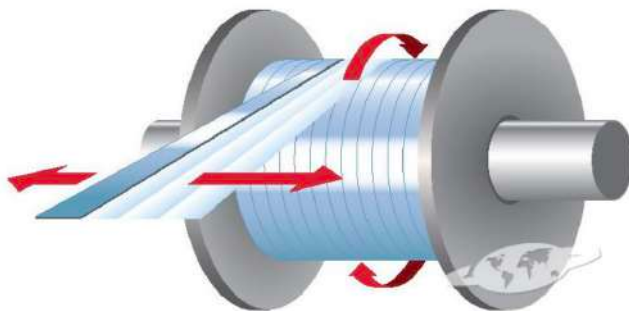
Carte des incertitudes

THE RKE INITIATIVE : FORCES AT WORK

S. Yami (LEM)
G. Naro (MRM)
B. Ropars (Reeds)
L. Rossi (Syera)
L. Lapierre (LIRMM)
R. Bouchard (PlongeeSout)
F. Vasseur (PlongeeSout)



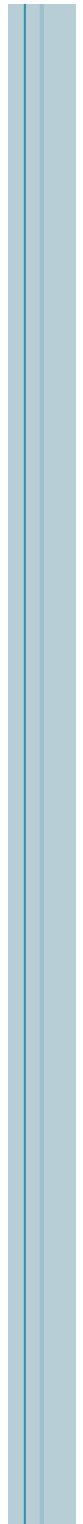
B. Ropars (Reeds)
L. Rossi (Syera)



- Technology
 - Active Truncanner, NRJ opt.
- Economic
 - Evangelization of a Blue Ocean

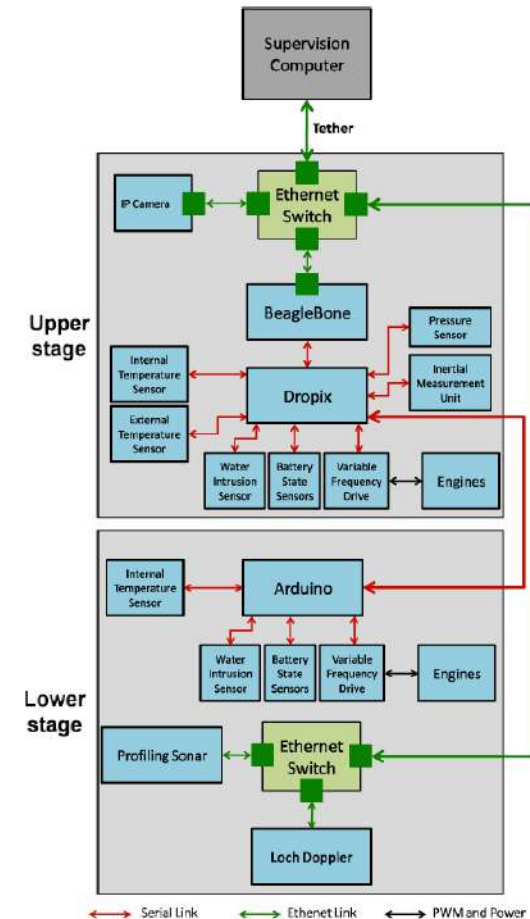


TERRAIN RESULTS



THE ALEYIN INITIATIVE : ULYSSE

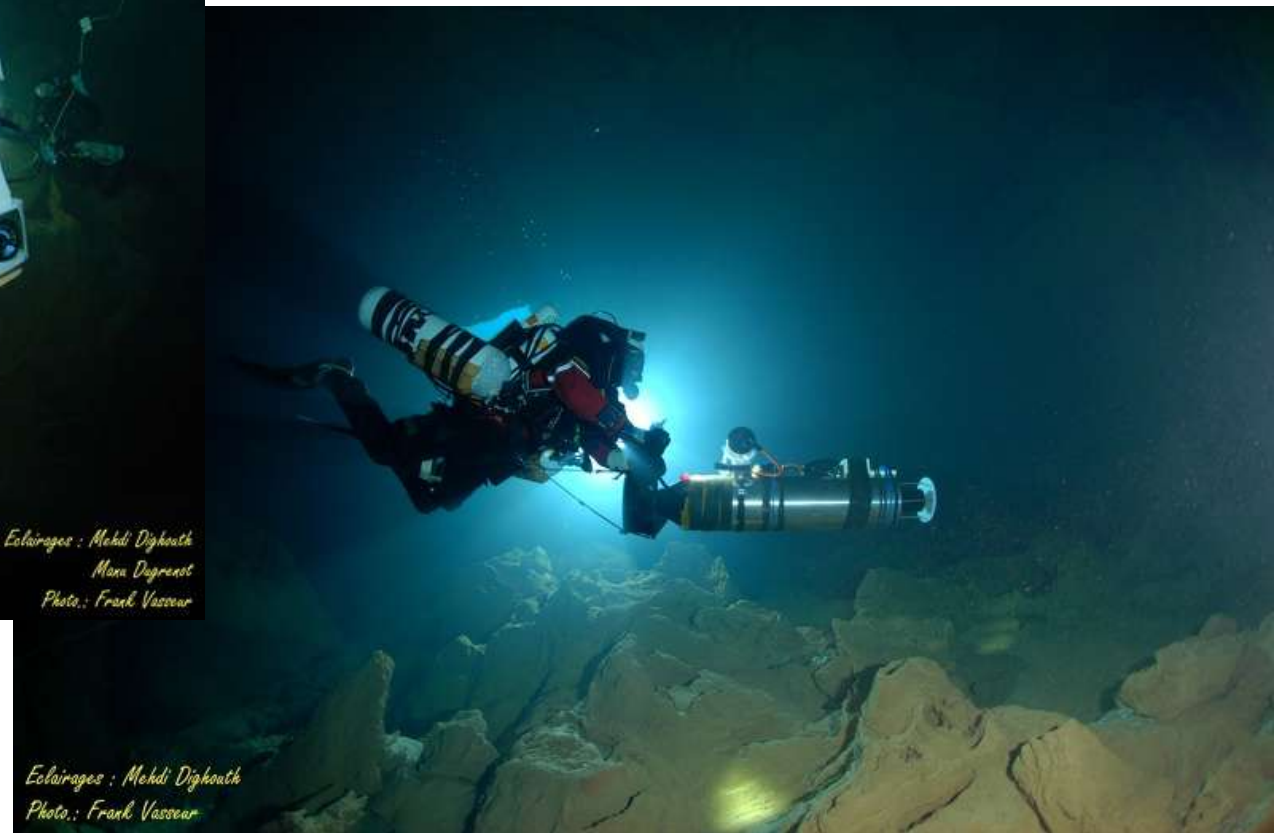
- 2x6 thrusters
- IMU
- Camera
- Acoustic Camera
- Profiling Sonar
- DVL



SYSTEMS



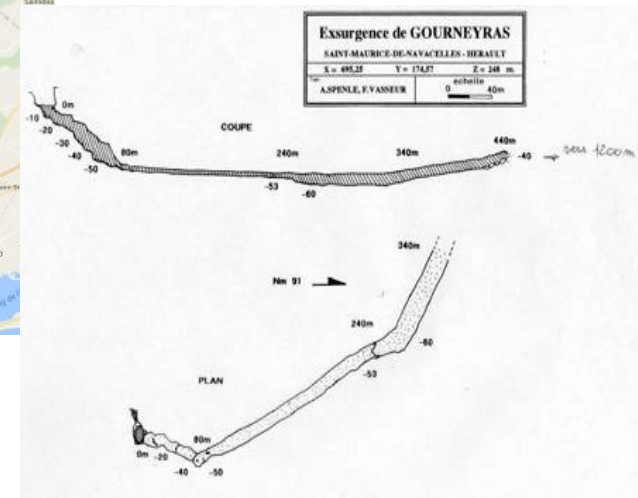
Ulysse



NavScoot

FISRT TERRAIN RESULTS

○ Gourneyras, 11-14/07/2016



○ Gourneyras, 23/01/2017.



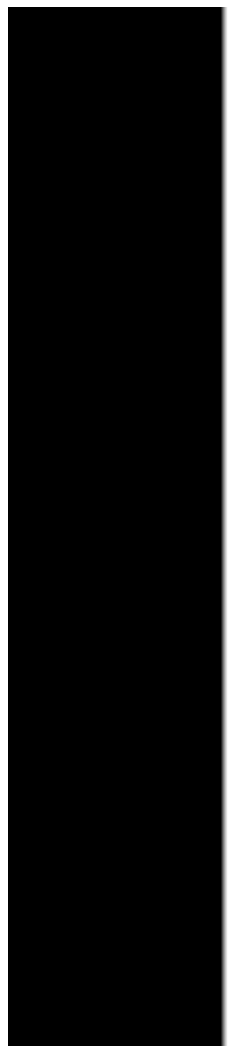
Exploration and cartography of the entry chasm (robot)

Extended network cartography (NavScoot)

Validations : co-control, new electronic and software architectures.

FISRT TERRAIN RESULTS

- Gourneyras, 11-14/07/2016 and 23/01/2017.

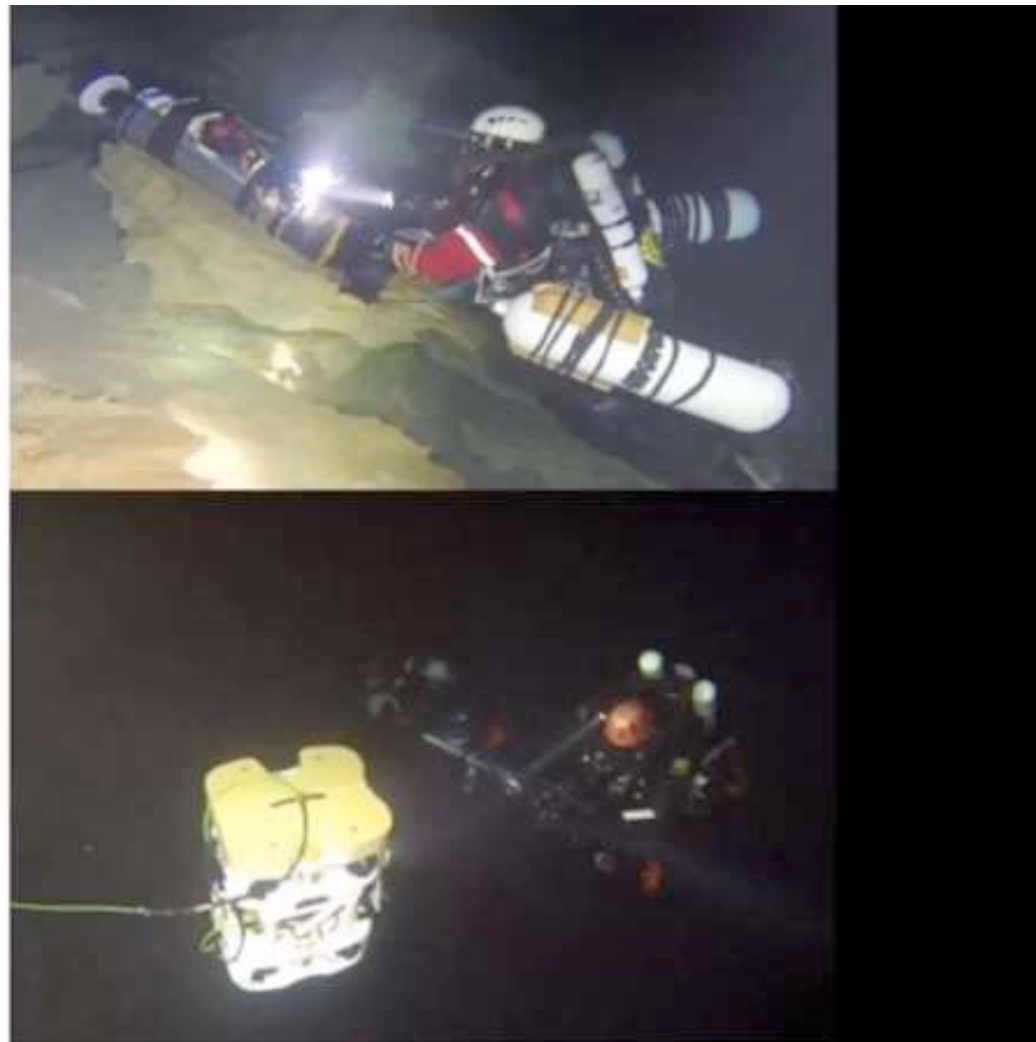


ROBOTS, SONARS
&
CAVE DIVING

GOURNEYRAS 2016

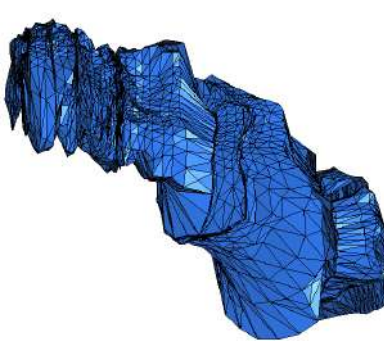
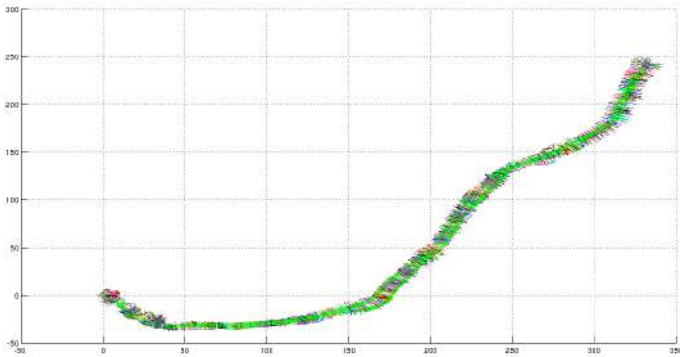
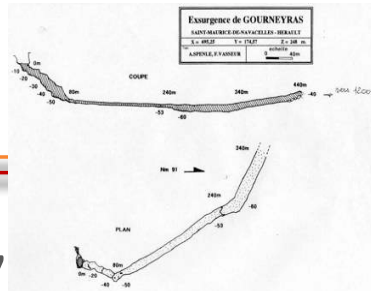


LIRMM

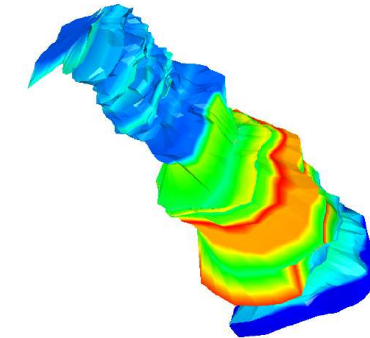
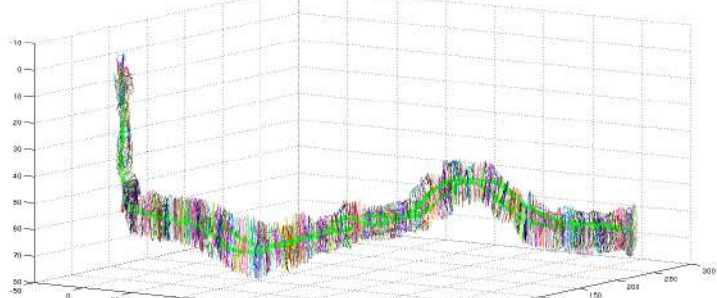


FISRT TERRAIN RESULTS

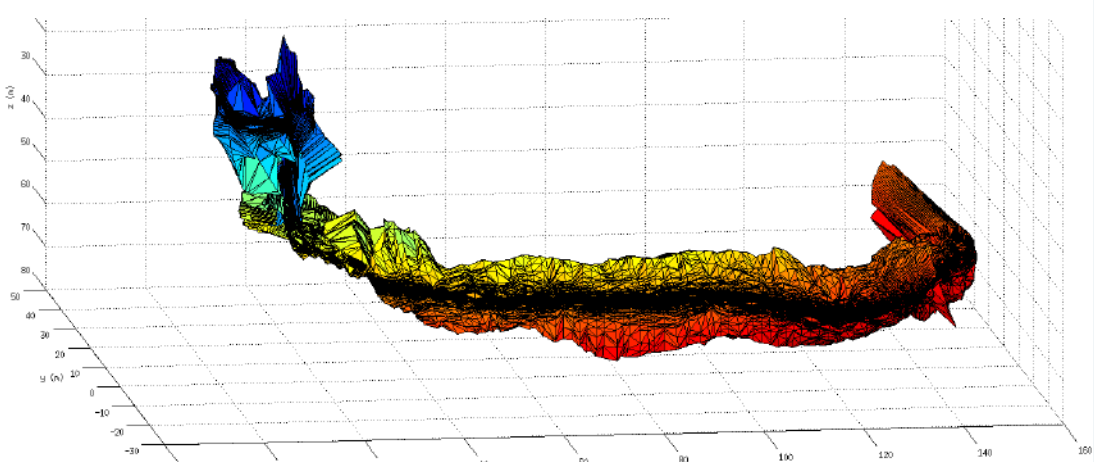
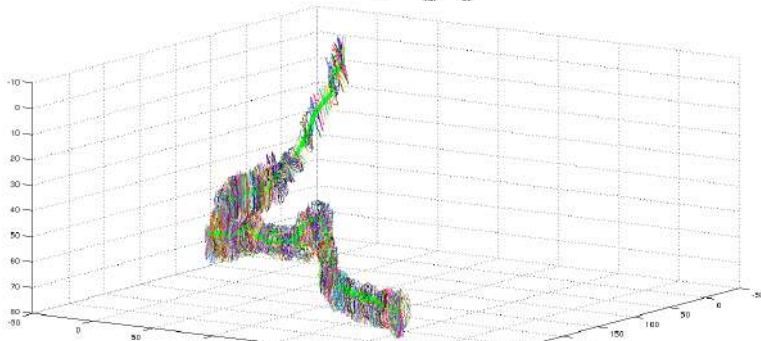
- Gourneyras, 11-14/07/2016 and 23/01/2017



Volume (1187 m³)

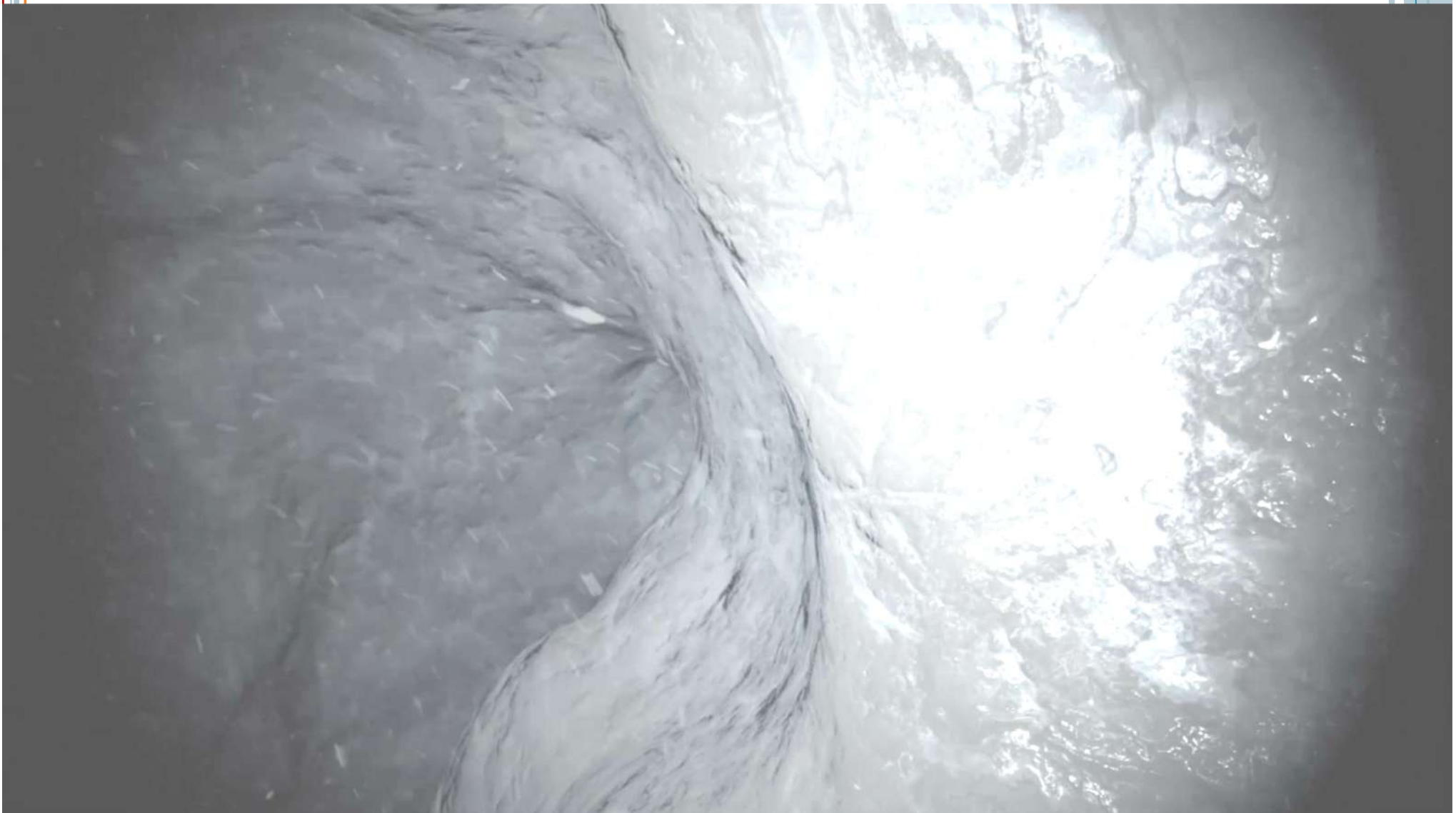


Uncertainty map



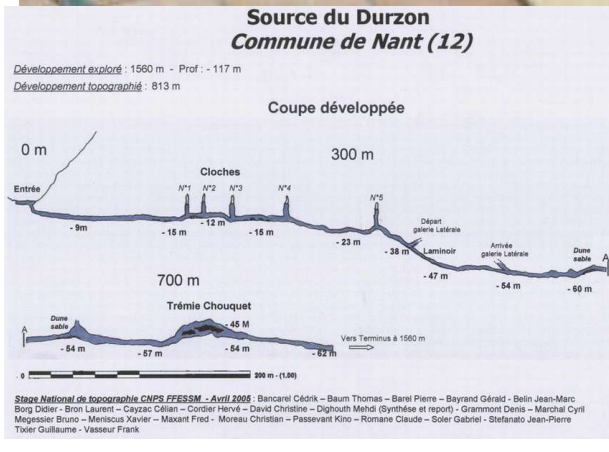
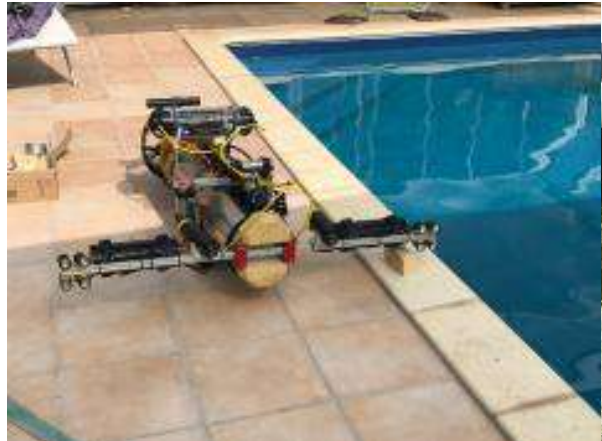
FISRT TERRAIN RESULTS

- Gourneyras, virtual visit



FISRT TERRAIN RESULTS

○ Durzon, Nant, 24/06/2018.



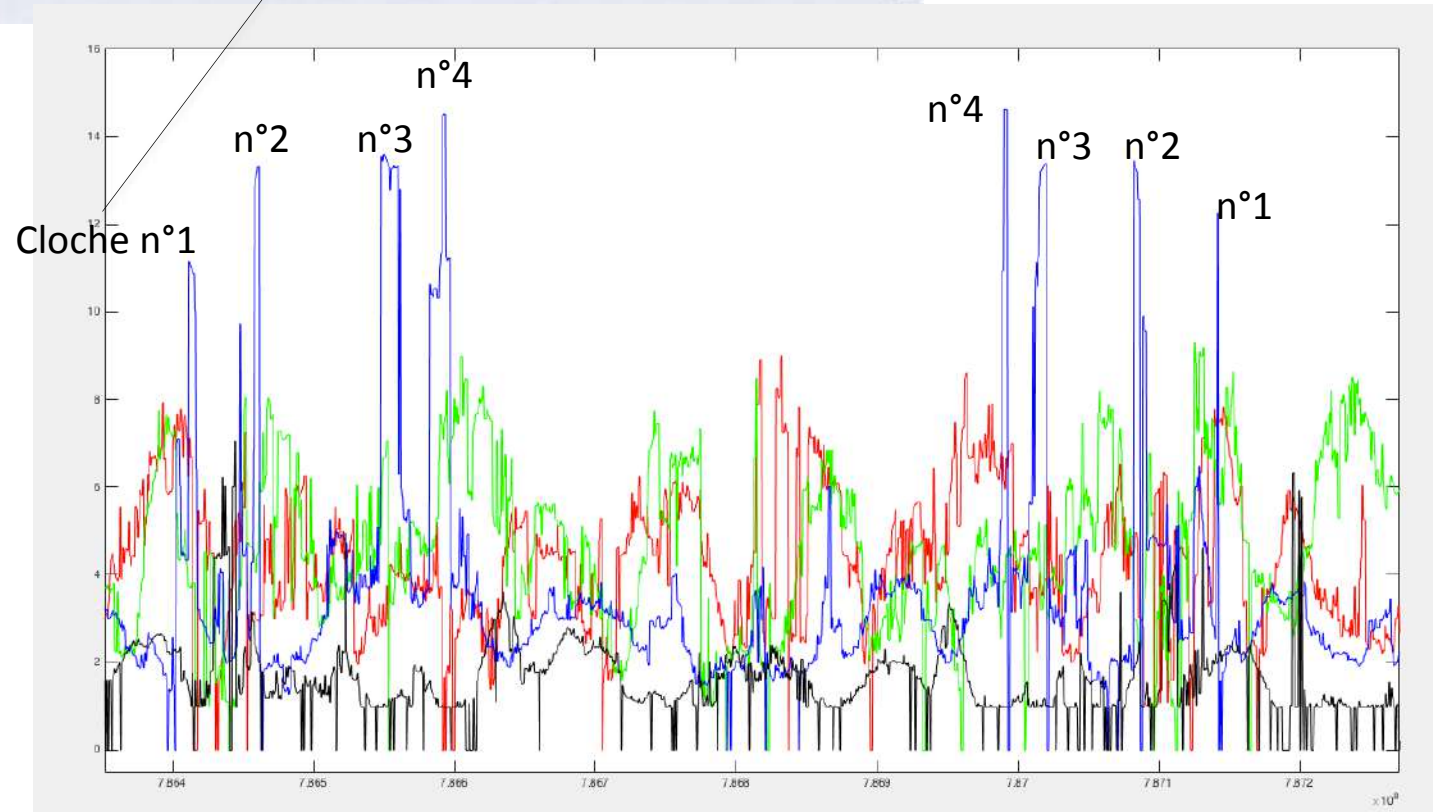
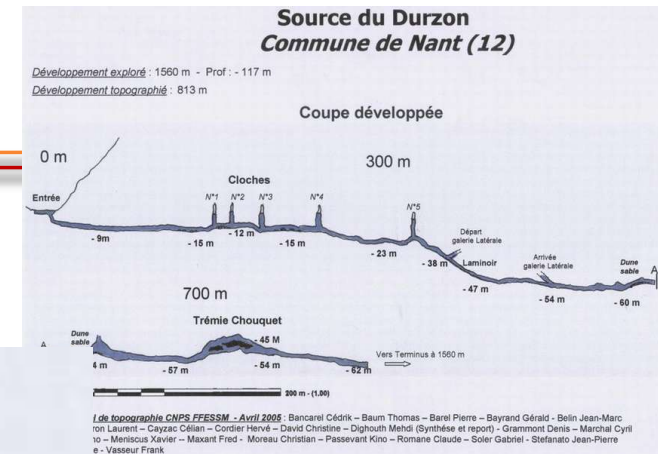
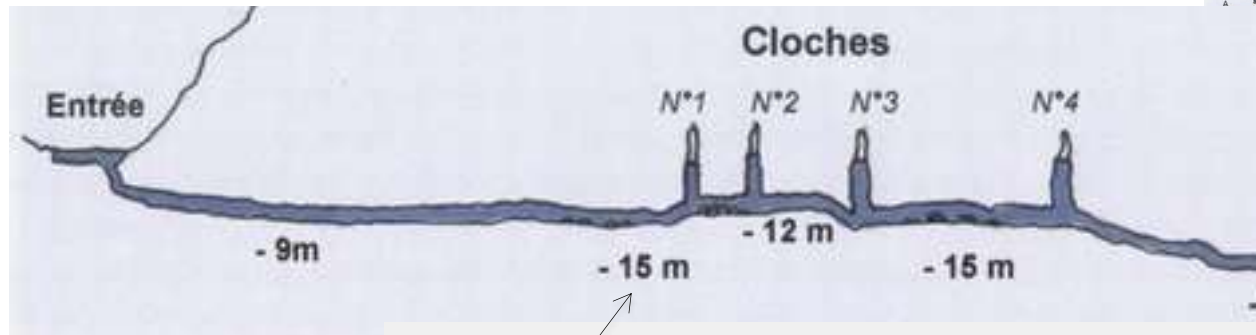
FISRT TERRAIN RESULTS

- Durzon, Nant, 24/06/2018.



FISRT TERRAIN RESULTS

- Durzon, Nant, 24/06/2018.

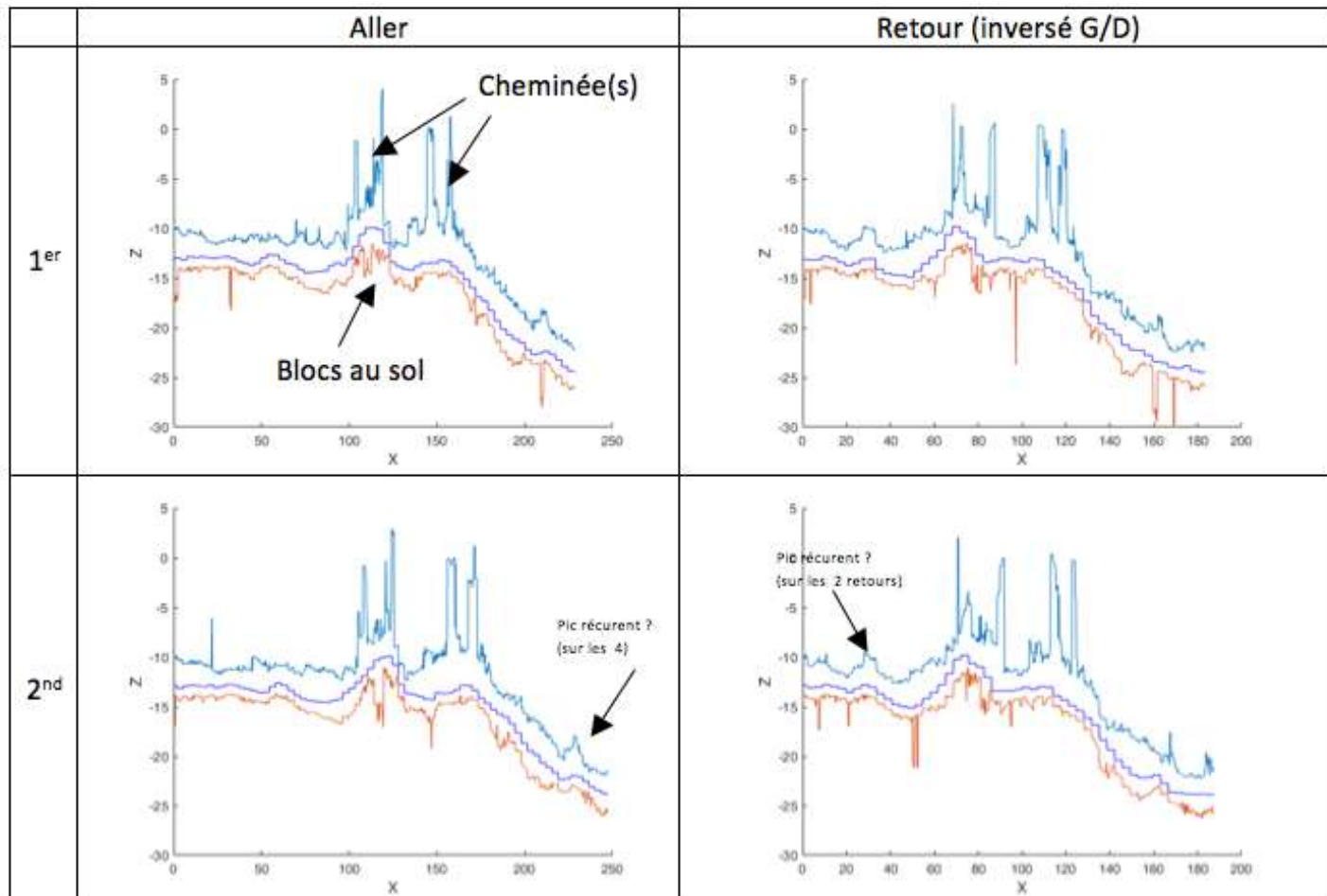


FISRT TERRAIN RESULTS

- Durzon, Nant, 24/06/2018.

« Vue de côté » (Echosondieurs Haut/Bas + Profondimètre)

Données :



FISRT TERRAIN RESULTS

- Durzon, Nant, 24/06/2018.

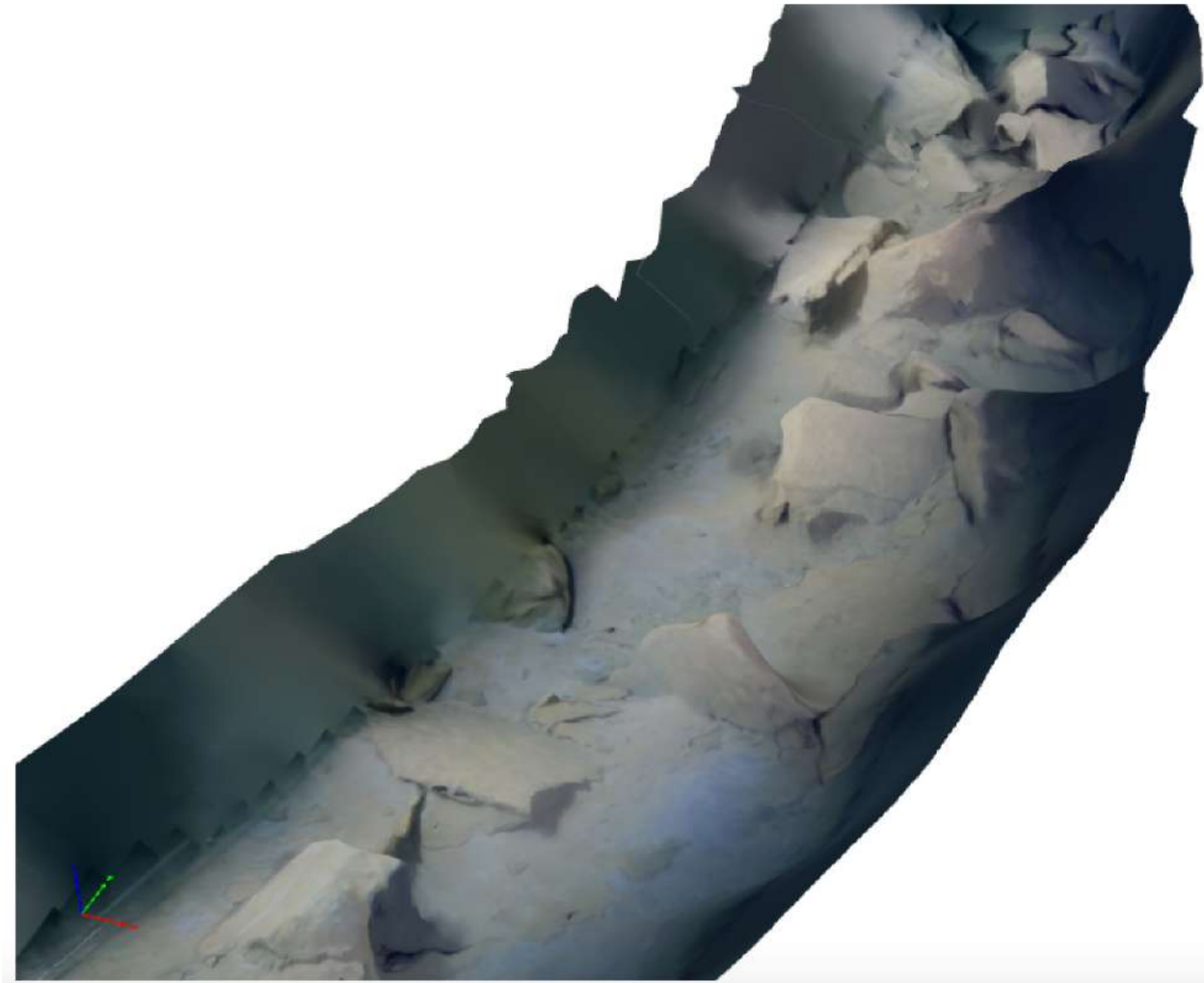
Photogrammetric reconstruction



FISRT TERRAIN RESULTS

- Durzon, Nant, 24/06/2018.

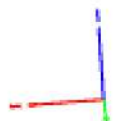
Photogrammetric reconstruction



FISRT TERRAIN RESULTS

- Durzon, Nant, 24/06/2018.

Photogrammetric reconstruction



FISRT TERRAIN RESULTS

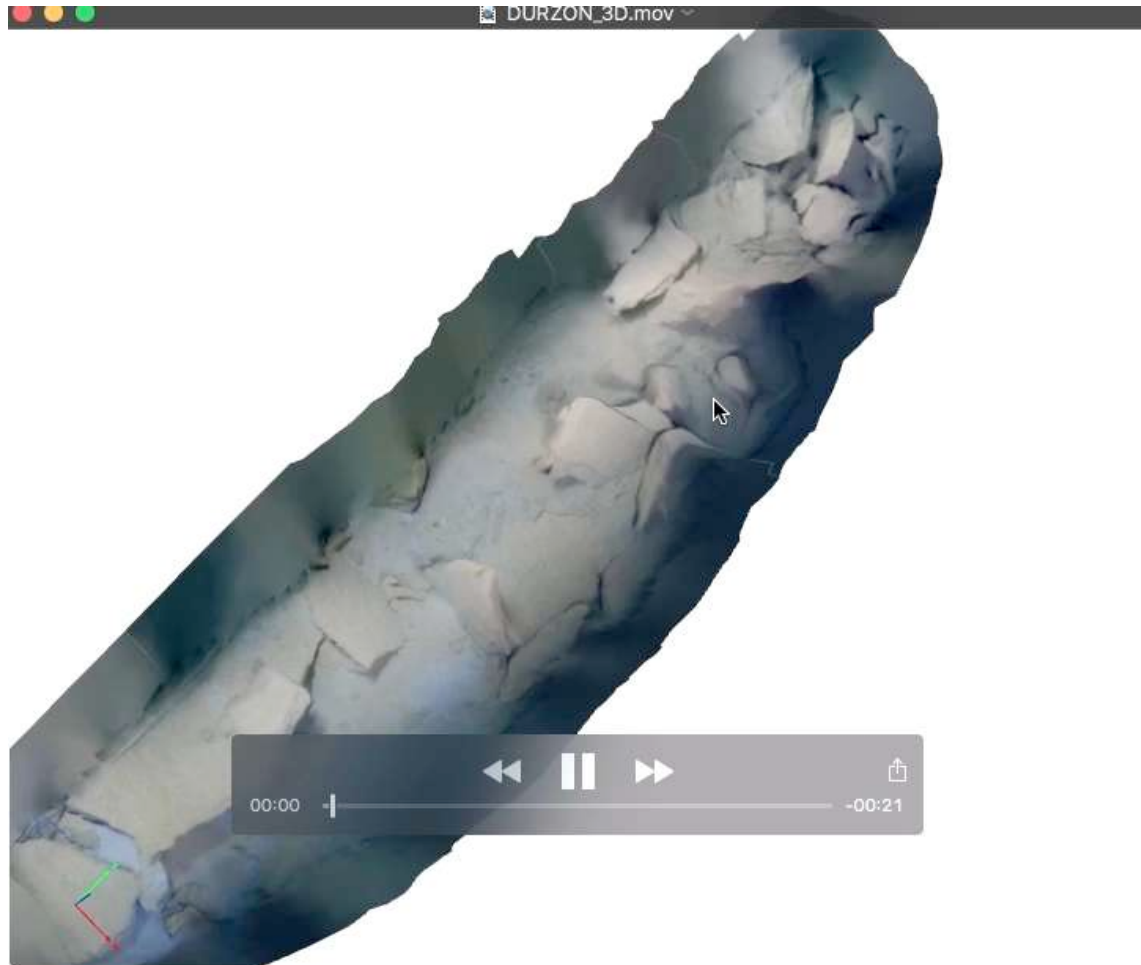
- Durzon, Nant, 24/06/2018.

Photogrammetric reconstruction



FISRT TERRAIN RESULTS

- Durzon, Nant, 24/06/2018.

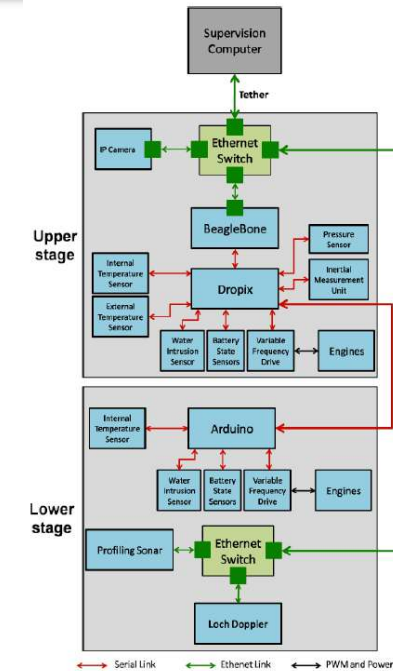
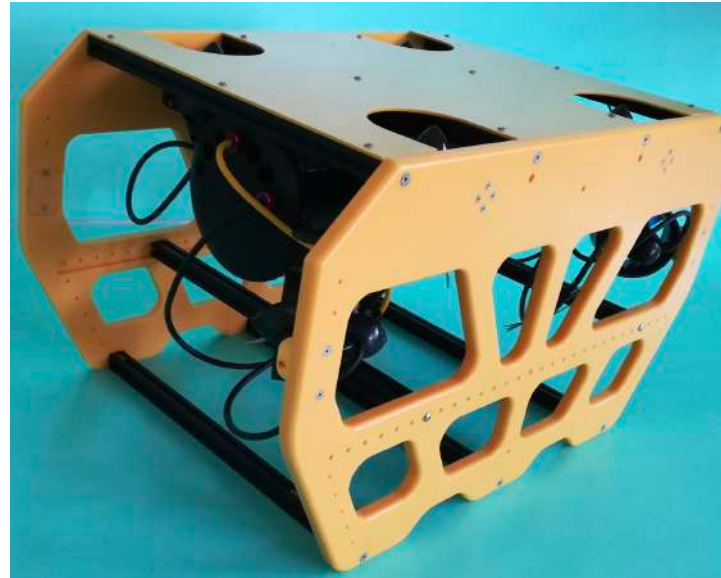


Partial photogrammetric reconstruction



RÉSULTATS À VENIR (2019)

NOUVEAU PORTEUR : TÉLÉMAQUE



Fin 2019, Source de Saint-Antoine
(Toulon), galerie de la Marine

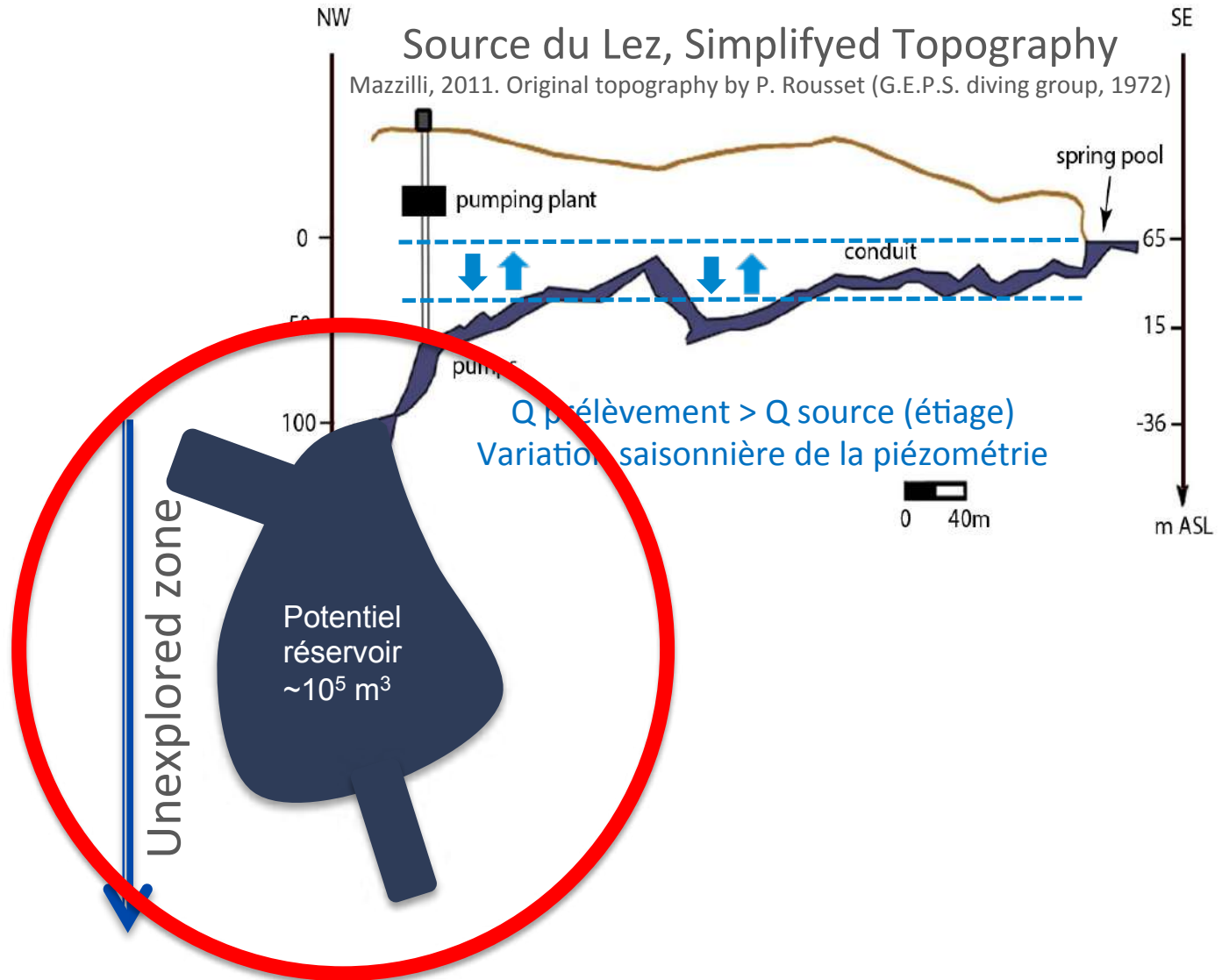
- Validation centrage
- Validation système de Nav.





LE PROJET LEZ 2020

PROJET RÉGION OCCITANIE R&S : LEZ-2020



LEZ-2020

- Objectif
 - Cartographie des zones en amonts de la station AVIAS
- Durée : 3 ans
- Partenaires académiques
 - LIRMM, HSM, IES, IMAG, MRM, LEM
- Partenaire institutionnel : 3M, Régie des eaux
- Partenaires industriels : SYERA et REEDS
- Associés : BRGM, Hydrokarst, F. Vasseur, PlongéeSout
- Budget : 706 K€ (dont 460K€ demandés FEDER)

LEZ-2020

- Dépenses

- Ressources humaines
 - 36 PM Ingénieur de Recherche Robotique
 - 18 PM Post-Doc Hydrogéologie
 - 36 PM Stagiaires Ingénieur/Master 2
 - 12 PM Robotique
 - 12 PM Electronique
 - 12 PM Business
- Capteurs
 - Profilo Balayage électronique SubTop DT 360
- Prestations
 - Réalisation mécanique et électronique
 - Opérations de plongée
 - Pressentis : F. Vasseur et Hydrokarst

LEZ-2020

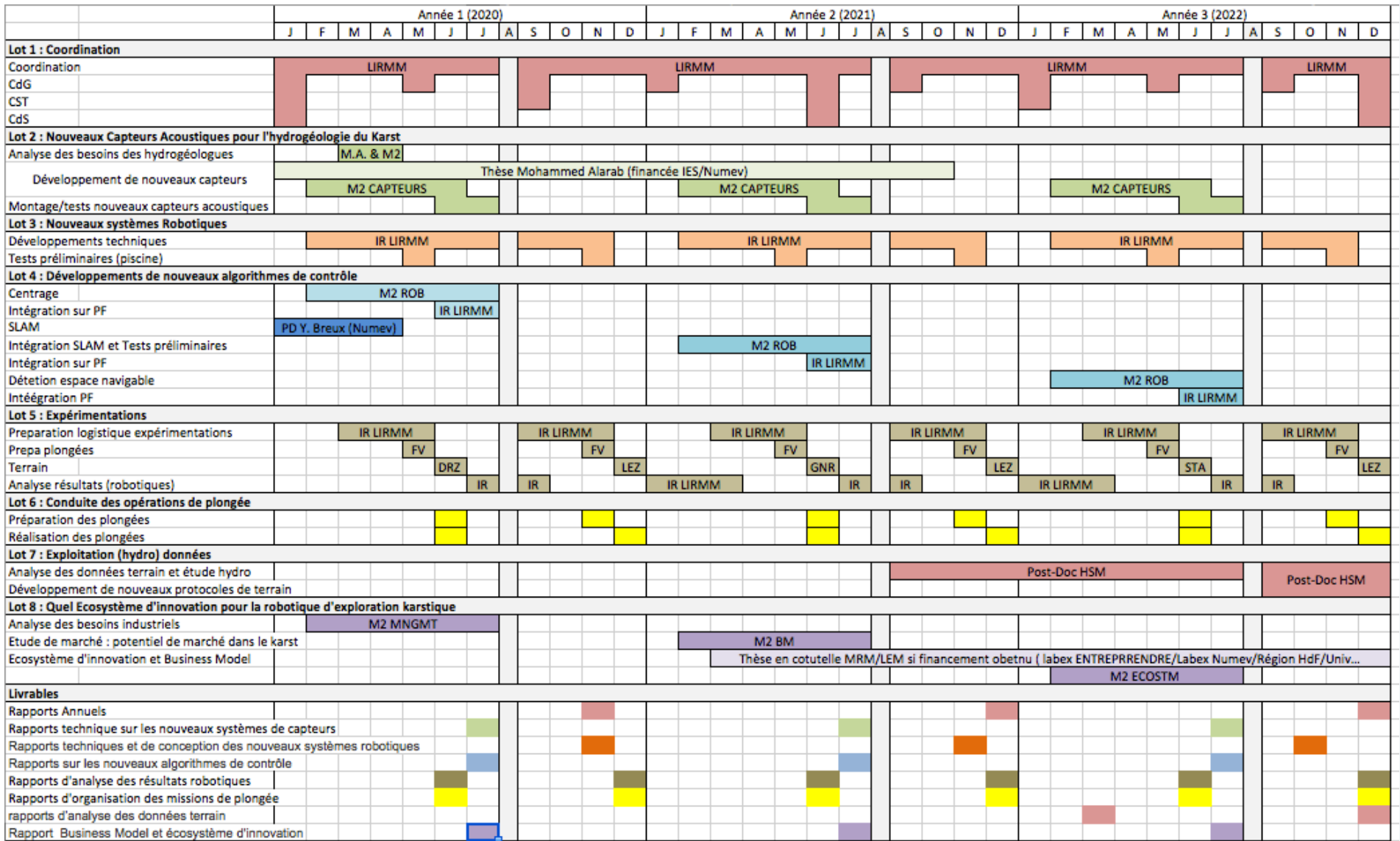
- Apports en nature
 - UM : frais de personnels
 - REEDS et Syera
 - Adaptation et mise à disposition Trancanner
 - Appuis terrain
 - Appuis logistiques 3M
 - Autorisations d'accès à la source
 - Communications sur les opérations Lez

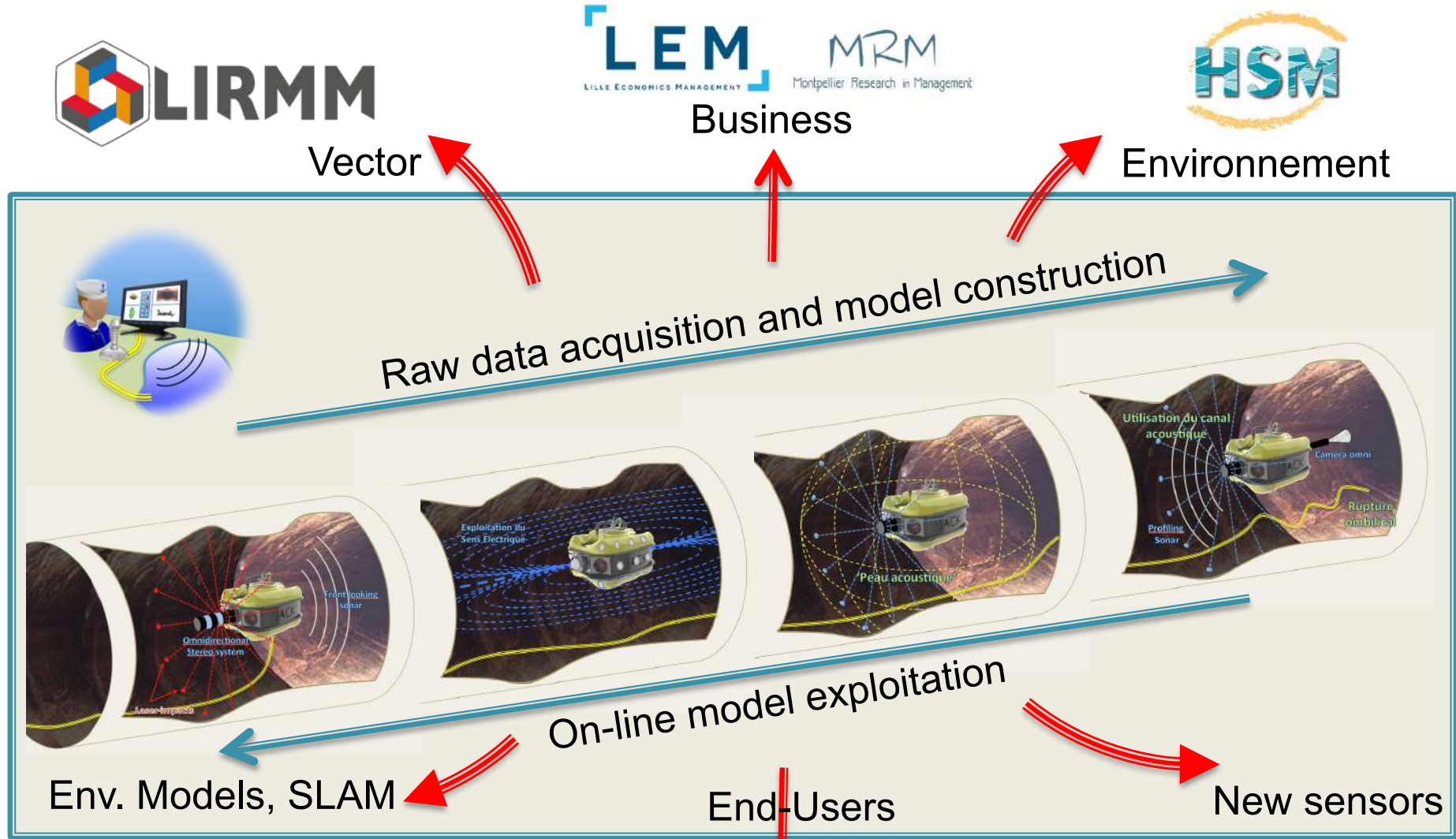
LEZ-2020

- Lot 1 : Coordination
- Lot 2 : Nouveaux capteurs acoustiques pour la navigation robotique et l'hydrogéologie du karst
- Lot 3 : Nouveaux systèmes robotiques
- Lot 4 : Développement de nouveaux algorithmes de contrôle
- Lot 5 : Expérimentations
- Lot 6 : Conduite des missions de plongée
- Lot 7 : Exploitation des résultats et développement de nouveaux protocoles de terrain
- Lot 8 : Quel Ecosystème d'innovation pour la robotique d'exploration karstique

LEZ-2020

○ GANTT





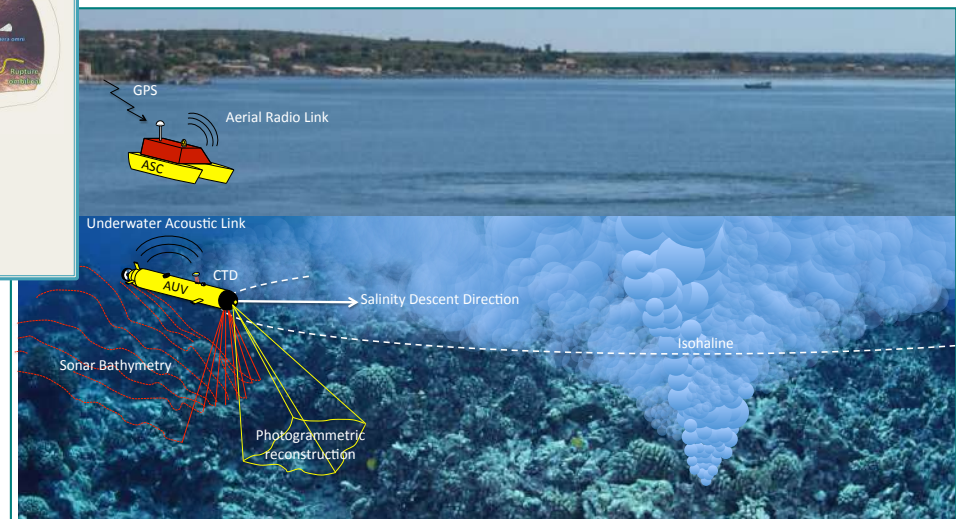
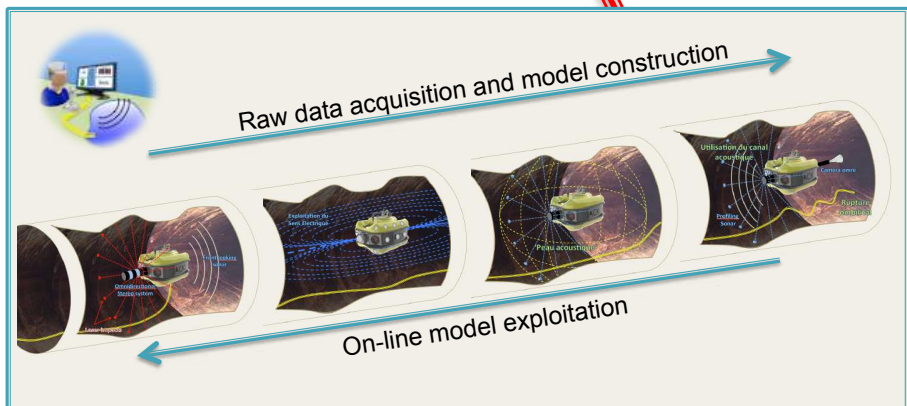
NEAR FUTURE : THE ANZAR EUROPEAN EXTENSION



Business



Environnement



Env. Models, SLAM



End-Users



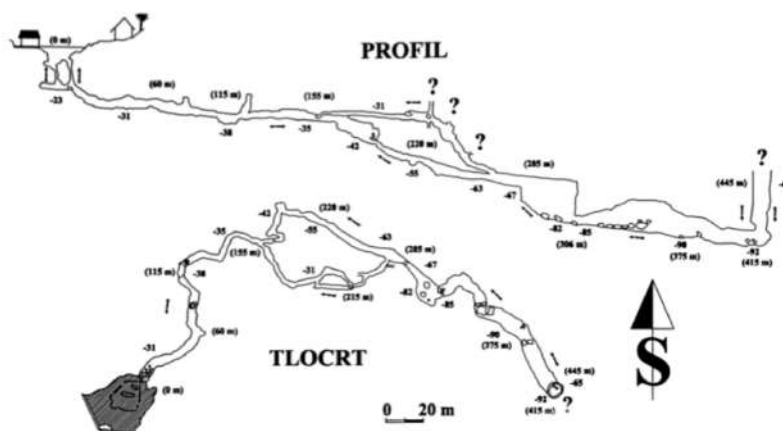
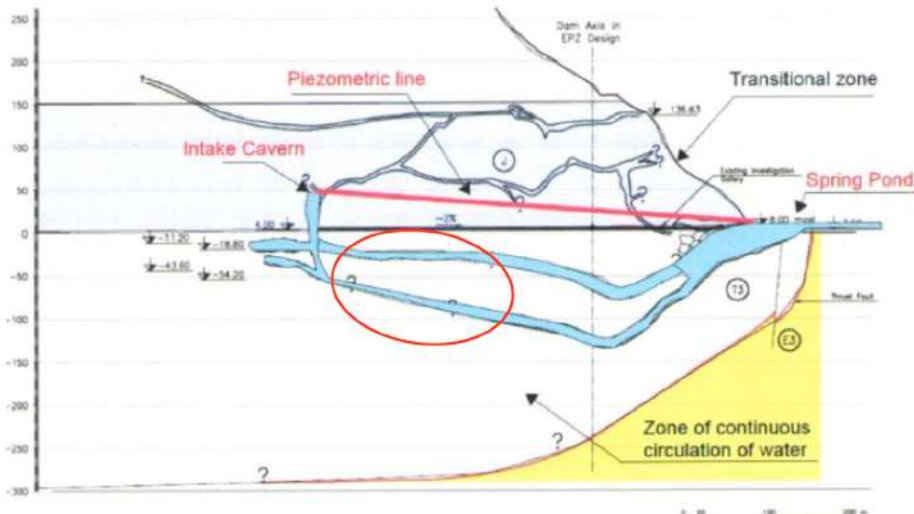
Hydrokarsl
GROUPE



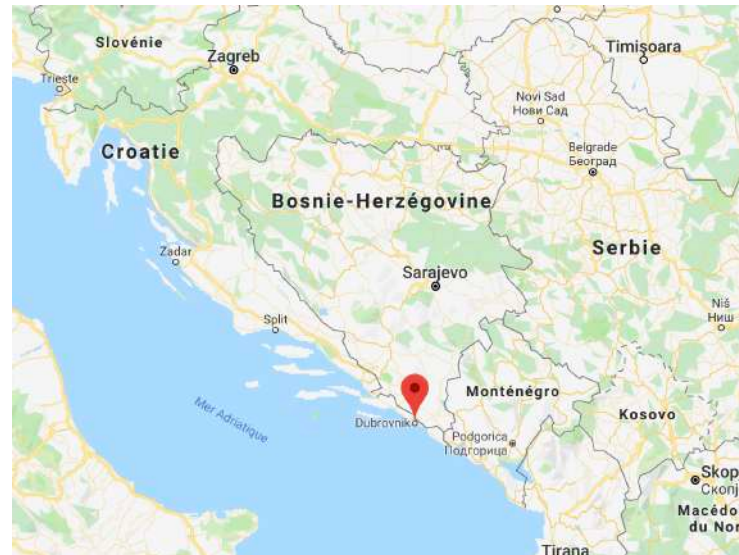
New sensors

NEAR FUTURE : THE ANZAR EUROPEAN EXTENSION

○ Ombla Spring, Dubrovnik, Croatia



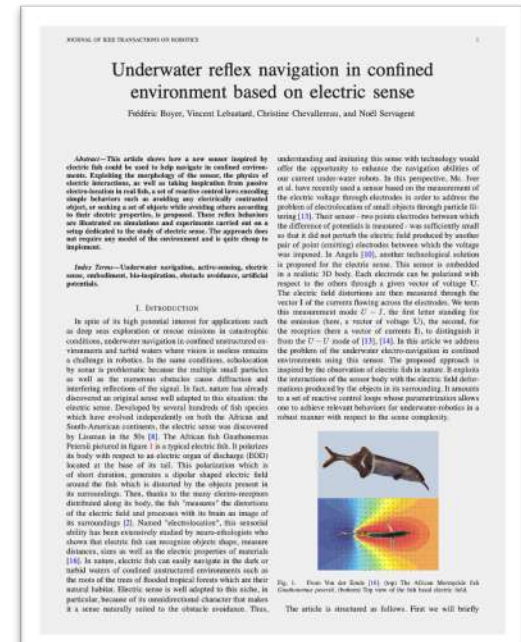
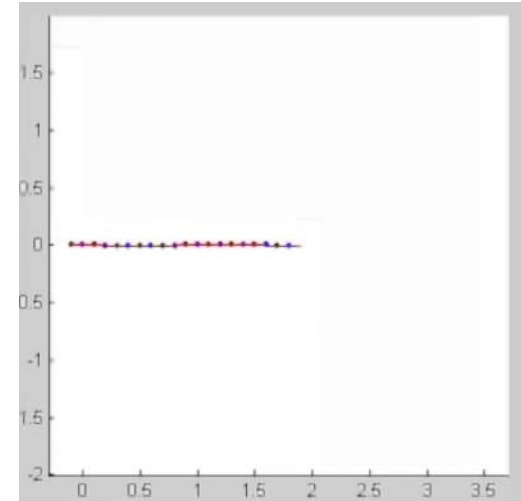
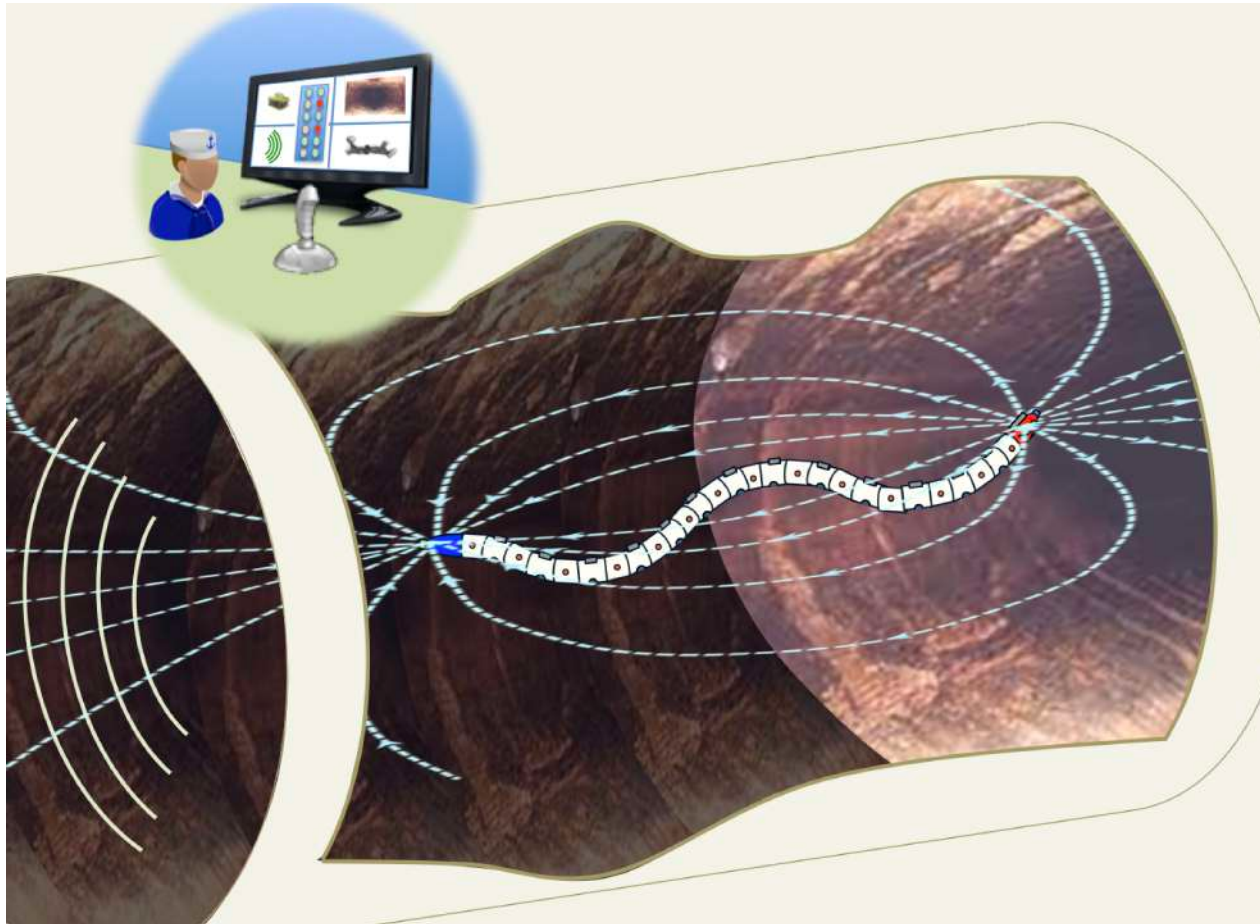
Profile of underground channels of the Majer spring.



Recherche d'autres sites emblématiques
Portugal
Espagne
Italie,...

NEAR FUTURE : ANR LS2N, ENSTA, ISSKA

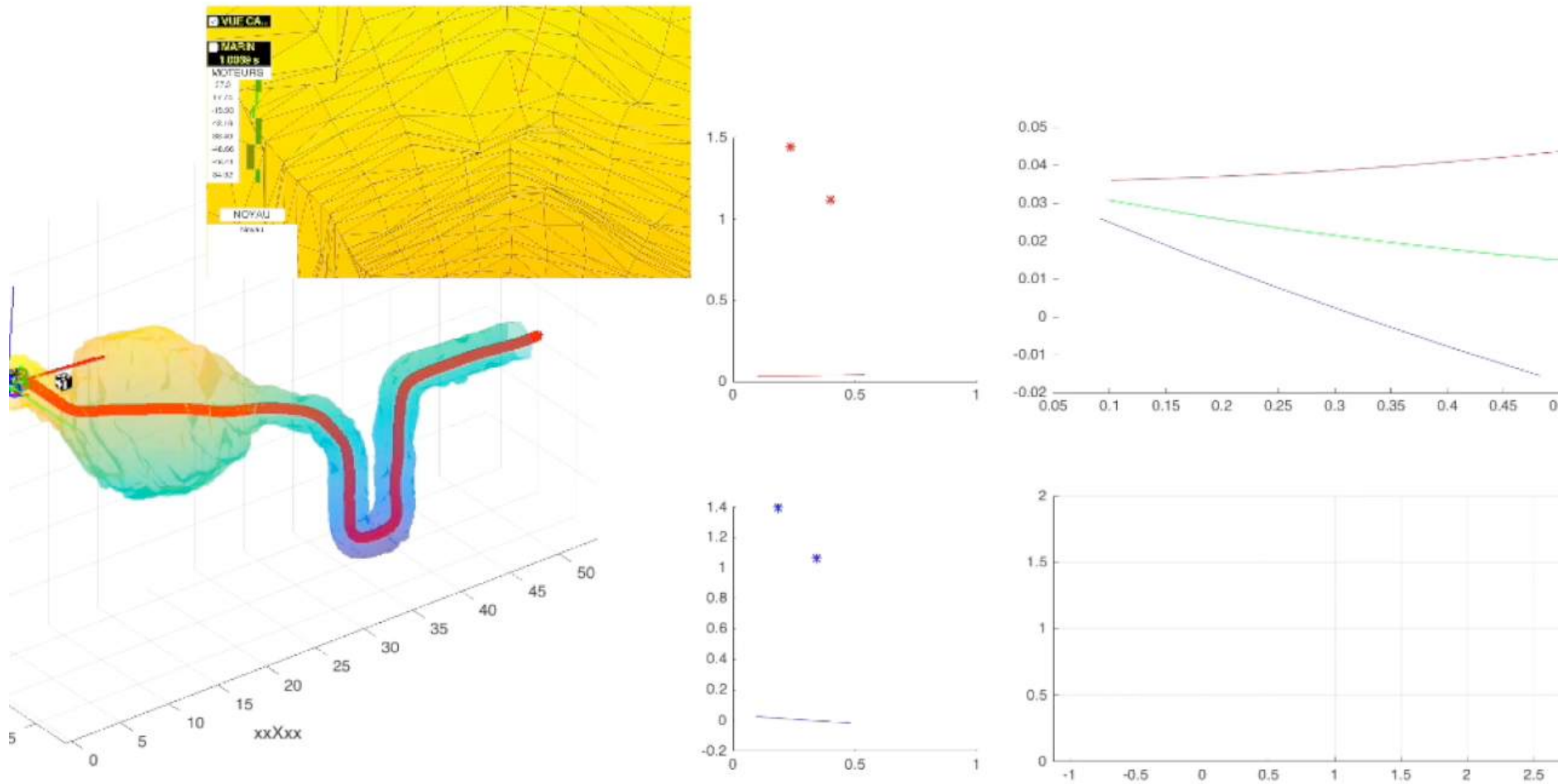
○ Locomotion anguilliforme et Sens électrique



NEAR FUTURE : ANR LS2N, ENSTA, ISSKA

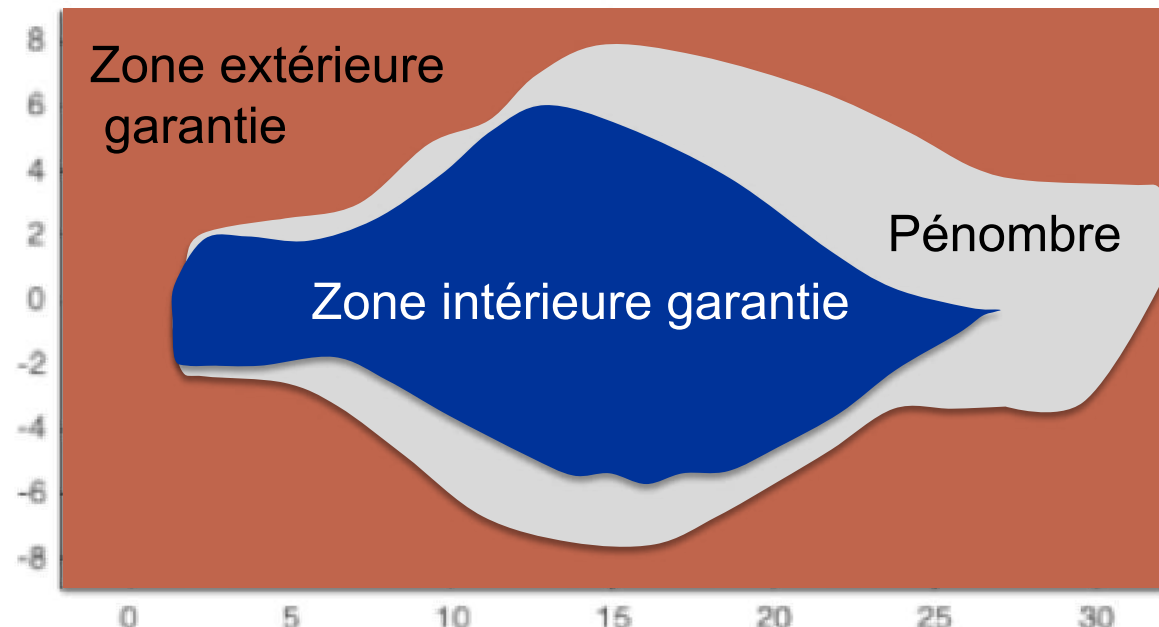
- Locomotion anguilliforme et Sens électrique
- Cartographie garantie, analyse par intervalles

$$X, \tilde{X} \rightarrow [X]$$



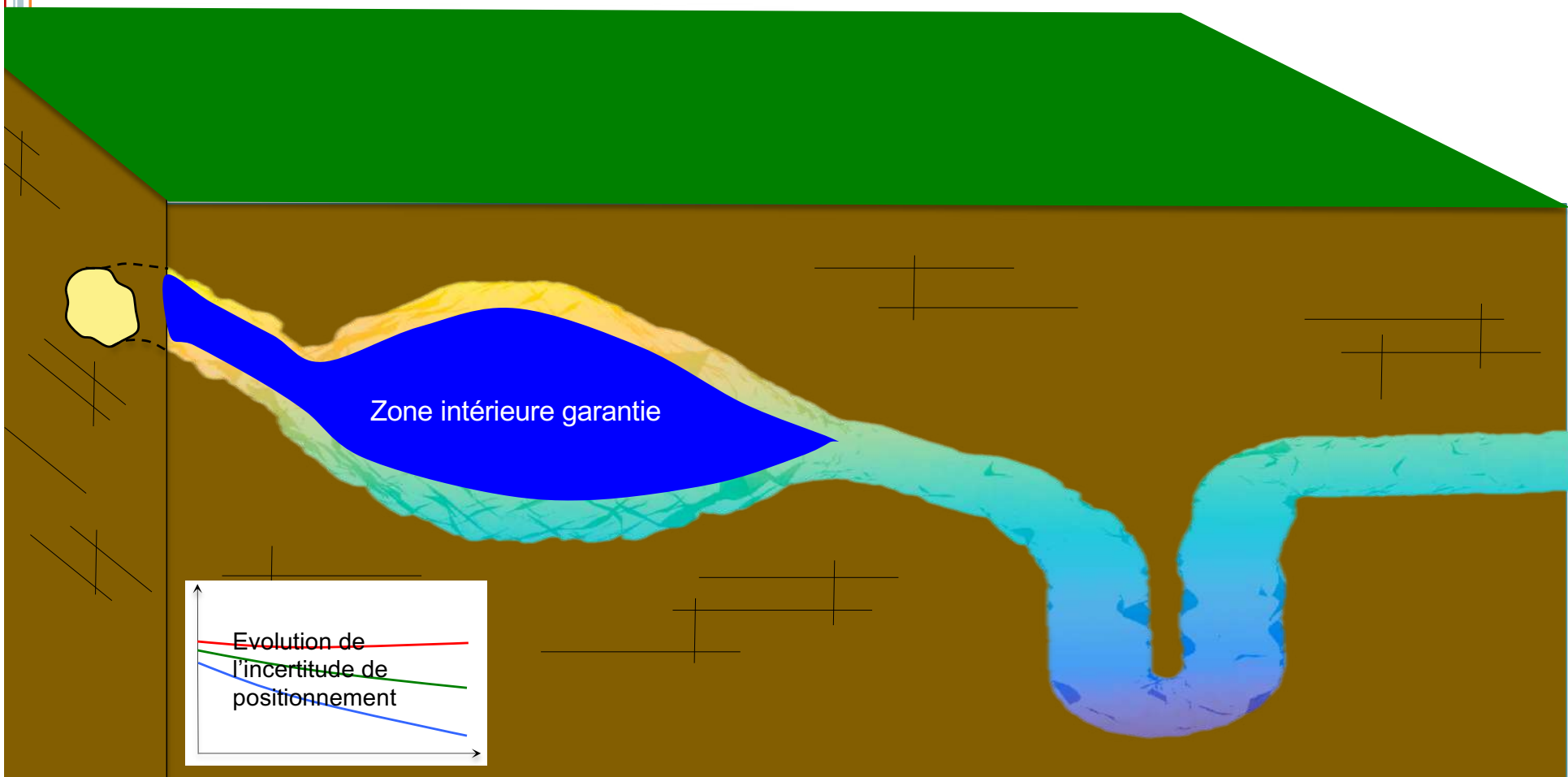
NEAR FUTURE : ANR LS2N, ENSTA, ISSKA

- Locomotion anguilliforme et Sens électrique
- Cartographie garantie, analyse par intervalles



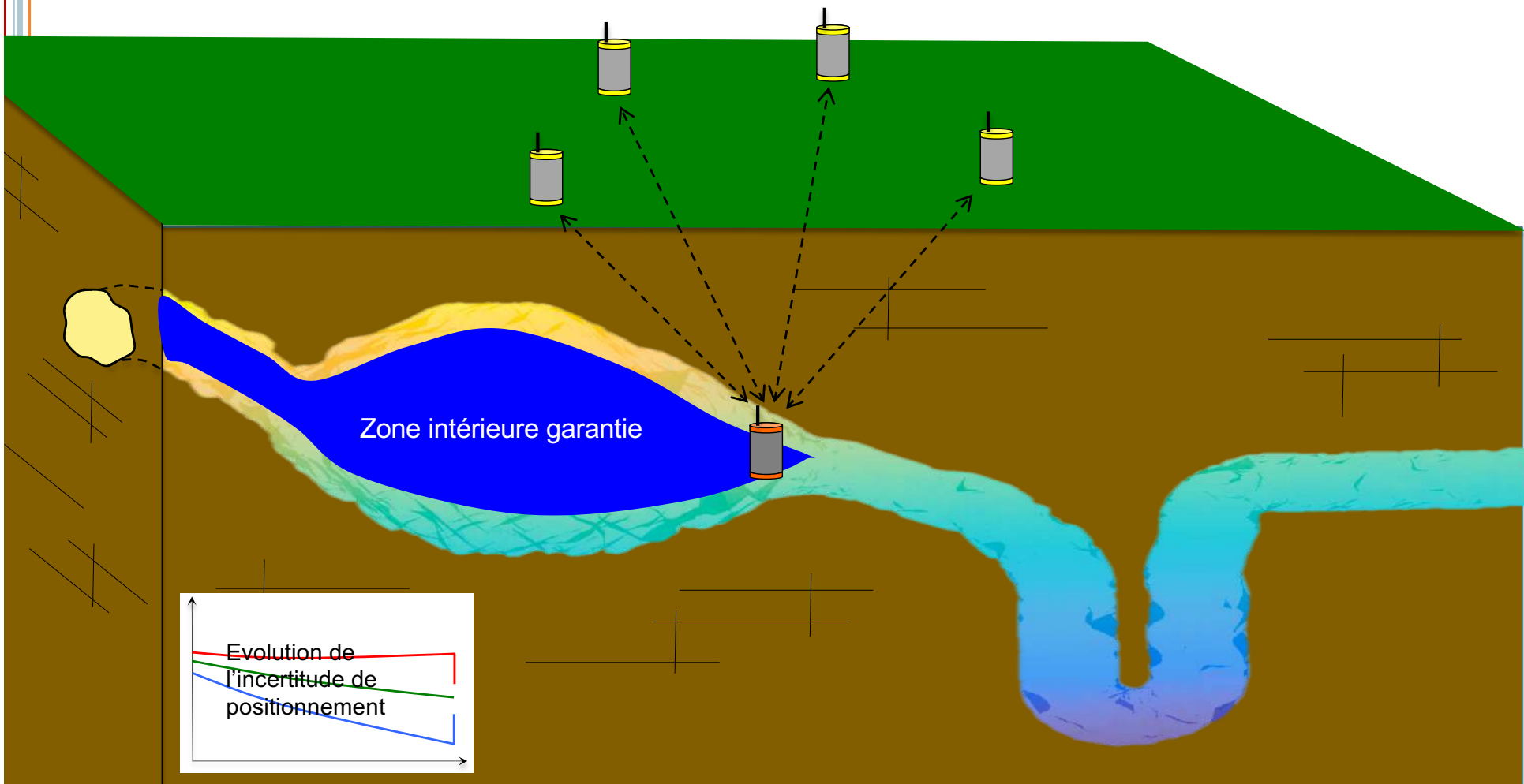
NEAR FUTURE : ANR LS2N, ENSTA, ISSKA

- Locomotion anguilliforme et Sens électrique
- Cartographie garantie, analyse par intervalles
- Recalage par UG-GPS (ISSKA, localisation magnétique)



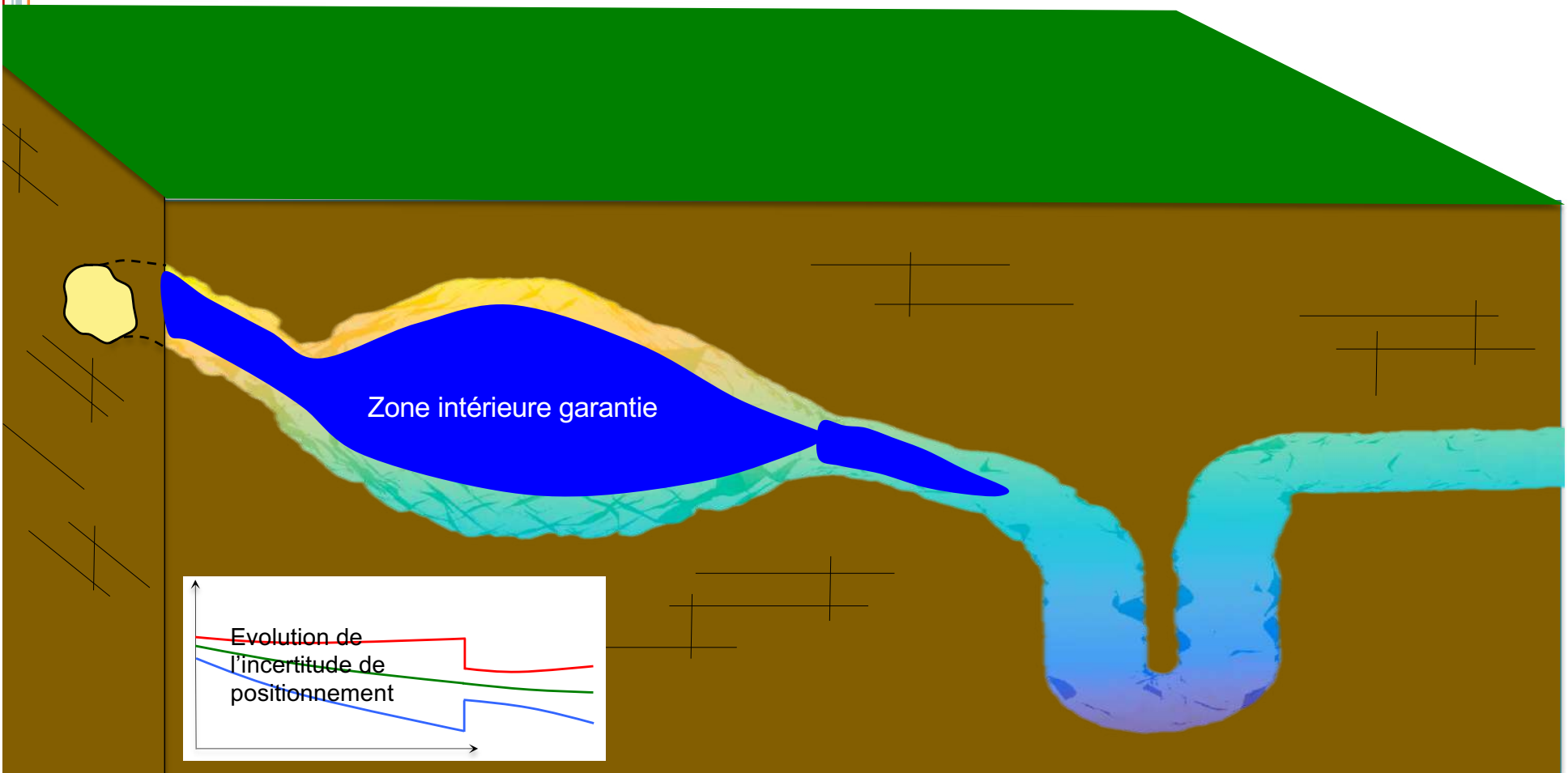
NEAR FUTURE : ANR LS2N, ENSTA, ISSKA

- Locomotion anguilliforme et Sens électrique
- Cartographie garantie, analyse par intervalles
- Recalage par UG-GPS (ISSKA, localisation magnétique)



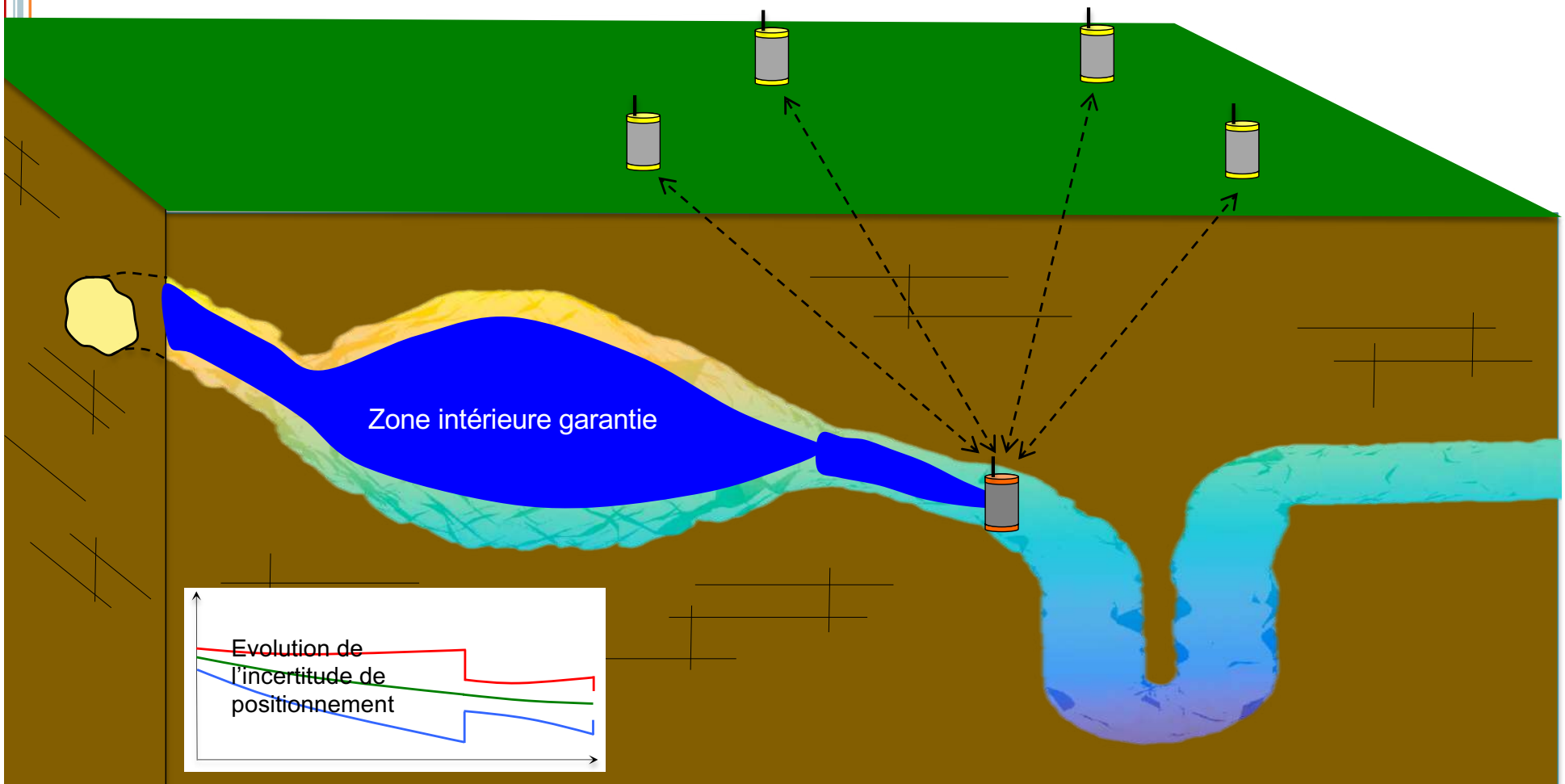
NEAR FUTURE : ANR LS2N, ENSTA, ISSKA

- Locomotion anguilliforme et Sens électrique
- Cartographie garantie, analyse par intervalles
- Recalage par UG-GPS (ISSKA, localisation magnétique)



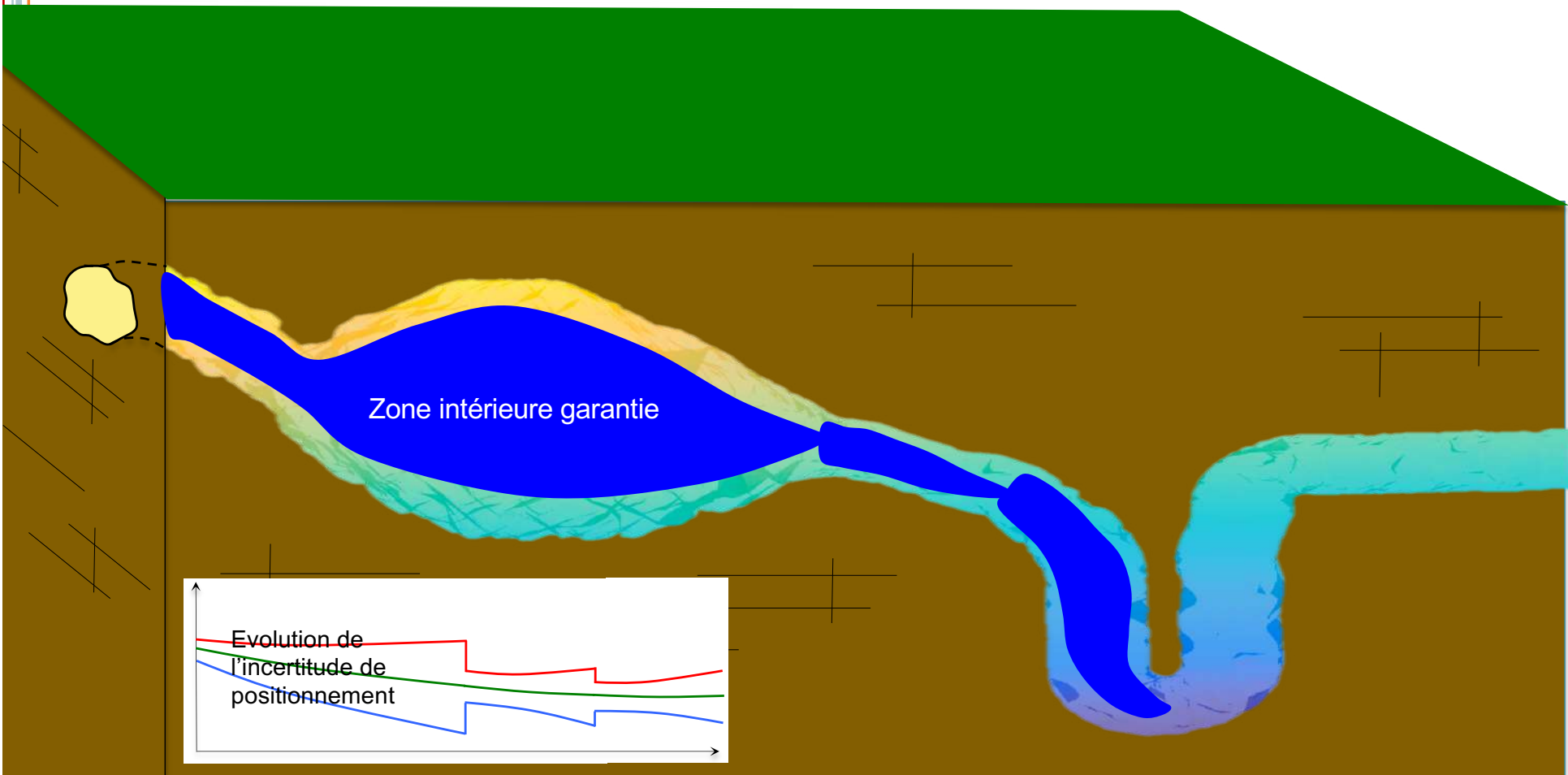
NEAR FUTURE : ANR LS2N, ENSTA, ISSKA

- Locomotion anguilliforme et Sens électrique
- Cartographie garantie, analyse par intervalles
- Recalage par UG-GPS (ISSKA, localisation magnétique)



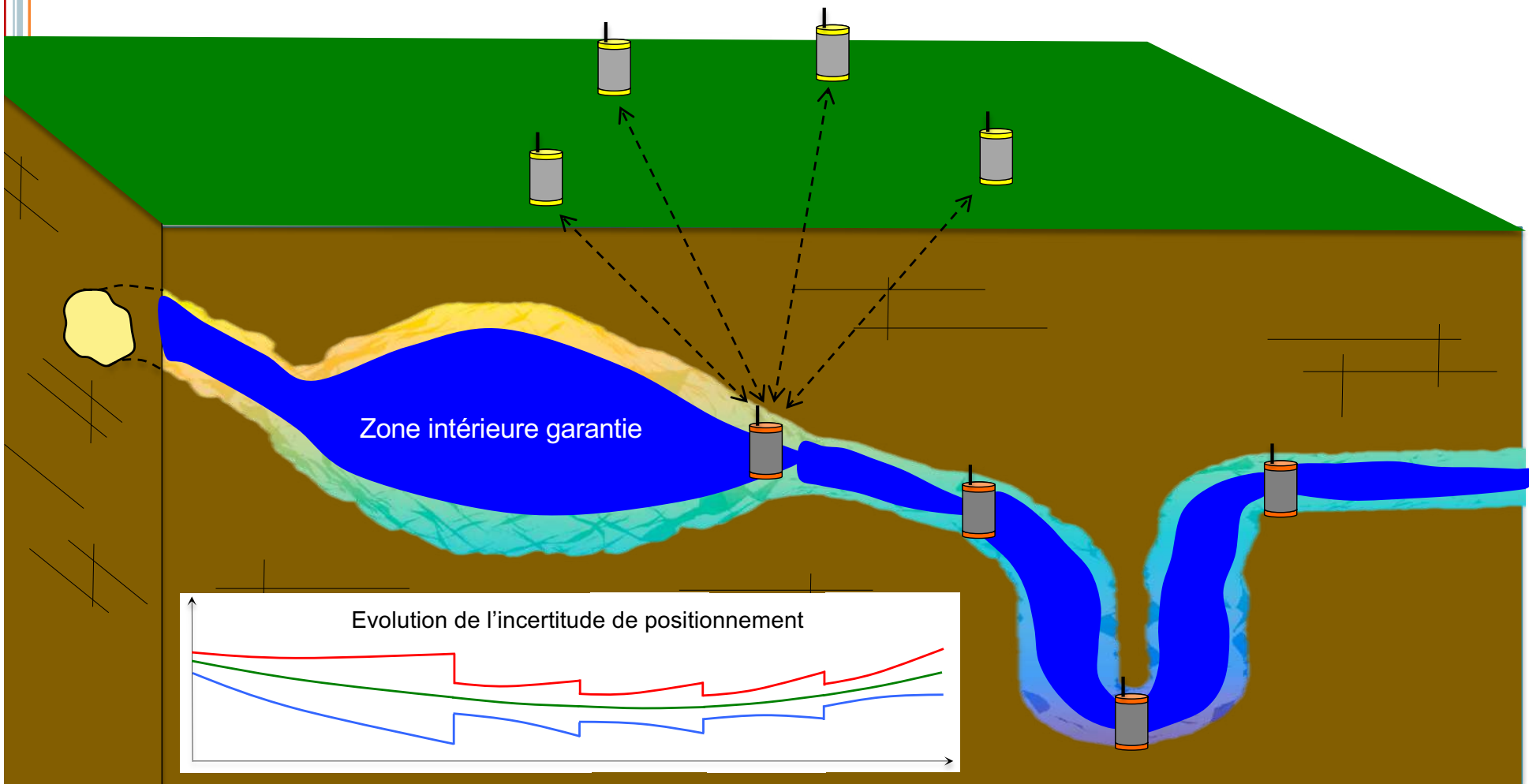
NEAR FUTURE : ANR LS2N, ENSTA, ISSKA

- Locomotion anguilliforme et Sens électrique
- Cartographie garantie, analyse par intervalles
- Recalage par UG-GPS (ISSKA, localisation magnétique)



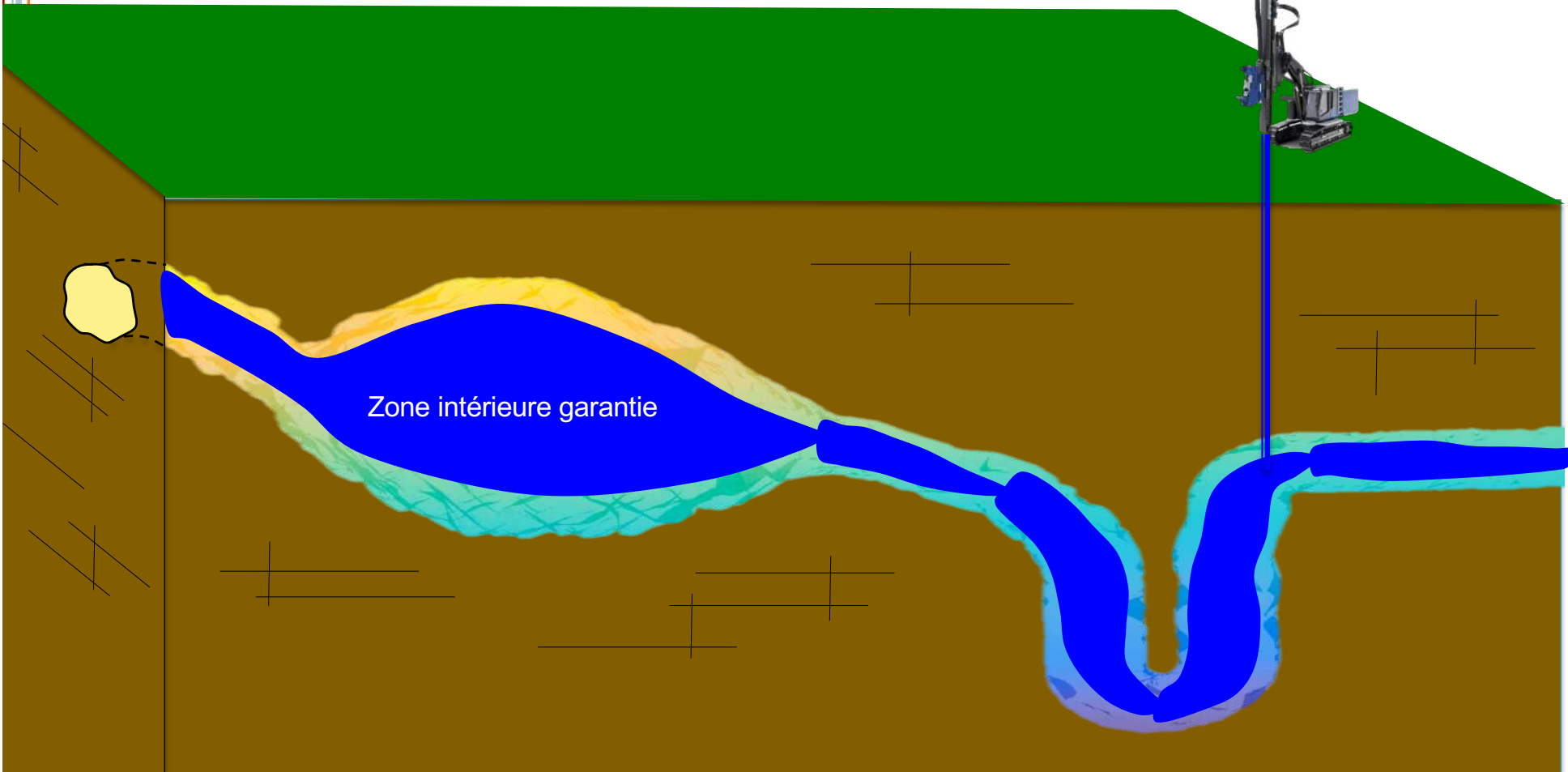
NEAR FUTURE : ANR LS2N, ENSTA, ISSKA

- Locomotion anguilliforme et Sens électrique
- Cartographie garantie, analyse par intervalles
- Recalage par UG-GPS (ISSKA, localisation magnétique)



NEAR FUTURE : ANR LS2N, ENSTA, ISSKA

- Locomotion anguilliforme et Sens électrique
- Cartographie garantie, analyse par intervalles
- Recalage par UG-GPS (ISSKA, localisation magnétique)
- Application au forage hydraulique

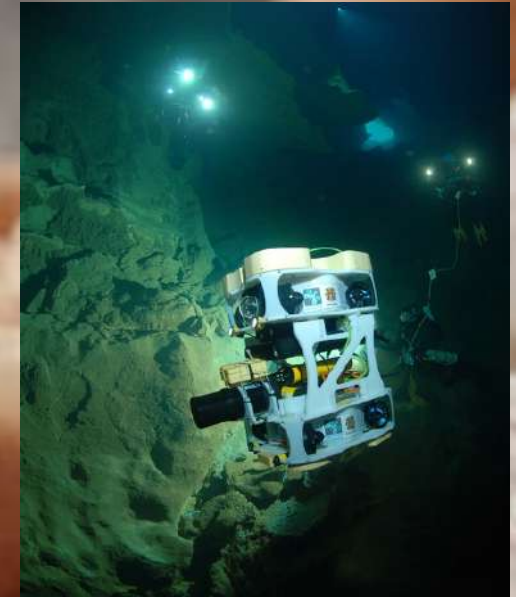




LE PROJET DE FONDATION

LE PROJET DE FONDATION

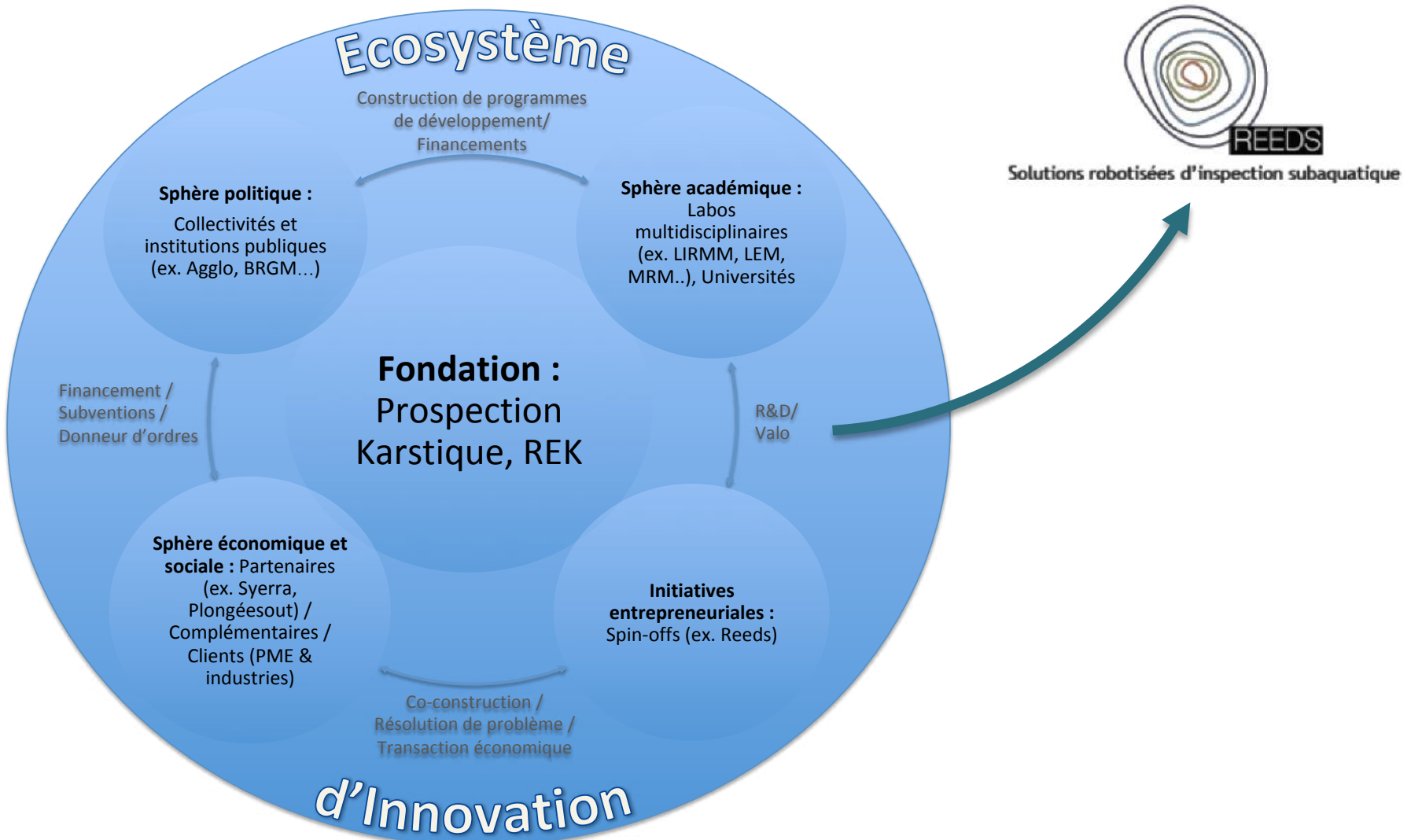
La Fondation



Connaître l'eau cachée pour mieux la protéger

LE PROJET DE FONDATION

- Abriter l'écosystème d'innovation qui verra l'avènement du marché de l'exploration karstique.



LE PROJET DE FONDATION

- Abriter l'écosystème d'innovation qui verra l'avènement du marché de l'exploration karstique.

Les atouts et les technologies

Des solutions d'exploration robotiques sous-marines opérationnelles

Des partenariats scientifiques (BRGM, ...)

Des spécialistes multidisciplinaires (robotique, informatique, intégration de systèmes, plongée souterraine)

Des capacités uniques de tests et de mise en œuvre en milieux naturels et artificiels

Une proposition de valeur unique

Les moyens humains et techniques de recherche du LIRMM

L'expérience opérationnelle et commerciale de Syera en robotique sous-marine appliquée

La maîtrise de la robotique sous-marine et des milieux souterrains noyés

La capacité d'intégrer des systèmes complexes pour des solutions opérationnelles

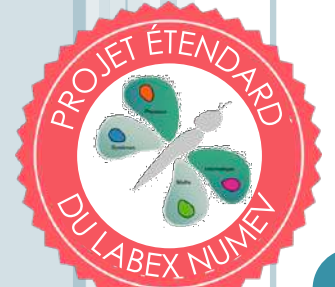
Des réalisations

Programme de développement d'un robot sous-marin totalement autonome pour milieux souterrains noyés

Mise au point de systèmes de topographie sonar et photogrammétrique autonomes

Exploration combinée robots/plongeurs d'une galerie noyées inaccessible en plongée et inaccessible aux pilotes du robot





LIRMM, 29/05/2019

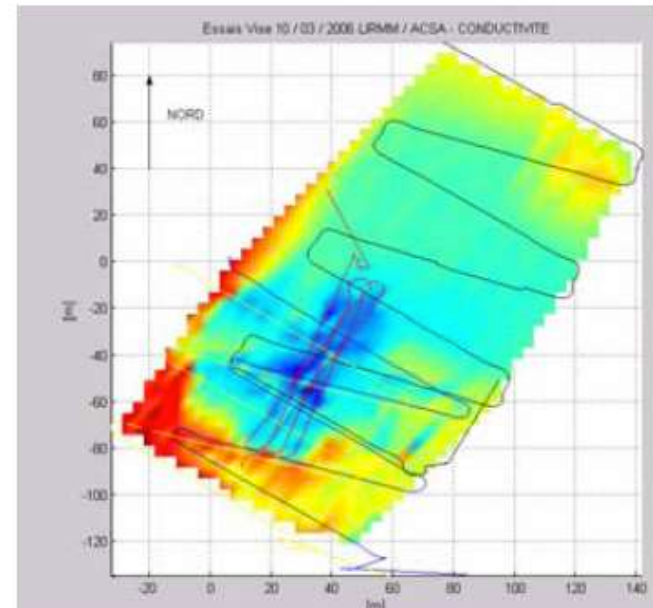
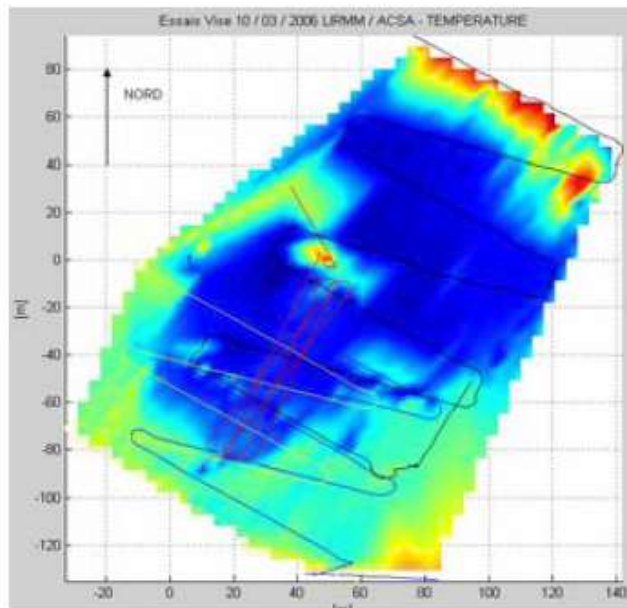
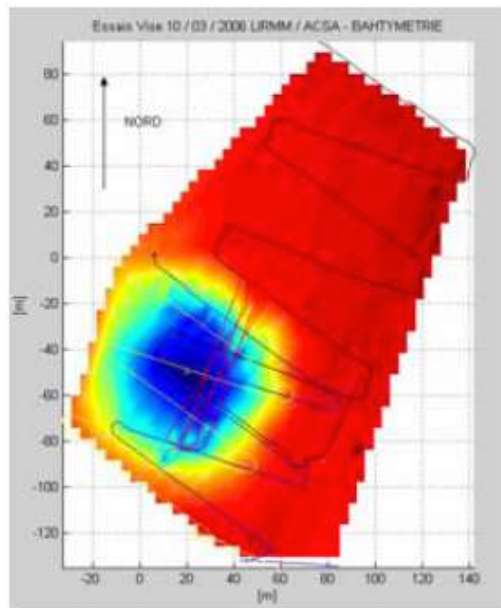


Robotique d'Exploration Karstique: Bilan et perspectives



SOURCES DU LEZ : A SEMINAL CASE STUDY

- Fresh water plume detection : MEDITATE EC Project

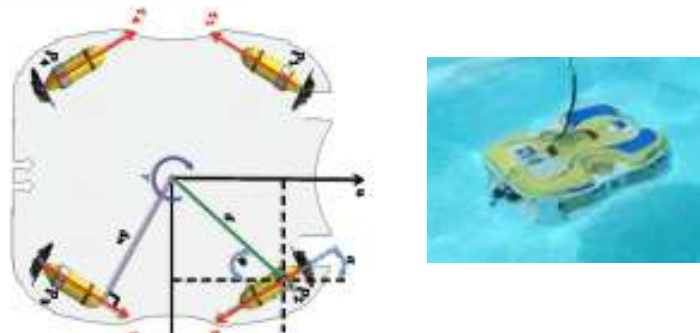


SOME RESULTS : ACTUATION LAYER ROBUSTNESS

Consider the redundant system

$$\mathbf{F}_B = \mathbf{A} \cdot \mathbf{F}_m \quad \mathbf{A} = \begin{bmatrix} -.866 & -.866 & .866 & .866 \\ -.5 & .5 & .5 & -.5 \\ .226 & -.226 & .226 & -.226 \end{bmatrix}$$

(Concentrator)



Consider the yaw control (simple PD)

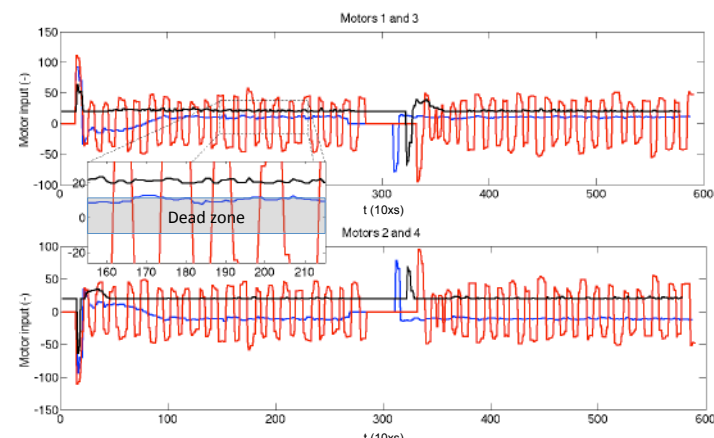
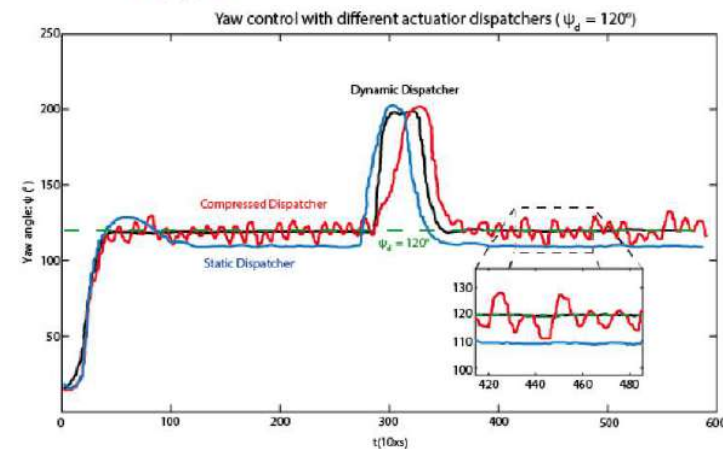
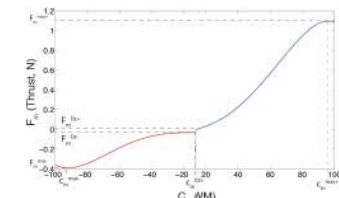
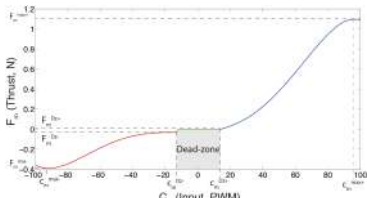
$$\mathbf{F}_B^d = \begin{bmatrix} F_u \\ F_v \\ \Gamma_r \end{bmatrix} = \begin{bmatrix} 0 \\ 0 \\ k_1 \cdot (\psi_d - \psi) - k_2 \cdot r \end{bmatrix}$$

Compute Actuator Forces (classic Moore-Penrose Pseudo-inverse)

$$\mathbf{F}_m = \mathbf{A}^+ \cdot \mathbf{F}_B^d$$

(Classic Dispatcher)

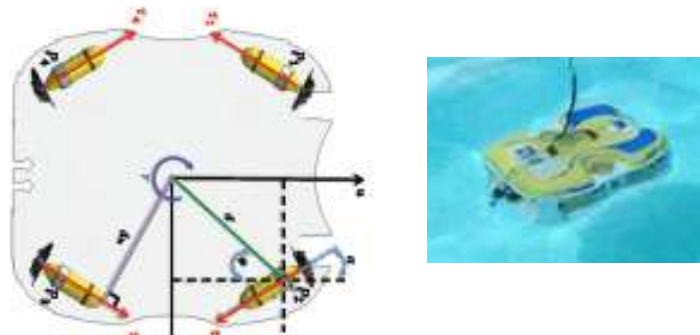
Classic reflex : Compress dead-zone



SOME RESULTS : ACTUATION LAYER ROBUSTNESS

Consider the redundant system

$$\mathbf{F}_B = \mathbf{A} \cdot \mathbf{F}_m \quad (\text{Concentrator}) \quad \mathbf{A} = \begin{bmatrix} -.866 & -.866 & .866 & .866 \\ -.5 & .5 & .5 & -.5 \\ .226 & -.226 & .226 & -.226 \end{bmatrix}$$



Consider the yaw control (simple PD)

$$\mathbf{F}_B^d = \begin{bmatrix} F_u \\ F_v \\ \Gamma_r \end{bmatrix} = \begin{bmatrix} 0 \\ 0 \\ k_1 \cdot (\psi_d - \psi) - k_2 \cdot r \end{bmatrix}$$

Exploit redundancy

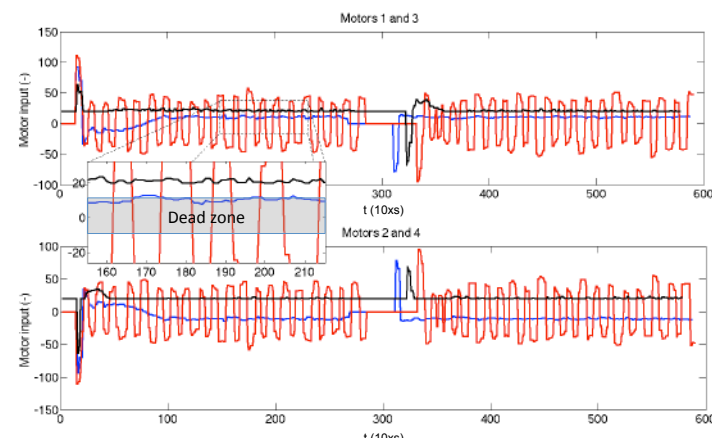
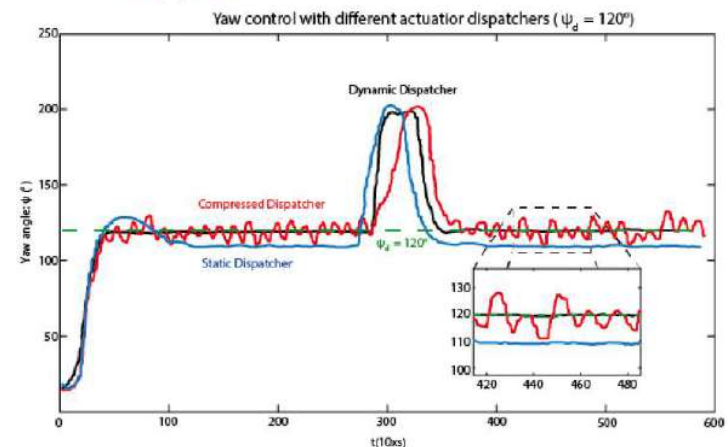
$$\mathbf{F}_m = \begin{bmatrix} \mathbf{A}^+ & \mathbf{M}_m \end{bmatrix} \cdot \begin{bmatrix} \mathbf{F}_B^d \\ r_m \end{bmatrix} \quad (\text{Dispatcher})$$

$$\mathbf{M}_m \in \ker(\mathbf{A}) \Rightarrow \mathbf{A} \cdot \mathbf{M}_m = \mathbf{0}$$

$$\mathbf{F}_B = \mathbf{A} \cdot \mathbf{A}^+ \cdot \mathbf{F}_B^d + \mathbf{A} \cdot \mathbf{M}_m \cdot r_m$$

$$\mathbf{F}_B = \mathbf{A} \cdot \mathbf{A}^+ \cdot \mathbf{F}_B^d = \mathbf{F}_B^d, \forall r_m$$

(for some nice properties of \mathbf{A})



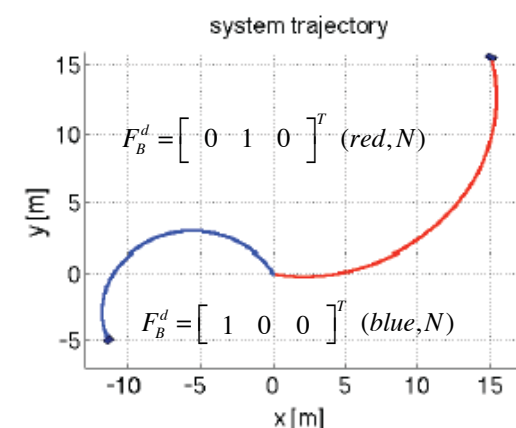
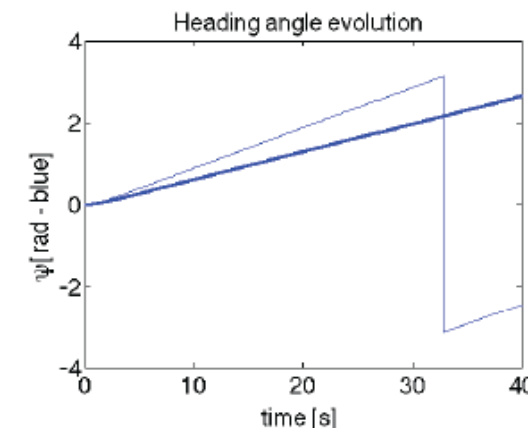
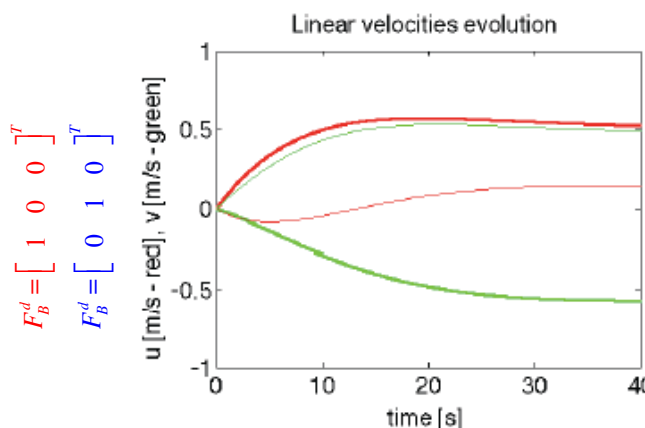
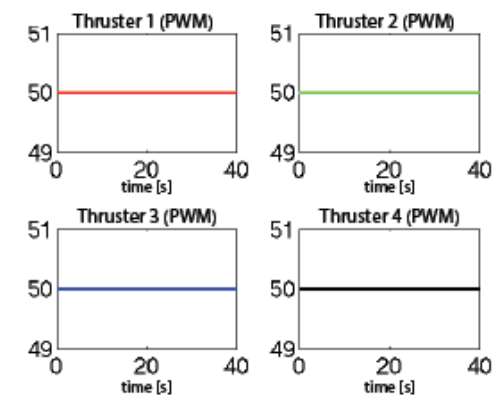
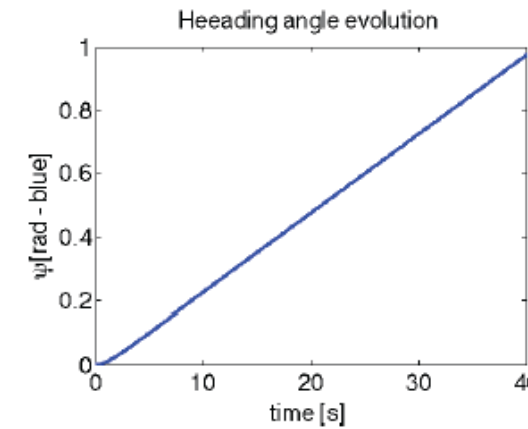
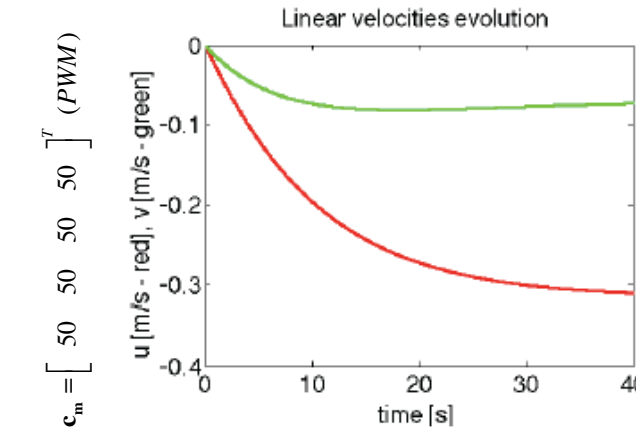
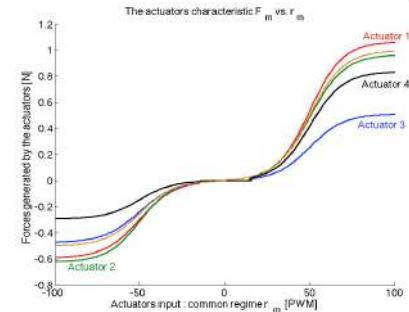
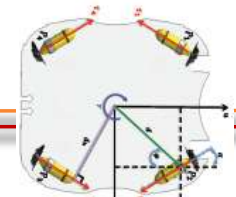
SOME RESULTS : ACTUATION LAYER ROBUSTNESS

Consider the motors' characteristic uncertainty and disparity

$$\mathbf{F}_m = \Omega(\mathbf{c}_m) \quad \mathbf{c}_m = \hat{\Omega}^{-1}(\mathbf{F}_m)$$

$$\mathbf{F}_B = \mathbf{A} \cdot \Omega \left(\hat{\Omega}^{-1} \left(\mathbf{A}^+ \cdot \mathbf{F}_B^d + \mathbf{M}_m \cdot r_m \right) \right) \equiv \mathbf{A} \cdot \Omega \cdot \hat{\Omega}^{-1} \cdot \left(\mathbf{A}^+ \cdot \mathbf{F}_B^d + \mathbf{M}_m \cdot r_m \right) \neq \mathbf{F}_B^d$$

→DOF Coupling effect



SOME RESULTS : ACTUATION LAYER ROBUSTNESS

Consider the motors' characteristic uncertainty and disparity

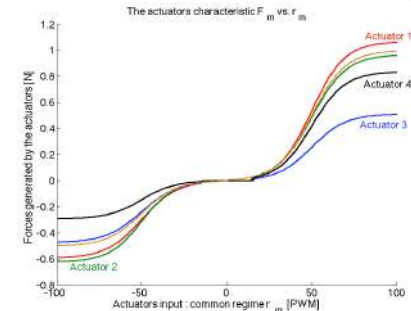
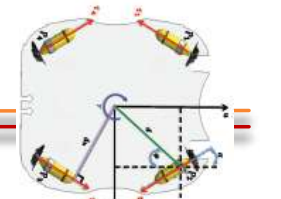
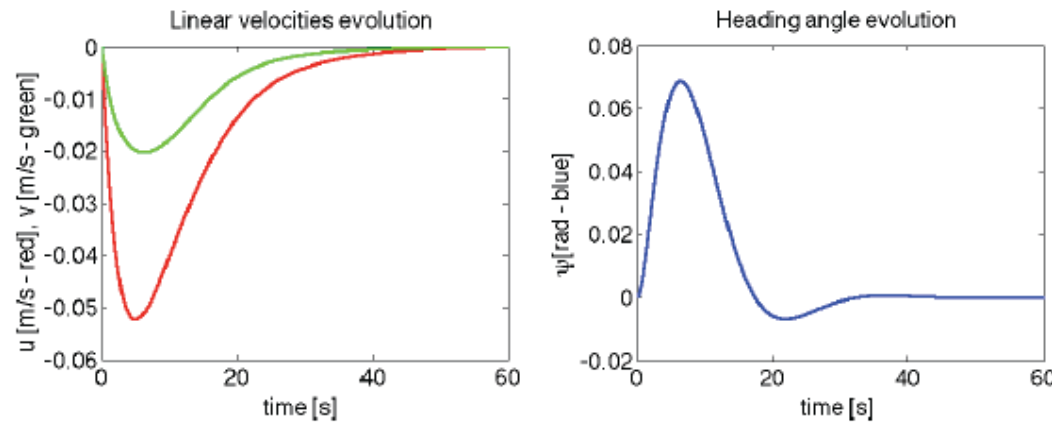
$$\mathbf{F}_m = \Omega(\mathbf{c}_m) \quad \mathbf{c}_m = \hat{\Omega}^{-1}(\mathbf{F}_m)$$

$$\mathbf{F}_B = \mathbf{A} \cdot \Omega \left(\hat{\Omega}^{-1} \left(\mathbf{A}^+ \cdot \mathbf{F}_B^d + \mathbf{M}_m \cdot r_m \right) \right) \equiv \mathbf{A} \cdot \Omega \cdot \hat{\Omega}^{-1} \cdot \left(\mathbf{A}^+ \cdot \mathbf{F}_B^d + \mathbf{M}_m \cdot r_m \right) \neq \mathbf{F}_B^d$$

→DOF Coupling effect

Consider the following closed loop control

$$\mathbf{F}_B^d = \begin{bmatrix} -u - \int_0^t u \cdot dt \\ -v - \int_0^t v \cdot dt \\ -\psi - r - 0.1 \cdot \int_0^t \psi \cdot dt \end{bmatrix}, \quad \left\{ \begin{array}{l} \mathbf{c}_m = \hat{\Omega}^{-1} \cdot \mathbf{A}^+ \cdot \left(\mathbf{F}_B^d + \mathbf{M}_m \cdot r_m \right) \\ r_m = \Omega \cdot c_0 \end{array} \right.$$

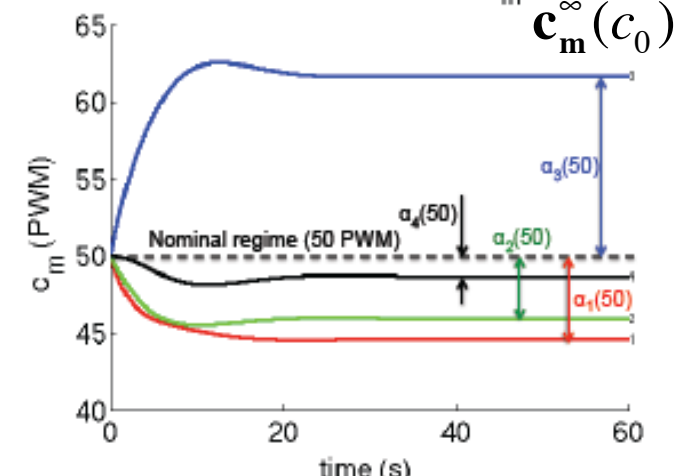


$$\mathbf{F}_B = \mathbf{A} \cdot \Omega \cdot \mathbf{c}_m^\infty(c_0) = \mathbf{0}$$

$$\Rightarrow \mathbf{c}_m^\infty(c_0) \in \ker(\mathbf{A} \cdot \Omega)$$

$$\Rightarrow \alpha_i(c_0) = \frac{c_{m,i}^\infty}{c_0}$$

Activité des actionneurs (c_m)
 $\mathbf{c}_m^\infty(c_0)$



SOME RESULTS : ACTUATION LAYER ROBUSTNESS

Consider the motors' characteristic uncertainty and disparity

$$\mathbf{F}_m = \Omega(\mathbf{c}_m) \quad \mathbf{c}_m = \hat{\Omega}^{-1}(\mathbf{F}_m)$$

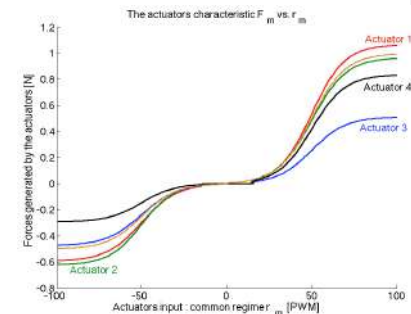
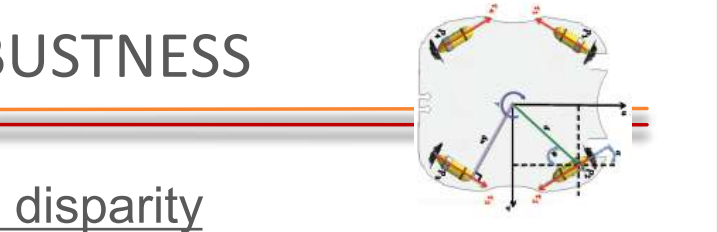
$$\mathbf{F}_B = \mathbf{A} \cdot \Omega \left(\hat{\Omega}^{-1} \left(\mathbf{A}^+ \cdot \mathbf{F}_B^d + \mathbf{M}_m \cdot r_m \right) \right) \equiv \mathbf{A} \cdot \Omega \cdot \hat{\Omega}^{-1} \cdot \left(\mathbf{A}^+ \cdot \mathbf{F}_B^d + \mathbf{M}_m \cdot r_m \right) \neq \mathbf{F}_B^d$$

→DOF Coupling effect

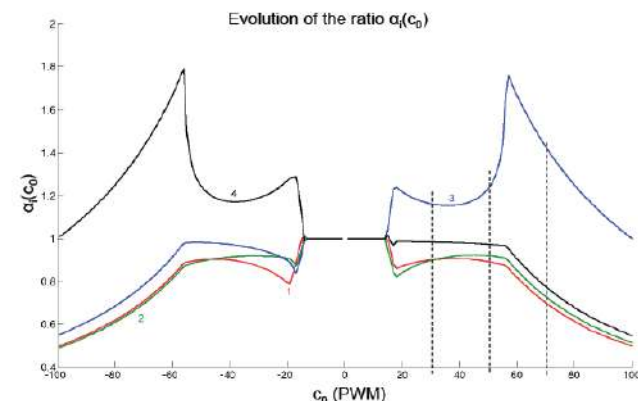
Consider the following closed loop control

$$\mathbf{F}_B^d = \begin{bmatrix} -u - \int_0^t u \cdot dt \\ -v - \int_0^t v \cdot dt \\ -\psi - r - 0.1 \cdot \int_0^t \psi \cdot dt \end{bmatrix}, \quad \left\{ \begin{array}{l} \mathbf{c}_m = \hat{\Omega}^{-1} \cdot \mathbf{A}^+ \cdot \left(\mathbf{F}_B^d + \mathbf{M}_m \cdot r_m \right) \\ r_m = \Omega \cdot c_0 \end{array} \right.$$

Iterate for $c_{m,\min} < c_m < c_{m,\max}$



$$\begin{aligned} \mathbf{F}_B &= \mathbf{A} \cdot \Omega \cdot \mathbf{c}_m^\infty(c_0) = \mathbf{0} \\ \Rightarrow \mathbf{c}_m^\infty(c_0) &\in \ker(\mathbf{A} \cdot \Omega) \\ \Rightarrow \alpha_i(c_0) &= \frac{c_{m,i}^\infty}{c_0} \\ \Rightarrow \mathbf{Q}(\mathbf{c}_m) &= \text{diag}(\alpha_1, \alpha_2, \alpha_3, \alpha_4) \end{aligned}$$



SOME RESULTS : ACTUATION LAYER ROBUSTNESS

Consider the motors' characteristic uncertainty and disparity

$$\mathbf{F}_m = \Omega(\mathbf{c}_m) \quad \mathbf{c}_m = \hat{\Omega}^{-1}(\mathbf{F}_m)$$

$$\mathbf{F}_B = \mathbf{A} \cdot \Omega \left(\hat{\Omega}^{-1} \left(\mathbf{A}^+ \cdot \mathbf{F}_B^d + \mathbf{M}_m \cdot r_m \right) \right) \equiv \mathbf{A} \cdot \Omega \cdot \hat{\Omega}^{-1} \cdot \left(\mathbf{A}^+ \cdot \mathbf{F}_B^d + \mathbf{M}_m \cdot r_m \right) \neq \mathbf{F}_B^d$$

→DOF Coupling effect

Consider the following closed loop control

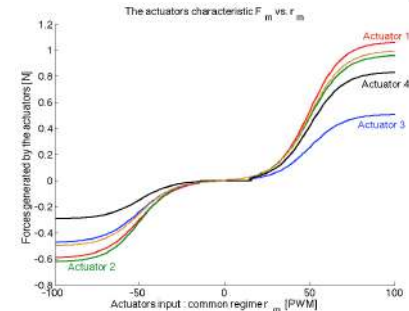
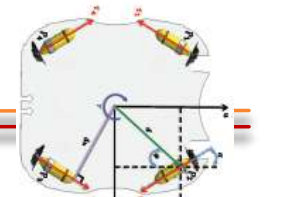
$$\mathbf{F}_B^d = \begin{bmatrix} -u - \int_0^t u \cdot dt \\ -v - \int_0^t v \cdot dt \\ -\psi - r - 0.1 \cdot \int_0^t \psi \cdot dt \end{bmatrix}, \quad \left\{ \begin{array}{l} \mathbf{c}_m = \hat{\Omega}^{-1} \cdot \mathbf{A}^+ \cdot \left(\mathbf{F}_B^d + \mathbf{M}_m \cdot r_m \right) \\ r_m = \Omega \cdot c_0 \end{array} \right.$$

Iterate for $c_{m,\min} < c_m < c_{m,\max}$

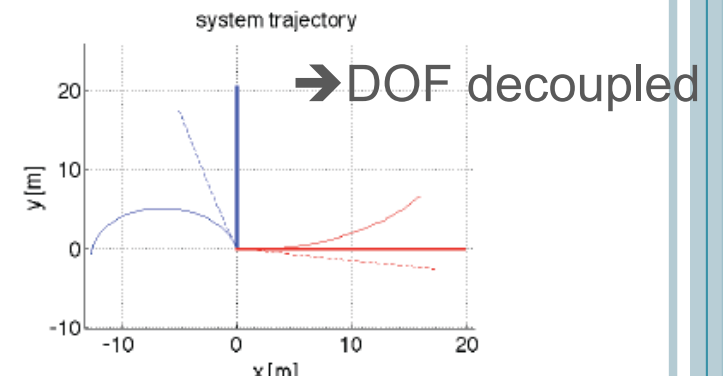
Implement the following open loop control

$$\mathbf{c}_m = \mathbf{Q} \left(\hat{\Omega}^{-1} \cdot \mathbf{A}^+ \cdot \left(\mathbf{F}_B^d + \mathbf{M}_m \cdot r_m \right) \right)$$

$$\mathbf{F}_B \equiv \mathbf{A} \cdot \Omega \cdot \mathbf{Q} \cdot \hat{\Omega}^{-1} \cdot \begin{bmatrix} \mathbf{A}^+ & M_m \end{bmatrix} \cdot \begin{bmatrix} \mathbf{F}_B^d \\ r_m \end{bmatrix} = k_Q \cdot \mathbf{F}_B^d$$



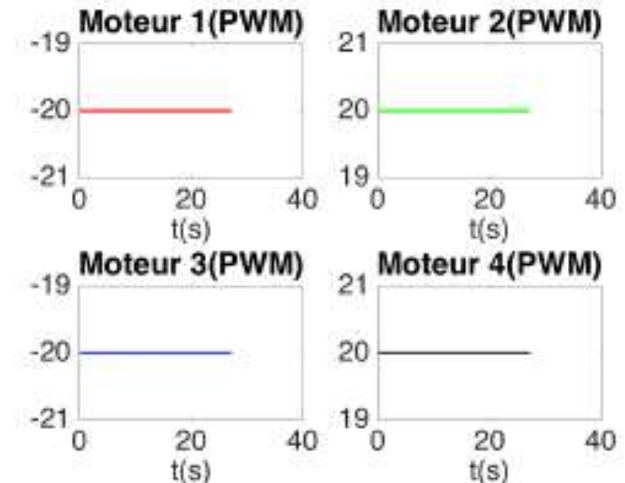
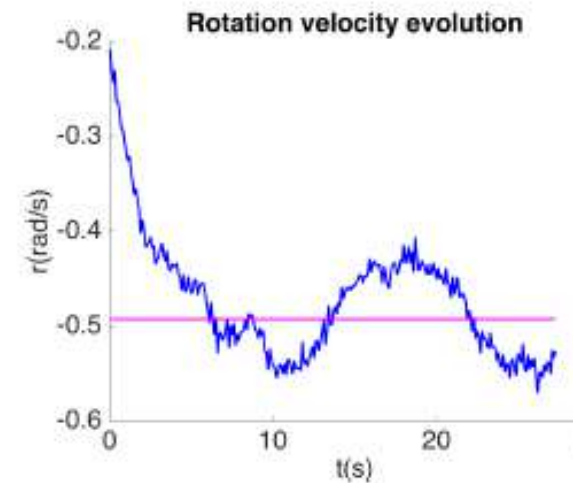
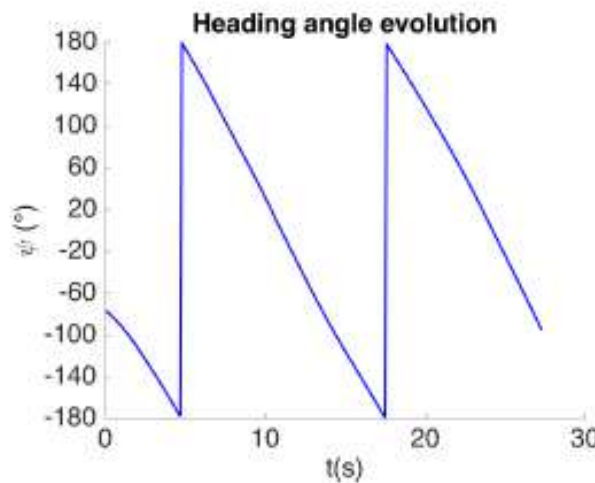
$$\begin{aligned} \mathbf{F}_B &= \mathbf{A} \cdot \Omega \cdot \mathbf{c}_m^\infty(c_0) = \mathbf{0} \\ \Rightarrow \mathbf{c}_m^\infty(c_0) &\in \ker(\mathbf{A} \cdot \Omega) \\ \Rightarrow \alpha_i(c_0) &= \frac{c_{m,i}^\infty}{c_0} \\ \Rightarrow \mathbf{Q}(\mathbf{c}_m) &= \text{diag}(\alpha_1, \alpha_2, \alpha_3, \alpha_4) \end{aligned}$$



SOME RESULTS : ACTUATION LAYER ROBUSTNESS

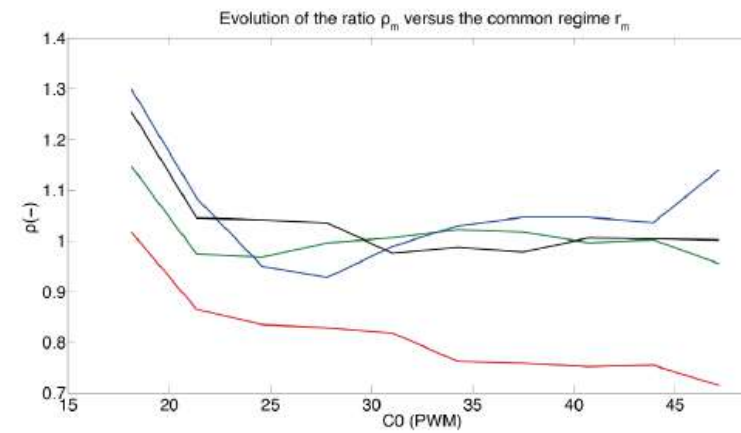
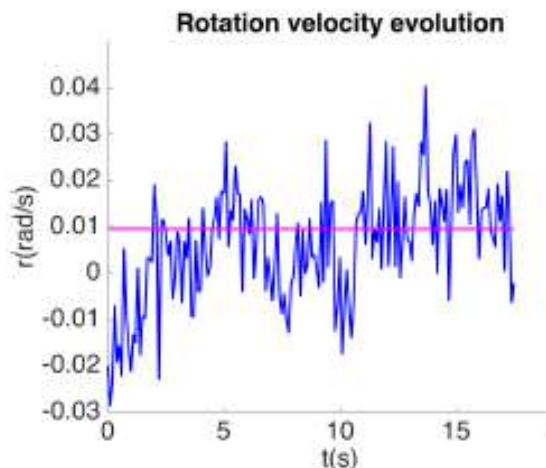
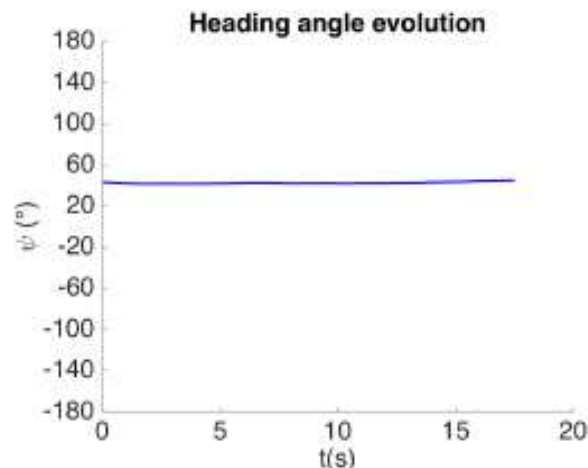


$$\mathbf{c}_m = \hat{\Omega}^{-1} \cdot \mathbf{A}^+ \cdot (\mathbf{0} + \mathbf{M}_m \cdot r_m)$$



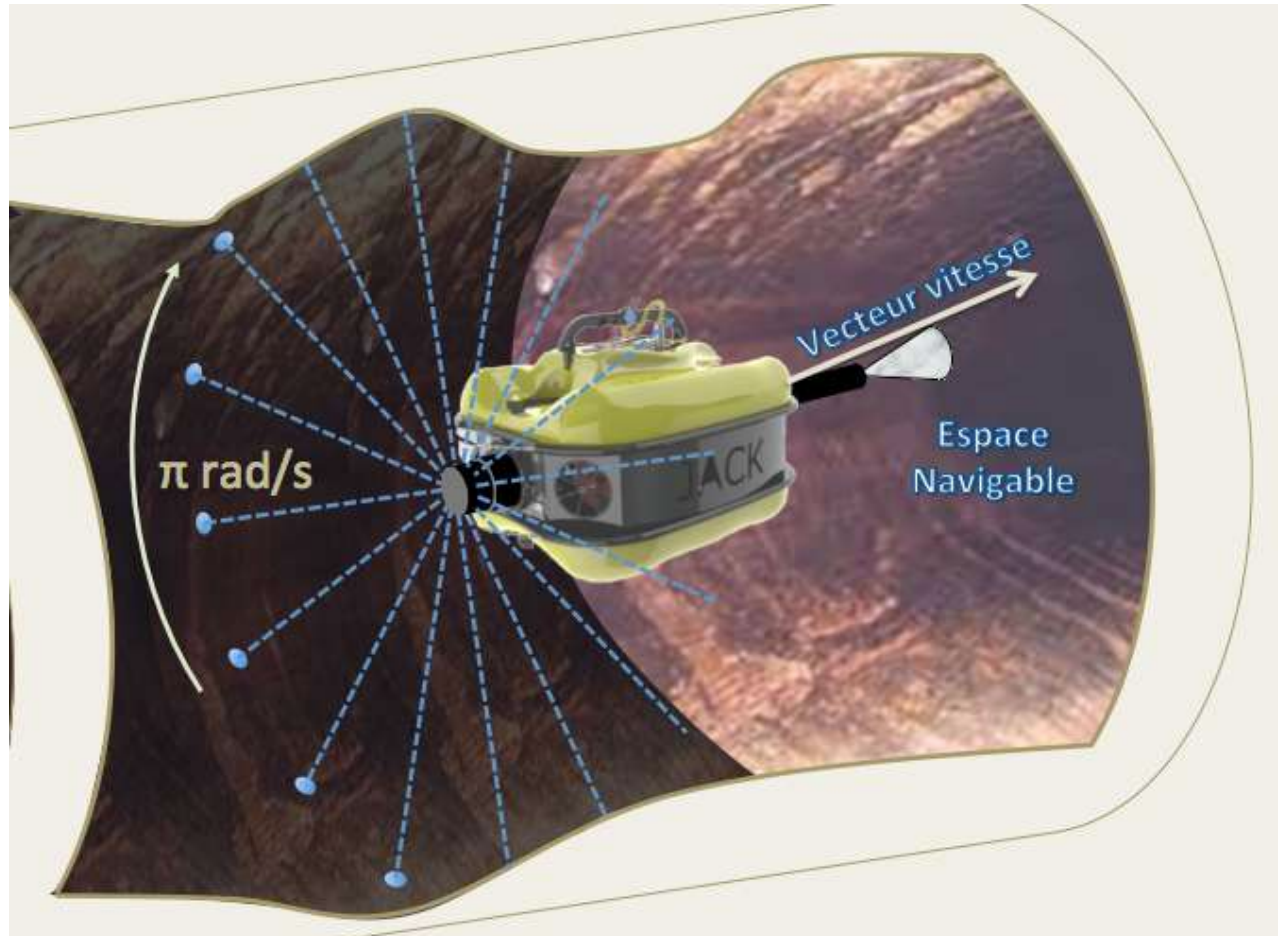
$$\mathbf{c}_m = Q \left(\hat{\Omega}^{-1} \cdot \mathbf{A}^+ \cdot (\mathbf{0} + \mathbf{M}_m \cdot r_m) \right)$$

$$Q(\mathbf{c}_m)$$



CHANTIERS SCIENTIFIQUES EN COURS

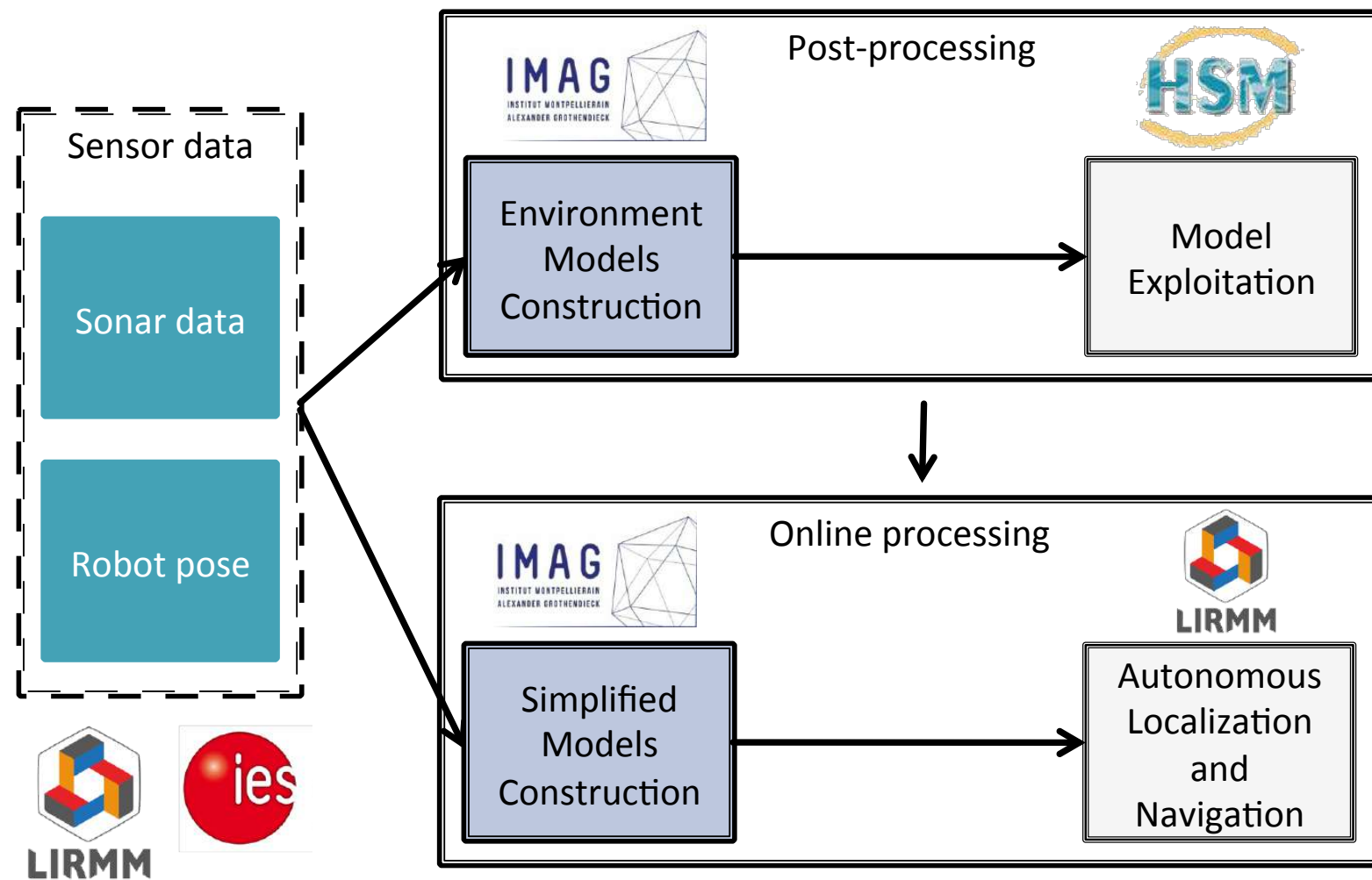
- Commande réactive orientée modèle de terrain



CHANTIERS SCIENTIFIQUES EN COURS

○ Modèles et Navigation (Post-Doc LIRMM-IMAG)

- From Sensors to Environmental models

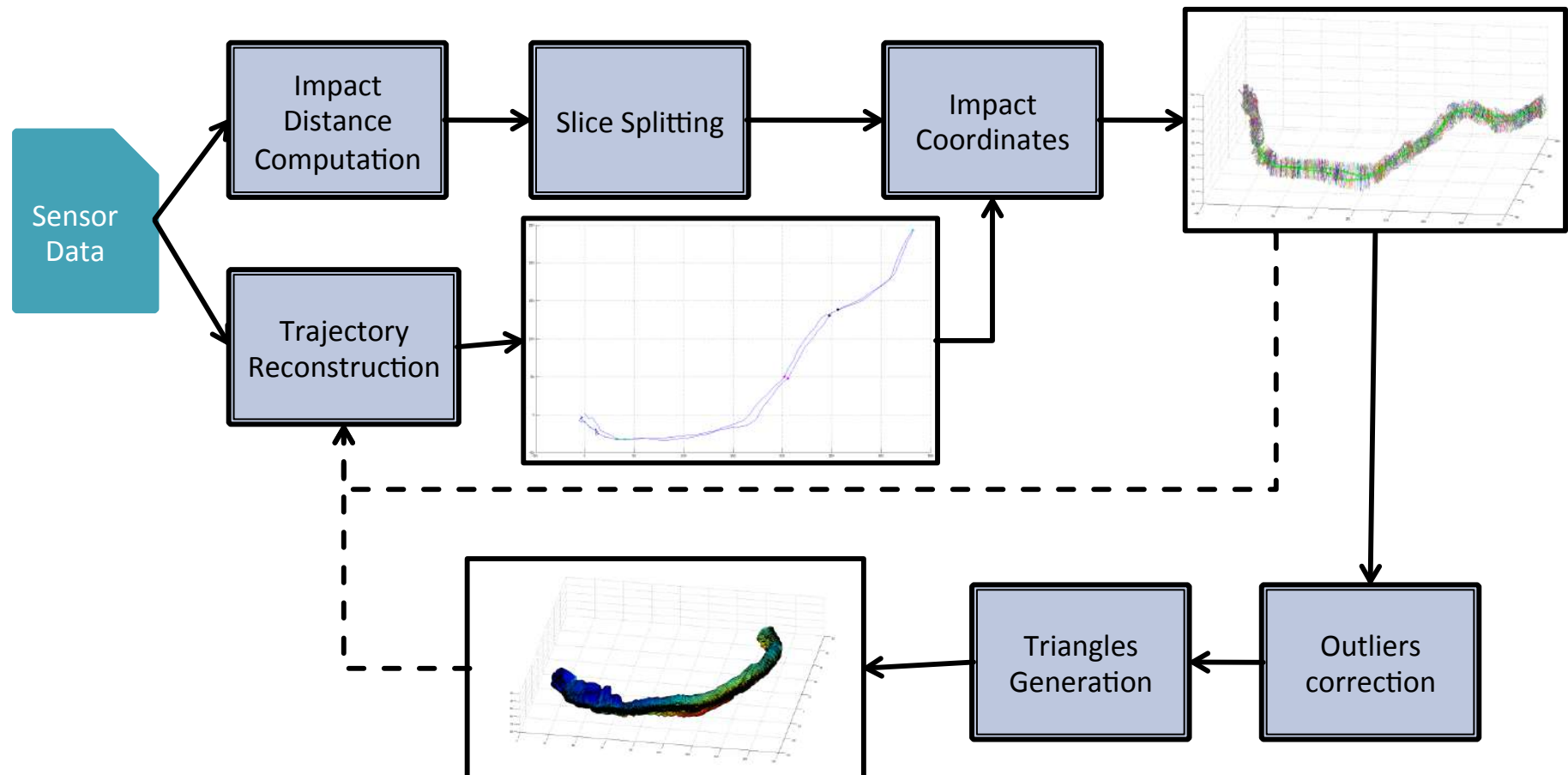


CHANTIERS SCIENTIFIQUES EN COURS

- Modèles et Navigation (Post-Doc LIRMM-IMAG)
 - Online Processing challenges
 - Producing a **simplified model** that can be used online for **autonomous navigation and localization**
 - Simplified model must contain **environment outline**, notable features (**AMERs***) while considering **uncertainty**
 - Should be used on the robot : **low computational power** requirements

CHANTIERS SCIENTIFIQUES EN COURS

- Modèles et Navigation (Post-Doc LIRMM-IMAG)
 - Online Processing Pipeline



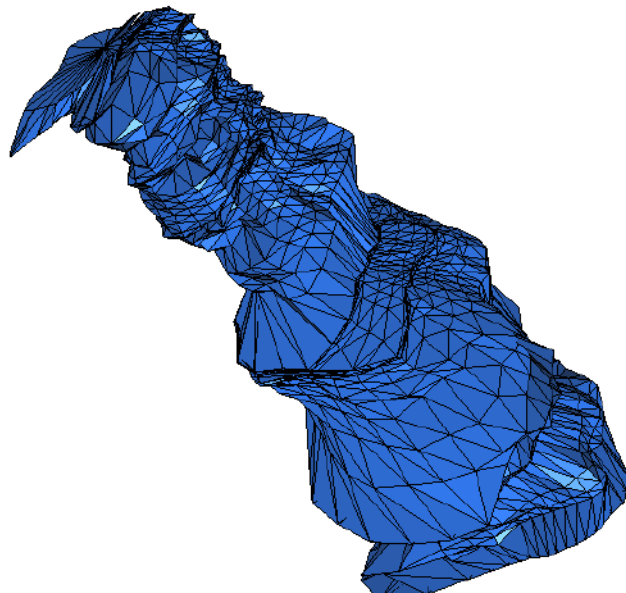
CHANTIERS SCIENTIFIQUES EN COURS

- Modèles et Navigation (Post-Doc LIRMM-IMAG)
 - Post-Processing Challenges
 - Dealing with **imprecision and uncertainties**
 - Use **prior knowledge or expert information** to remove uncertainties and/or check data consistency
 - **Automating** Triangles generation, Consistency check, uncertainties analysis, learning algorithms.

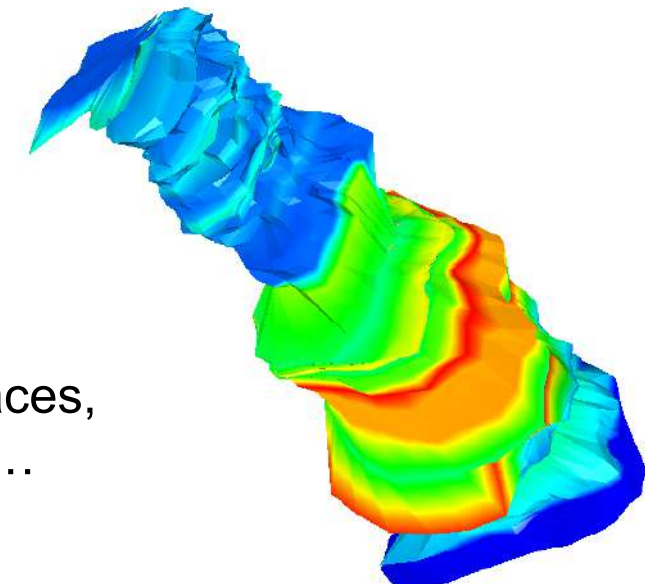
CHANTIERS SCIENTIFIQUES EN COURS

○ Modèles et Navigation (Post-Doc LIRMM-IMAG)

- Post-Processing : uncertainty management
- Example of 3D triangular mesh generated from slices with confidence index. Index can also discriminate between :
 - Missing information (filled using local neighbours)
 - Outliers (inconsistent data corrected using local neighbours)



Extractions de données fonctionnelles :
Volume (1187 m^3), Surfaces,
Vitesses d'écoulements...



Carte des incertitudes

CONCEPTS ET OUTILS MATHÉMATIQUES POUR ALEYIN (IMAG)

Formalisation

Il s'agit d'identifier la distribution de probabilité de x incertain dans R^n à partir d'observations incomplètes et incertaines y_t (commande+capteurs) dans R^m , par extraction d'information et apprentissage:

$$x = (\text{localisation+amer\&cartographie\&environnement physique}) \\ u_t = G(x(t,s))$$

u états: solutions de modèles $G = (\text{hydro, salinité, turbidité, turbulence,...})$
avec $x = F^{-1}(y(t,s))$

$y(t,s)$ sorties spatiales-temporelles de capteurs embarqués.
on supposera la nature de l'aléa sur x , y et u connue.

FSLAM : 'Functional' version of Simultaneous Localization & Mapping

Introduction de la modélisation physique (multi-physics hydro, à complexité réduite pour la phase online) lors de l'apprentissage et l'inversion (Bayesian fonctionnelle)

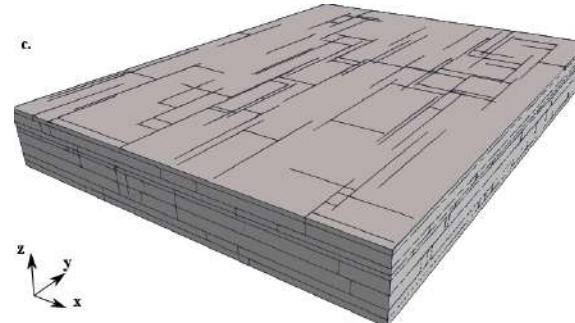
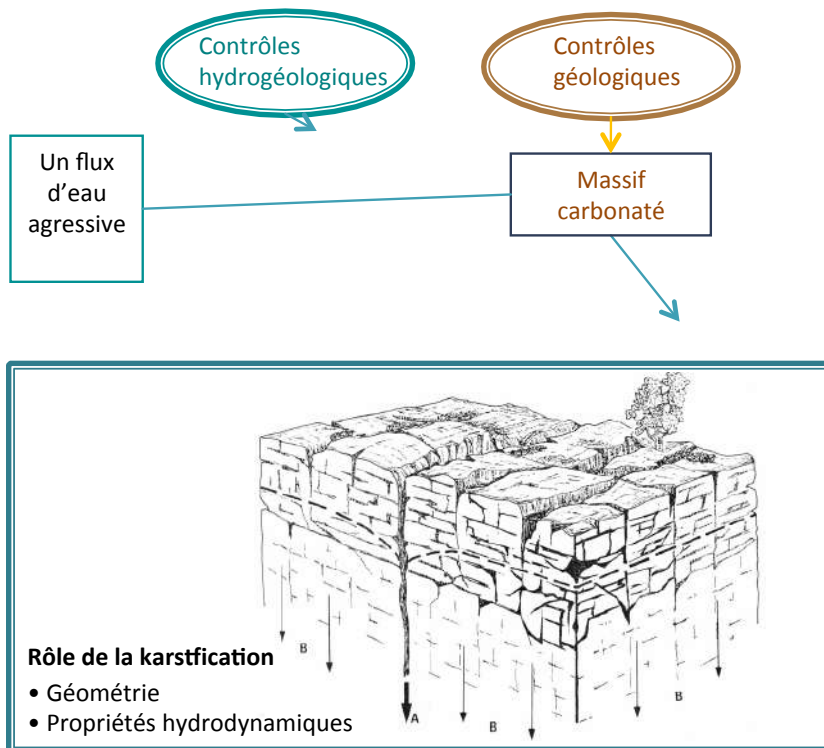
Contraintes de la phase online (pour navigation robot)

- Quasi temps réel pour la reconstruction en cohérence avec les capacités d'acquisition (utilisation de modèle à complexité réduite: Venturi-Bernoulli-Poiseuille)
- Information cachée, apparaît lors du retour du robot
- Acquisition hélicoïdale de l'information spatiale (2.5m/s)
- Nécessité de modèle géométrique à complexité réduite

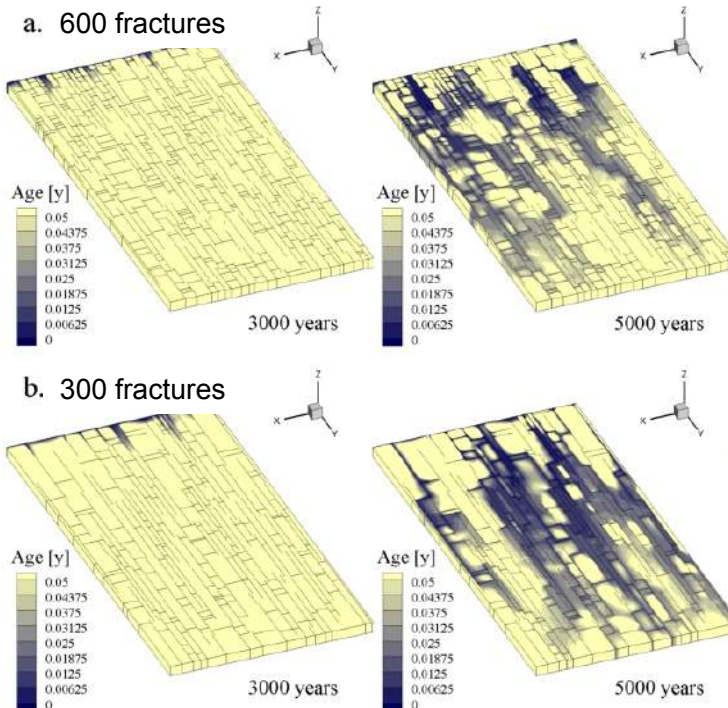
Phase offline:

- Grande quantité d'information, mais temps de traitement non contraint (HPC)
- Modélisation plus complexe possible (traitement du signal) en lien avec les hydrologues

MODÉLISATION DE LA KARSTOGÉNÈSE



Structure et hydrodynamique

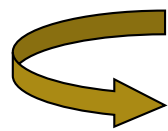


PRINCIPAUX CONTRÔLES DES PROCESSUS DE KARSTIFICATION

Thèse: A Lafare (2011)

LES ENJEUX

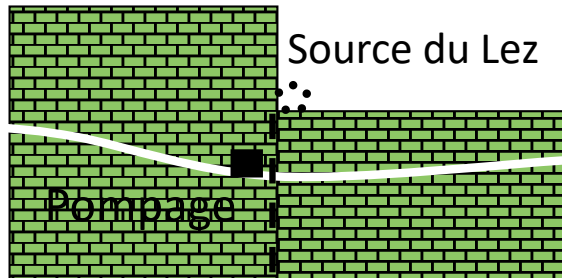
- Incidence des pompages pour l'alimentation en eau des populations (Montpellier Métropole)



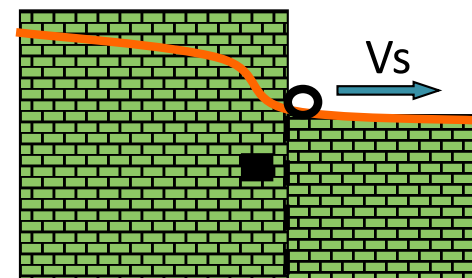
Pompage à la source du Lez : Dépression piézométrique

Augmentation de l'espace disponible pour les eaux météoriques infiltrées

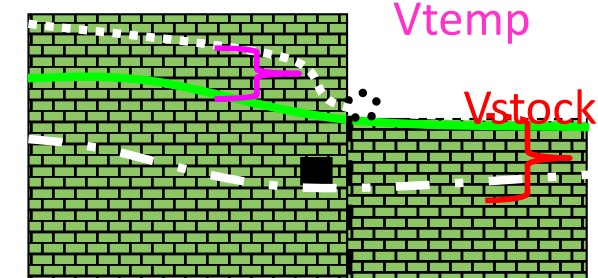
Avant la crue



Au pic de crue



Après la crue



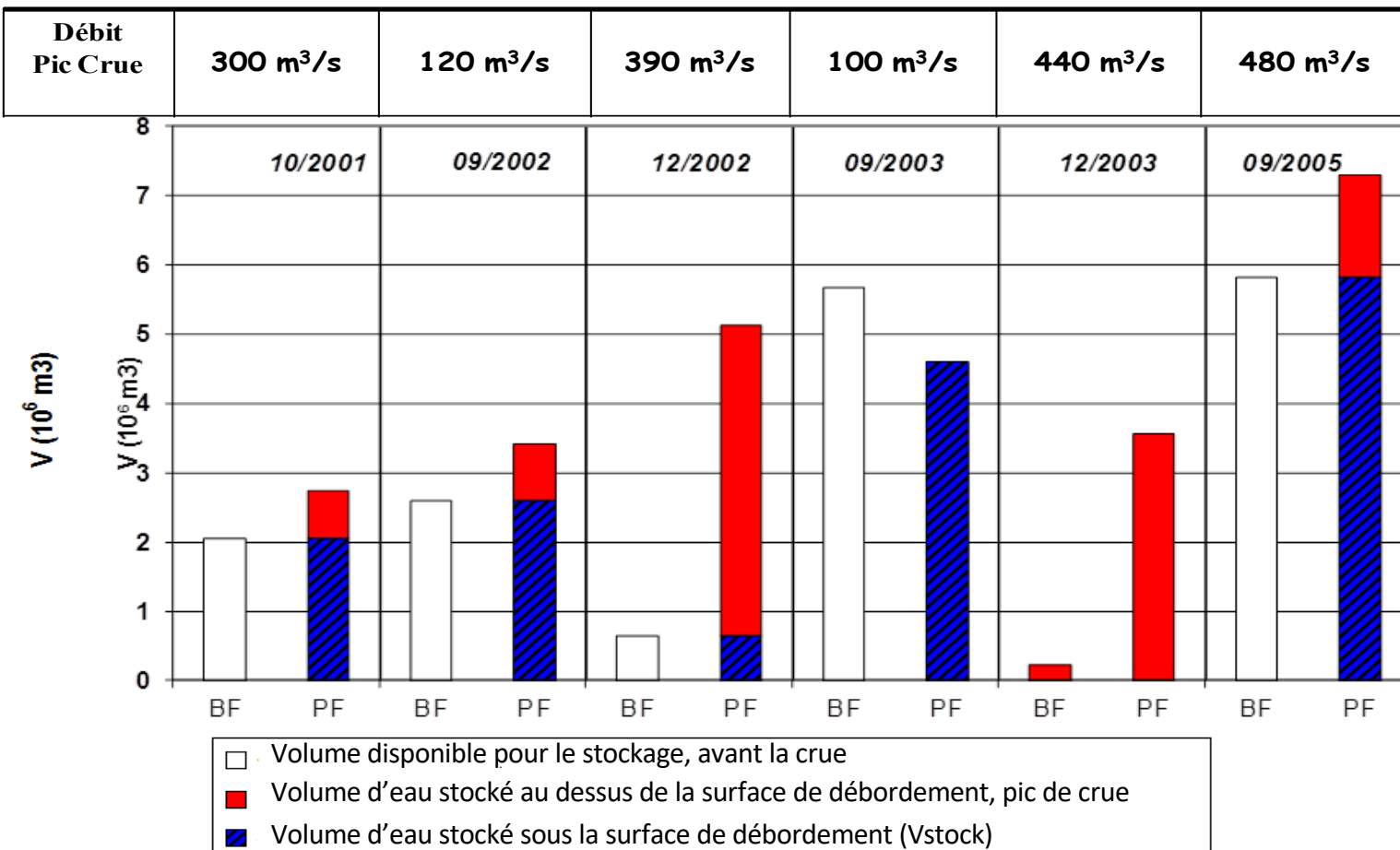
Vtemp volume d'eau emmagasiné temporairement au dessus de la *surface de débordement*

Vstock volume d'eau emmagasiné sous la *surface de débordement*

Porosité effective du karst : ~ 0.2 %

LES ENJEUX

○ Stockage des précipitations dans le karst



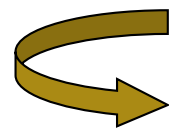
Estimation du volume d'eau emmagasiné dans l'aquifère karstique (■)

Évènements de Septembre : Fort emmagasinement

Évènements de Décembre : Faible emmagasinement

LES ENJEUX

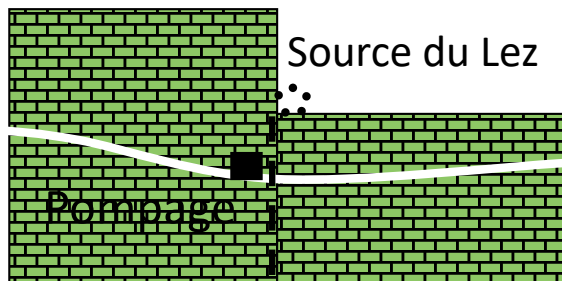
○ "Gestion active" de la ressource en eau



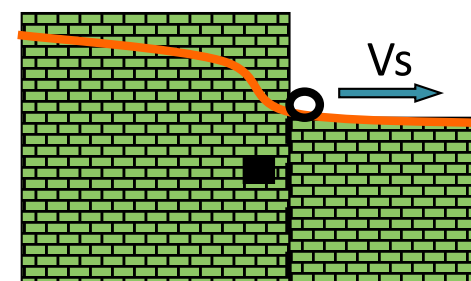
Pompage à la source du Lez : Sollicitation des réserves renouvelables

Augmentation de l'espace disponible pour les eaux météoriques infiltrées

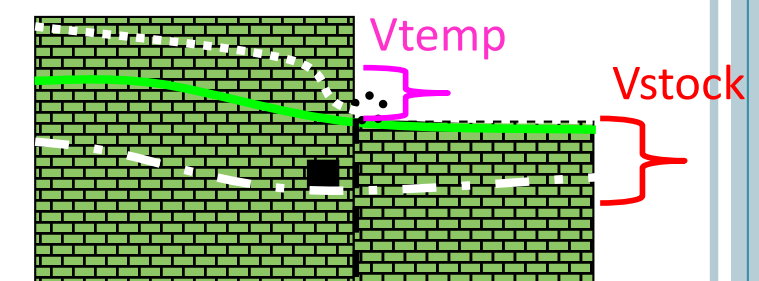
Avant la crue



Au pic de crue



Après la crue



Sollicitation de la
ressource

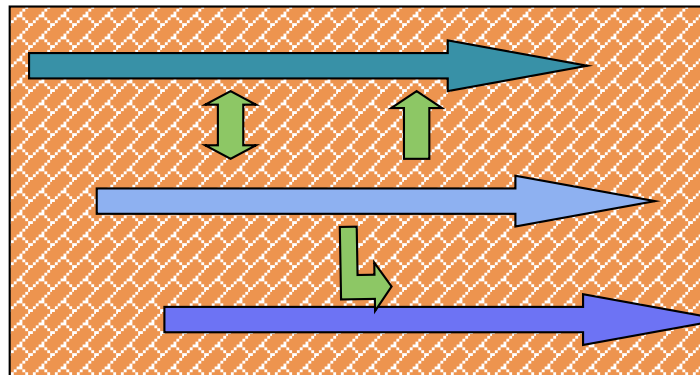
Renouvellement de la
ressource

Stockage d'eau par le karst jusqu'à $\sim 7 \text{ M m}^3$
Rôle de "barrage écrêteur de crues"

CONSÉQUENCE DES PROCESSUS DE KARTIFICATION

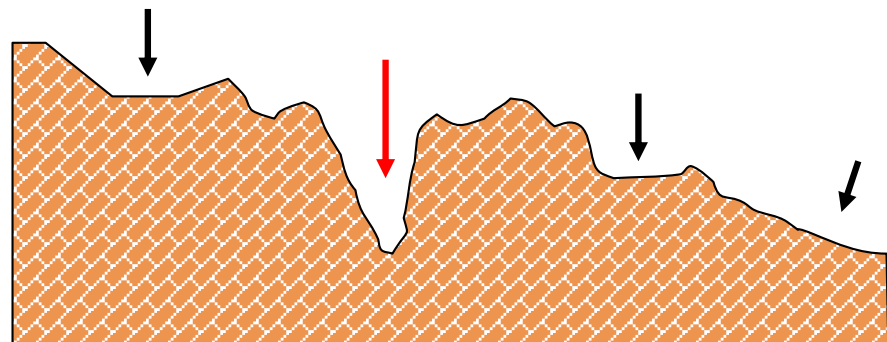
Les réseaux spéléologiques

- La structuration horizontale
- La structuration verticale

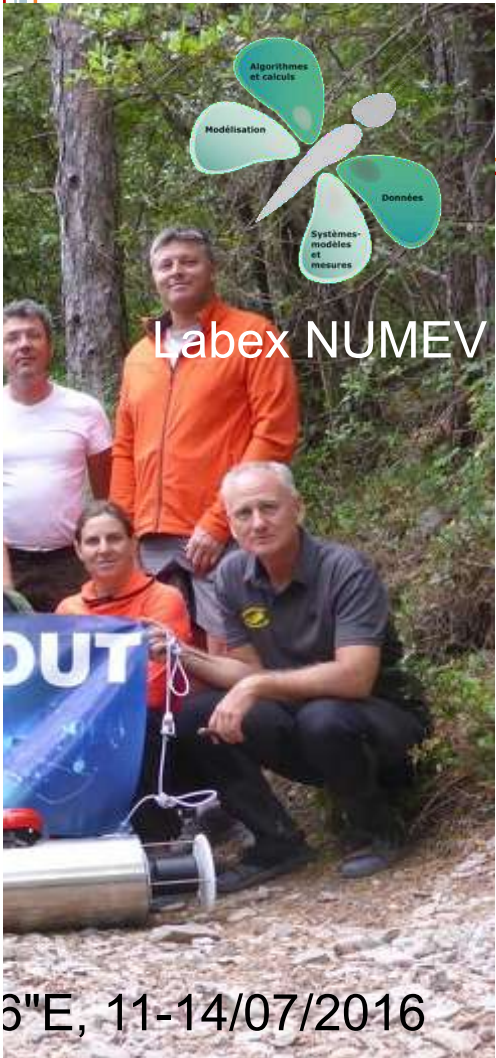


Les surfaces karstiques

- Paléo-surfaces aplaniées
- Incisions en canyons reculées et vallées périphériques



NIVEAU DE BASE (contrôle le potentiel de karstification)
Point topographique le + bas de l'affleurement karstique

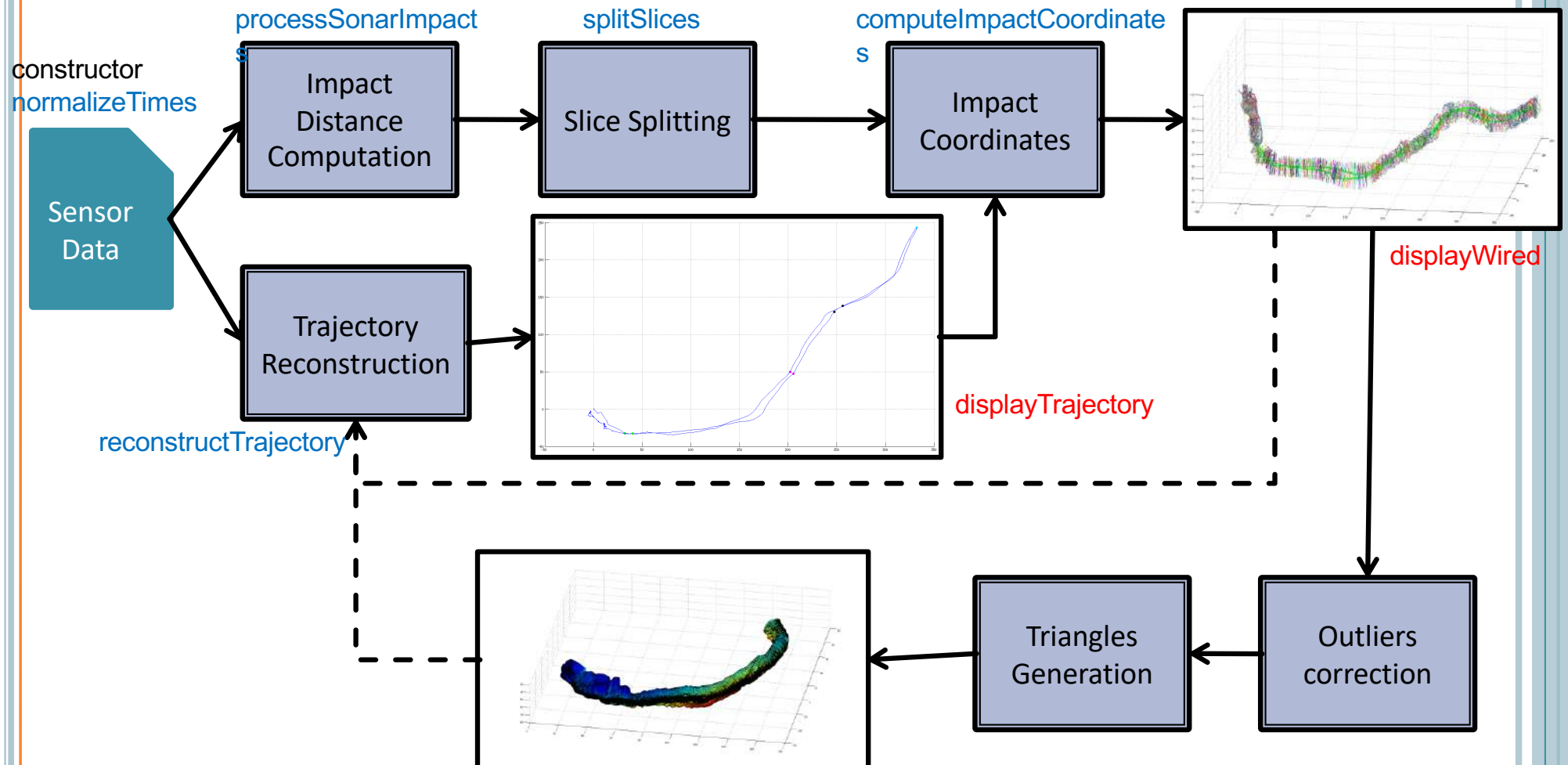


6"E, 11-14/07/2016



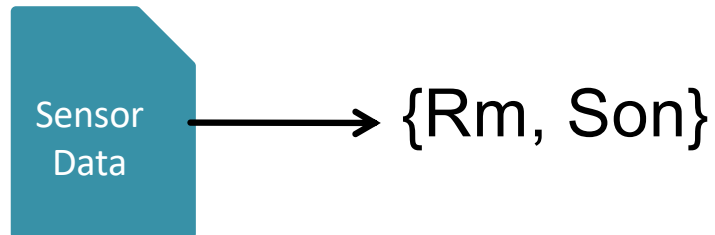
POST-PROCESSING PIPELINE

MATLAB MATCHING



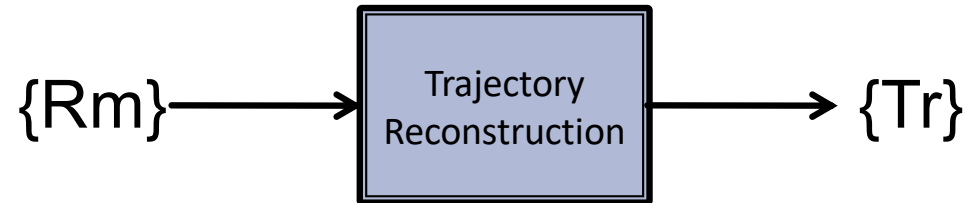
All mentioned methods are part of the **ExperimentGourneyras** object.
Except constructor all other methods are called in `process` or `displayResults`

SENSOR DATA



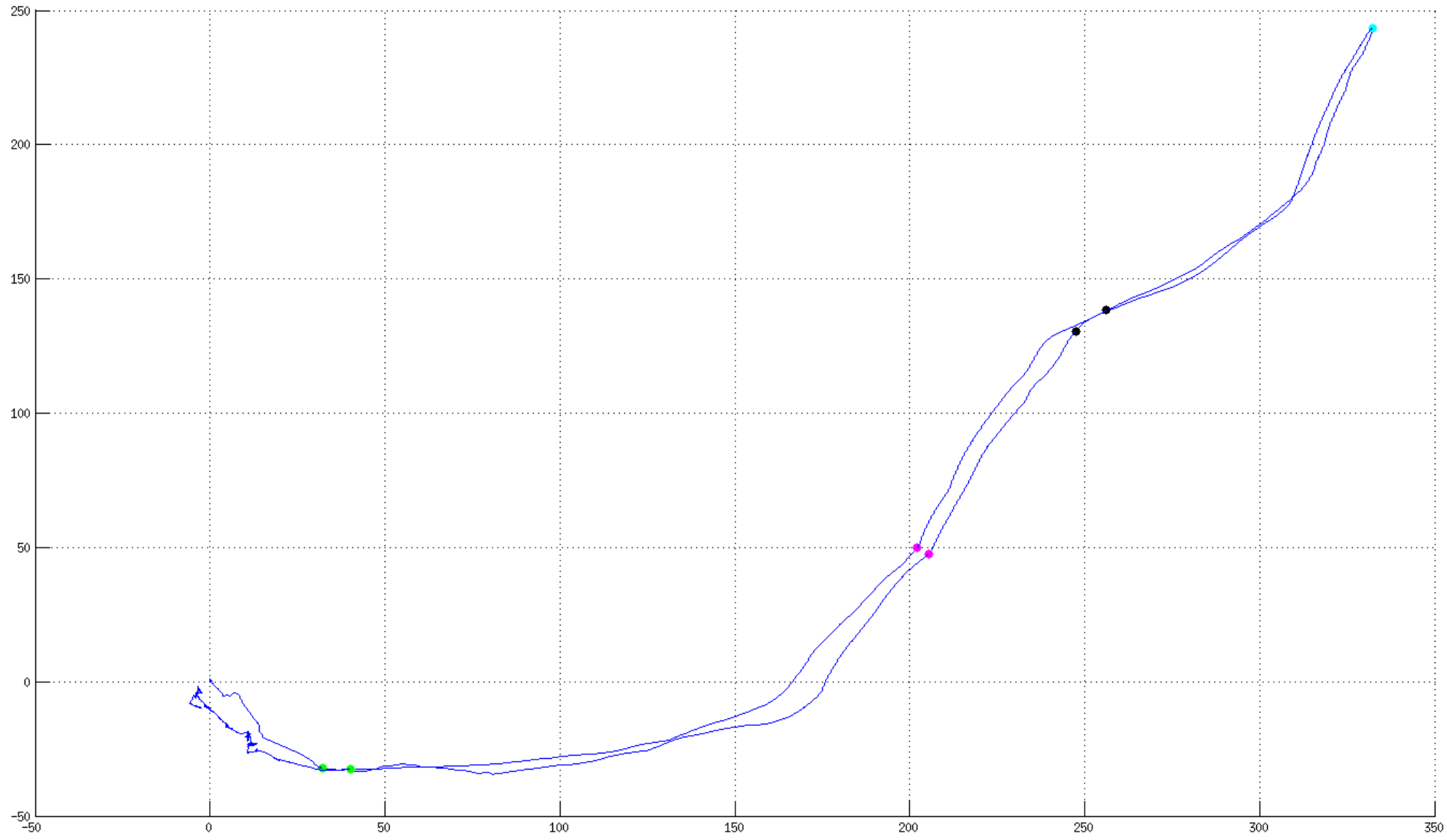
- Robot Motion : $R_m = \{t_{rm}, u, v, w, \phi, \theta, \psi, z, t_{wp}, ID_{wp}\}$
 - Time (t_{rm})
 - Speeds in sensor frame (u, v, w)
 - Orientation in world frame (ϕ, θ, ψ)
 - Depth in world frame (z)
 - Waypoints (t_{wp}, ID_{wp})
- Sonar measurements : $S_o_n = \{t_{son}, \alpha, range, scanline\}$
 - Time (t_{son})
 - Ray Angle (α)
 - Sensor Range ($range$)
 - Scanline (Echo array : $echo_amplitude = f(distance)$)

TRAJECTORY RECONSTRUCTION

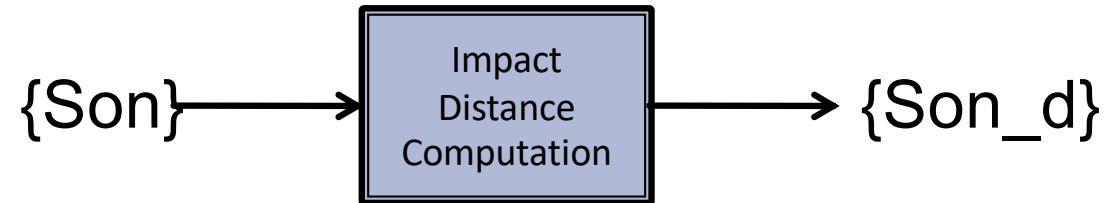


- Trajectory : $Tr = Rm \cup \{dx, dy, dz, x, y, z, x_{wp}, y_{wp}, z_{wp}\}$
 - Speeds in world frame (dx, dy, dz)
 - Coordinates in world frame (x, y, z)
 - Waypoint coordinates (x_{wp}, y_{wp}, z_{wp})
- Waypoints are used to improve trajectory

TRAJECTORY RECONSTRUCTION



IMPACT DISTANCE COMPUTATION



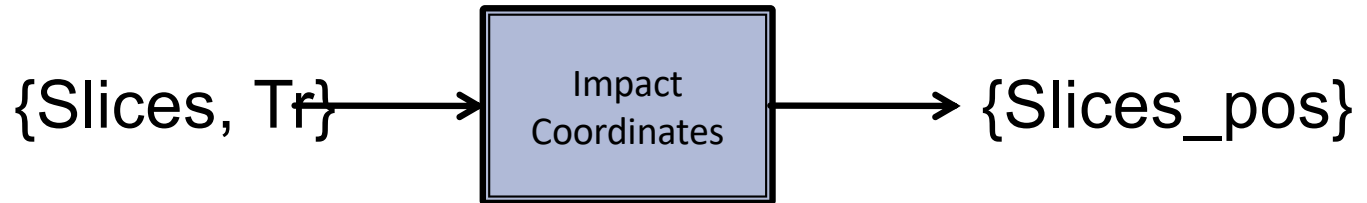
- Sonar measurements : $Son_d = \{t_{son}, \alpha, range, dist\}$
 - Time (t_{son})
 - Ray Angle (α)
 - Sensor Range ($range$)
 - Distance ($dist$)
- Scanline is converted to distance

SLICE SPLITTING



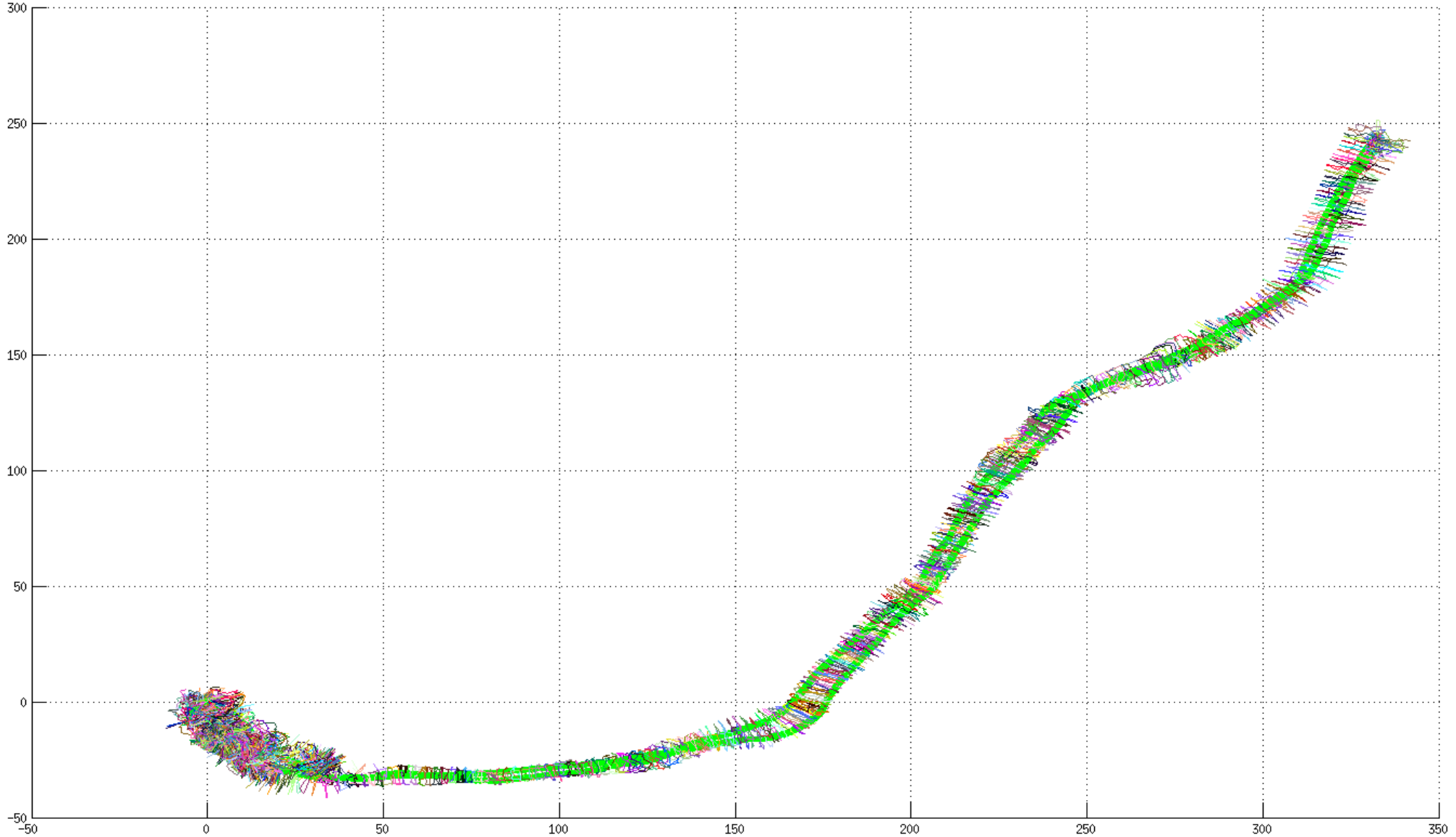
- Slices : N slices x M impacts (avec $N*M \approx \text{dim}(\text{Son}_d)$)
- Division based on ray angles
- Each slices'impact has the same structure as Son_d

IMPACT COORDINATES



- Slices_pos : N slices x M impacts defined as $\{t_{\text{son}}, \alpha, \text{range}, \text{dist}, x_{\text{rob}}, y_{\text{rob}}, z_{\text{rob}}, \phi_{\text{rob}}, \theta_{\text{rob}}, \psi_{\text{rob}}, x_{\text{imp}}, y_{\text{imp}}, z_{\text{imp}}\}$
 - Robot pose ($x_{\text{rob}}, y_{\text{rob}}, z_{\text{rob}}, \phi_{\text{rob}}, \theta_{\text{rob}}, \psi_{\text{rob}}$)
 - Impact coordinates ($x_{\text{imp}}, y_{\text{imp}}, z_{\text{imp}}$)
- Compute 3D coordinates of each impact based on robot trajectory
- 3D Point cloud or « Wire » representation
- Can it be used (automatically) to improve trajectory ?

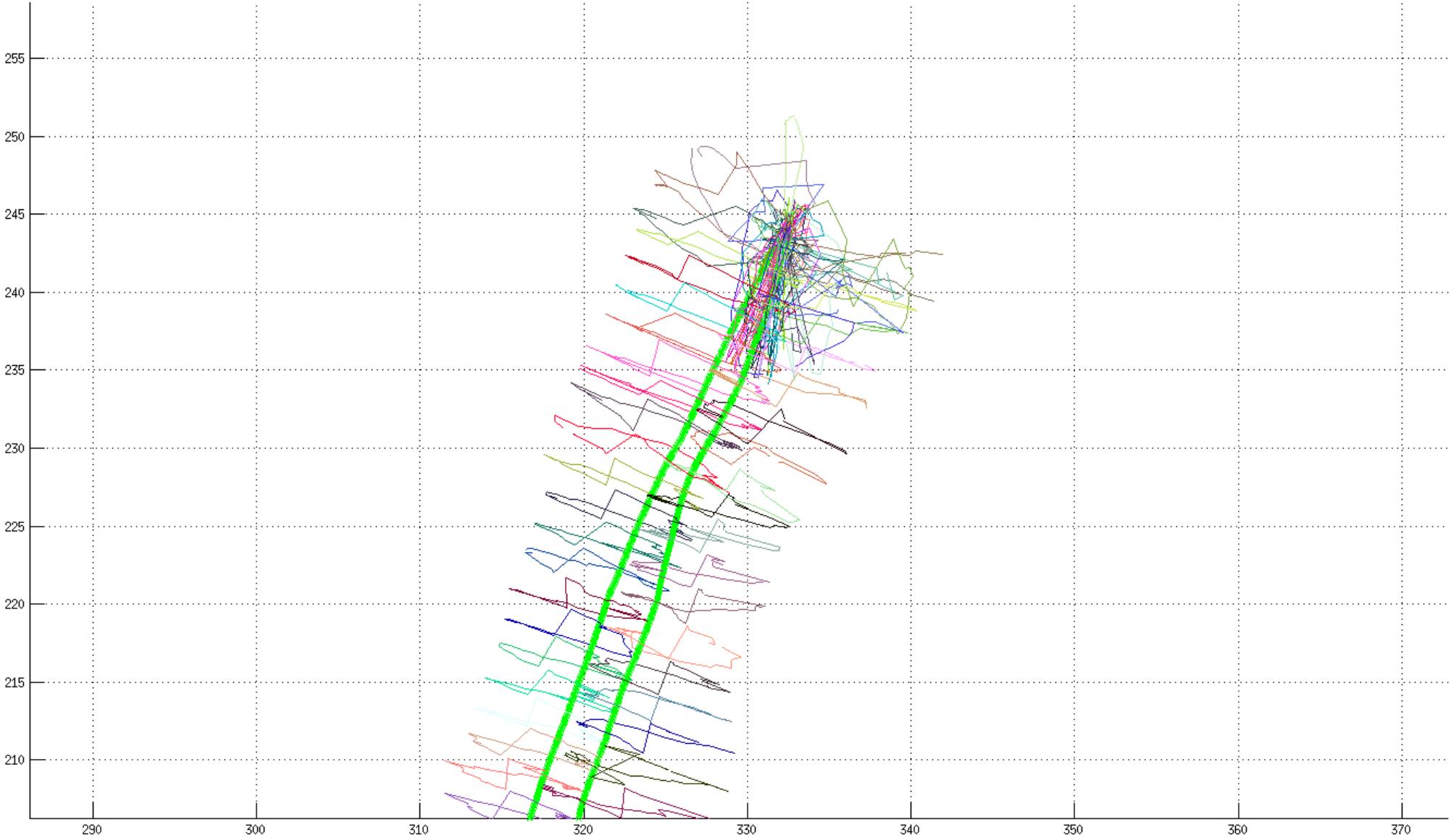
IMPACT COORDINATES



OUTLIERS CORRECTION

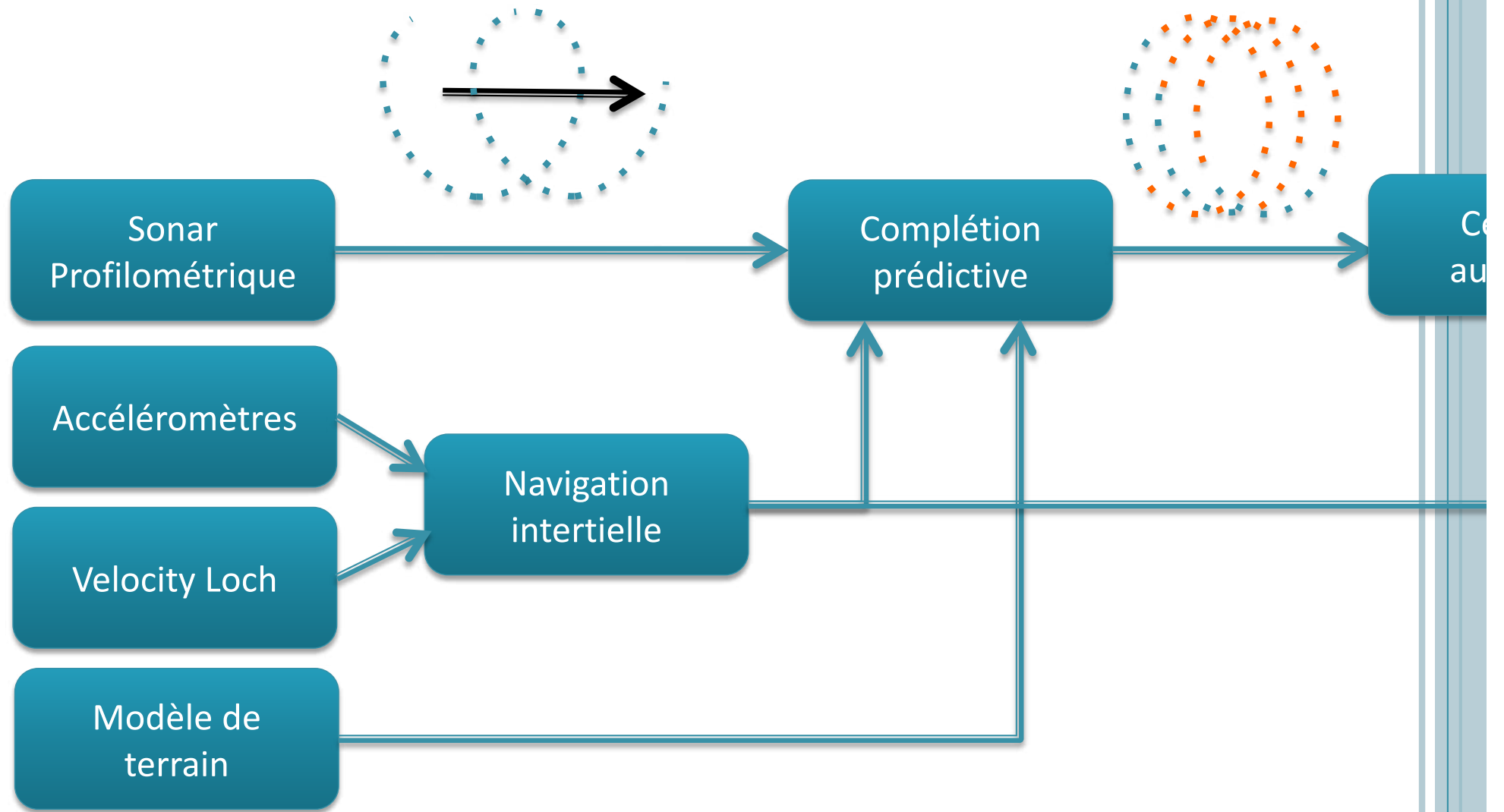
- 18% of undetected points + outliers
- « Fill the Gaps » or ignore these points in reconstruction
?

TRIANGLES GENERATION

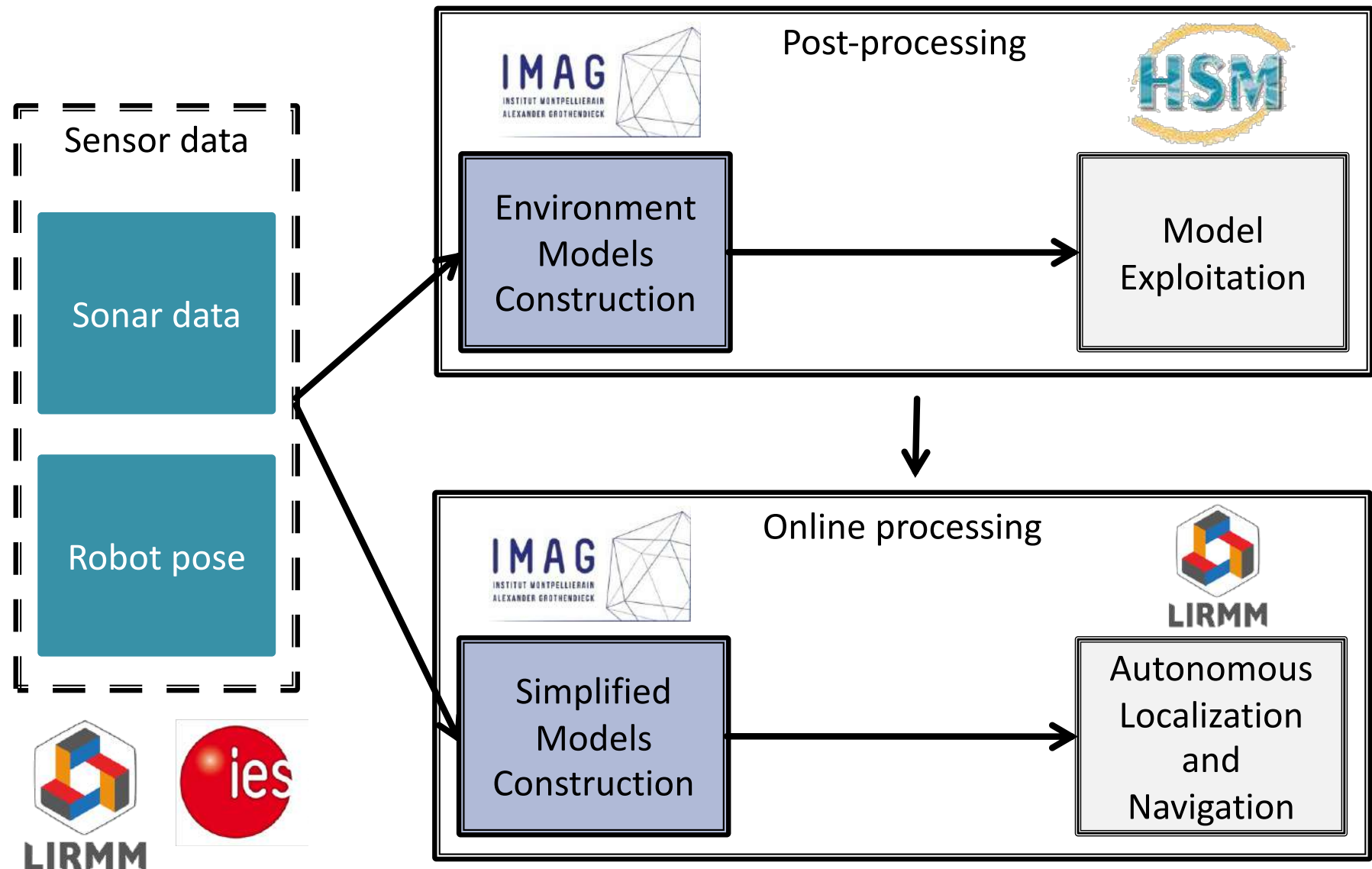


CHANTIERS SCIENTIFIQUES EN COURS

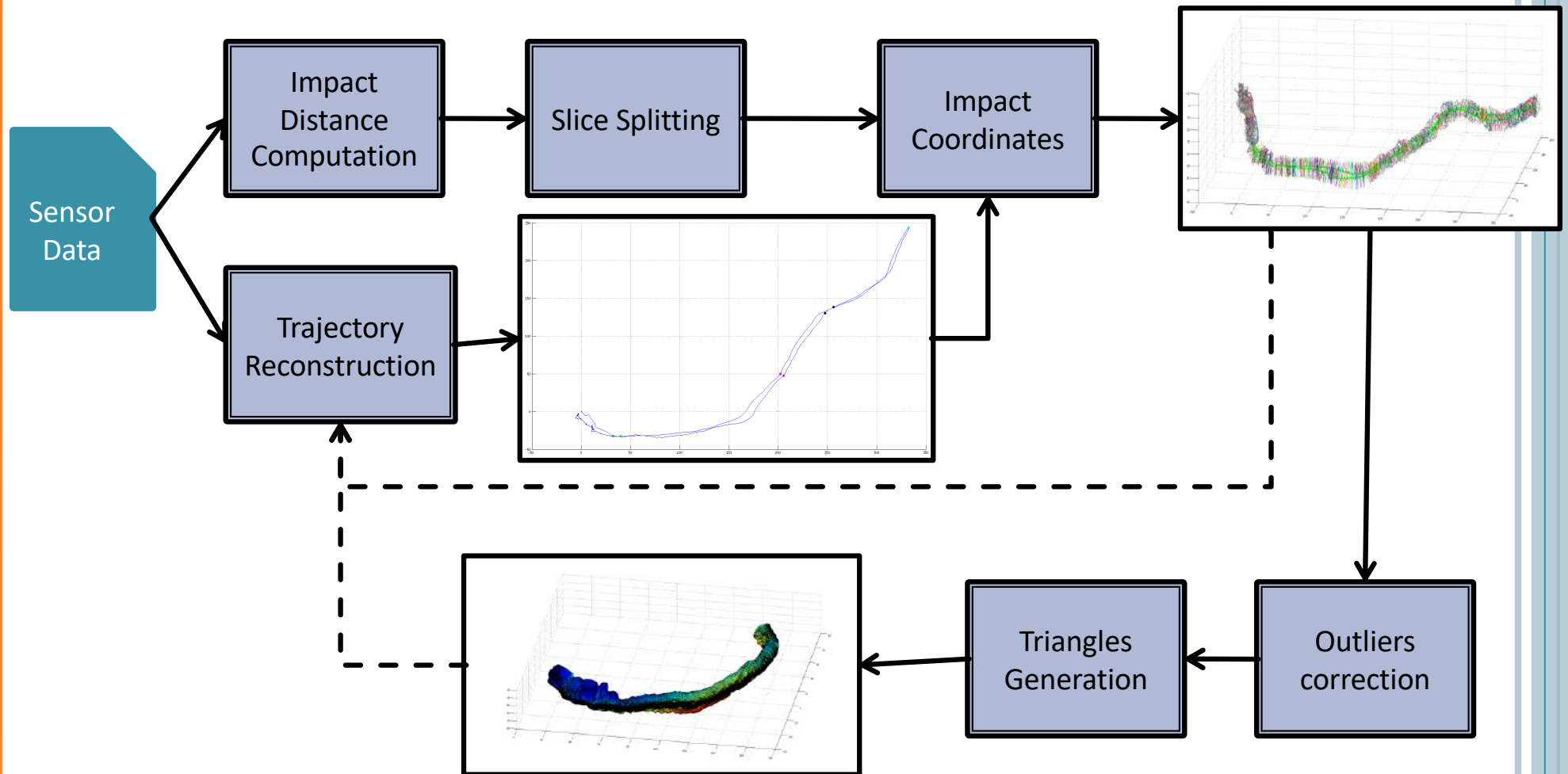
○ Commande réactive orientée modèle de terrain



FROM SENSOR DATA TO ENVIRONMENTAL MODELS

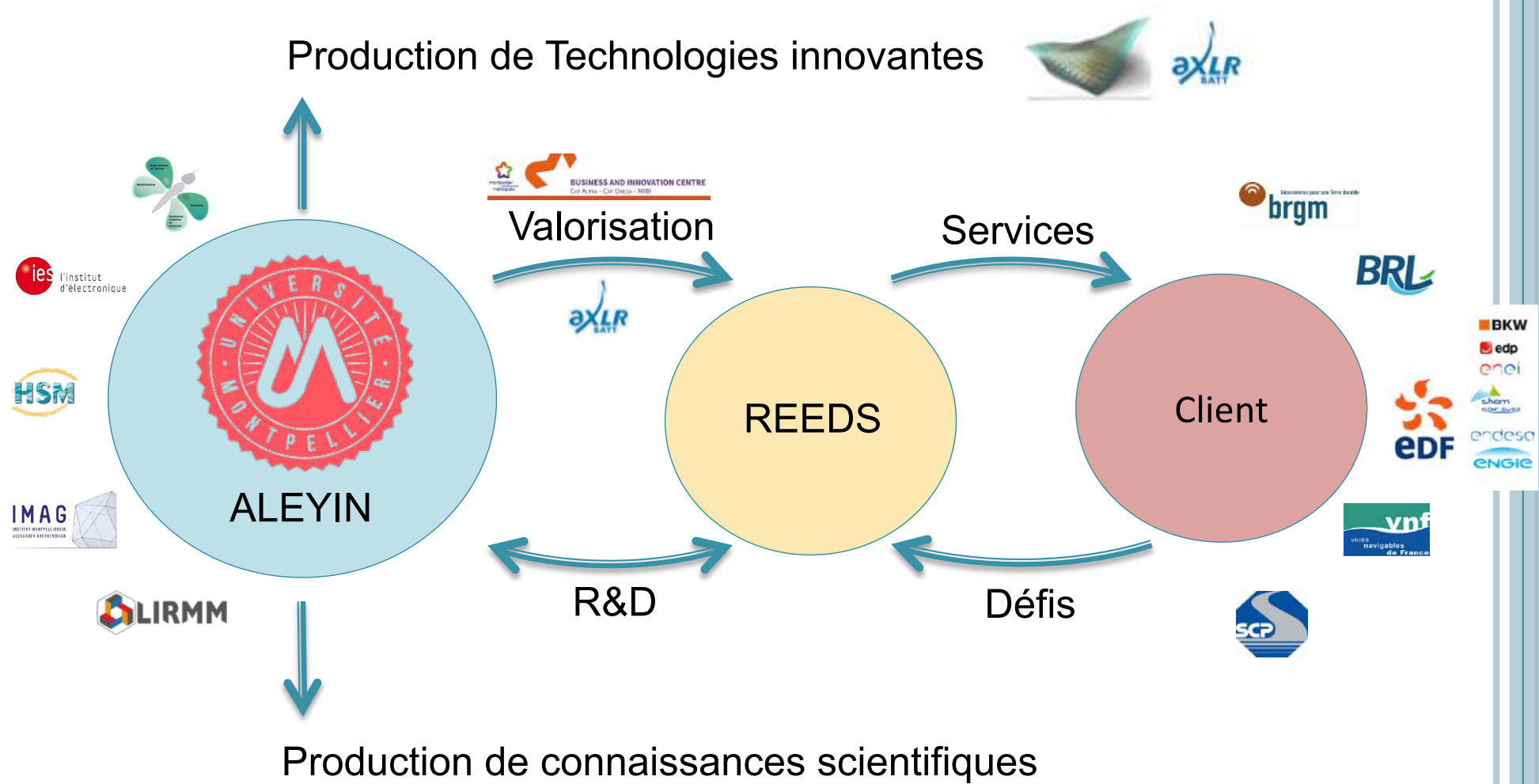


POST-PROCESSING : PIPELINE



LA TRANSDISCIPLINARITÉ COMME TERRAIN DE L'INNOVATION

○ les objets-frontières (*boundary objects*)

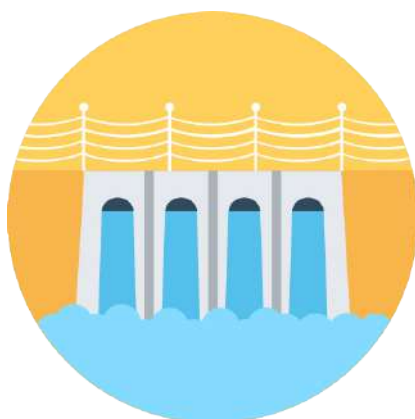


VALORISATION : STARTUP REEDS

- REEDS : Transférer les savoirs et savoir-faire académiques vers de nouveaux services d'inspection subaquatique en environnement confinés.



Canaux et voies
navigables



Barrages et infrastructures
hydrauliques



Galeries
immergées



Karst et conduites
naturelles

- Services à forte Valeur Ajoutée

- Acquisition de données en env. difficiles
- Modélisation fiable et pertinente
- Diminution du risque & coût de la donnée

VALORISATION : L'OFFRE DE REEDS

Grâce à sa maîtrise de l'ensemble des maillons de la chaîne de valeur et sa conception modulaire, REEDS propose une prestation sur mesure.



CO-DESIGN AVEC LE CLIENT

Une étude préalable pour élaborer avec le client la solution adaptée à ses besoins



ACQUISITION DE DONNÉES

Un suivi en temps réel de l'inspection par une communication constante avec le robot permettant de réagir aux observations



RESTITUTION

Une mise en forme et restitution des données collectées lors de l'inspection pour une exploitation directe par le client

REEDS travaille également auprès des exploitants de structures comme SCP (Société du Canal de Provence) qui ouvre ces ouvrages pour valider ces solutions

VALORISATION : L'OFFRE DE REEDS

- Grâce à sa maîtrise de l'ensemble des maillons de la chaîne de valeur et sa conception modulaire, REEDS propose une prestation sur mesure.



CO-DESIGN AVEC LE CLIENT

Une étude préalable pour élaborer avec le client la solution adaptée à ses besoins



ACQUISITION DE DONNÉES

Un suivi en temps réel de l'inspection par une communication constante avec le robot permettant de réagir aux observations



RESTITUTION

Une mise en forme et restitution des données collectées lors de l'inspection pour une exploitation directe par le client

- REEDS travaille également auprès des exploitants de structures comme SCP (Société du Canal de Provence) qui ouvre ces ouvrages pour valider ces solutions

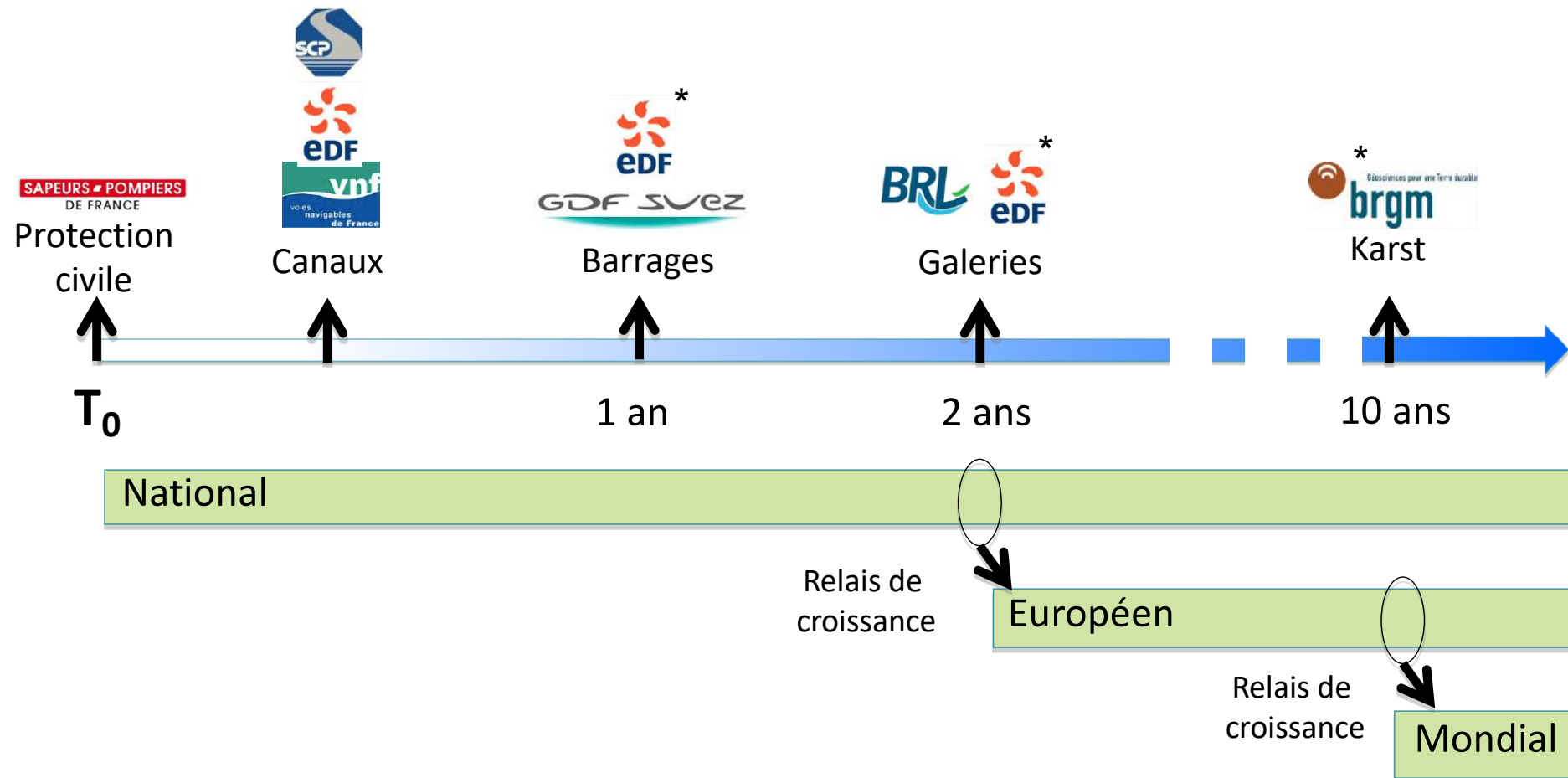
VALORISATION : LA R&D AU CŒUR DE REEDS

- Un site d'expérimentation mis à disposition par la société du canal de Provence
 - 3 km de canaux ouverts
 - 11 km de galeries fermées

SOCIETE DU CANAL DE PROVENCE
ET D'AMENAGEMENT DE LA REGION PROVENCALE

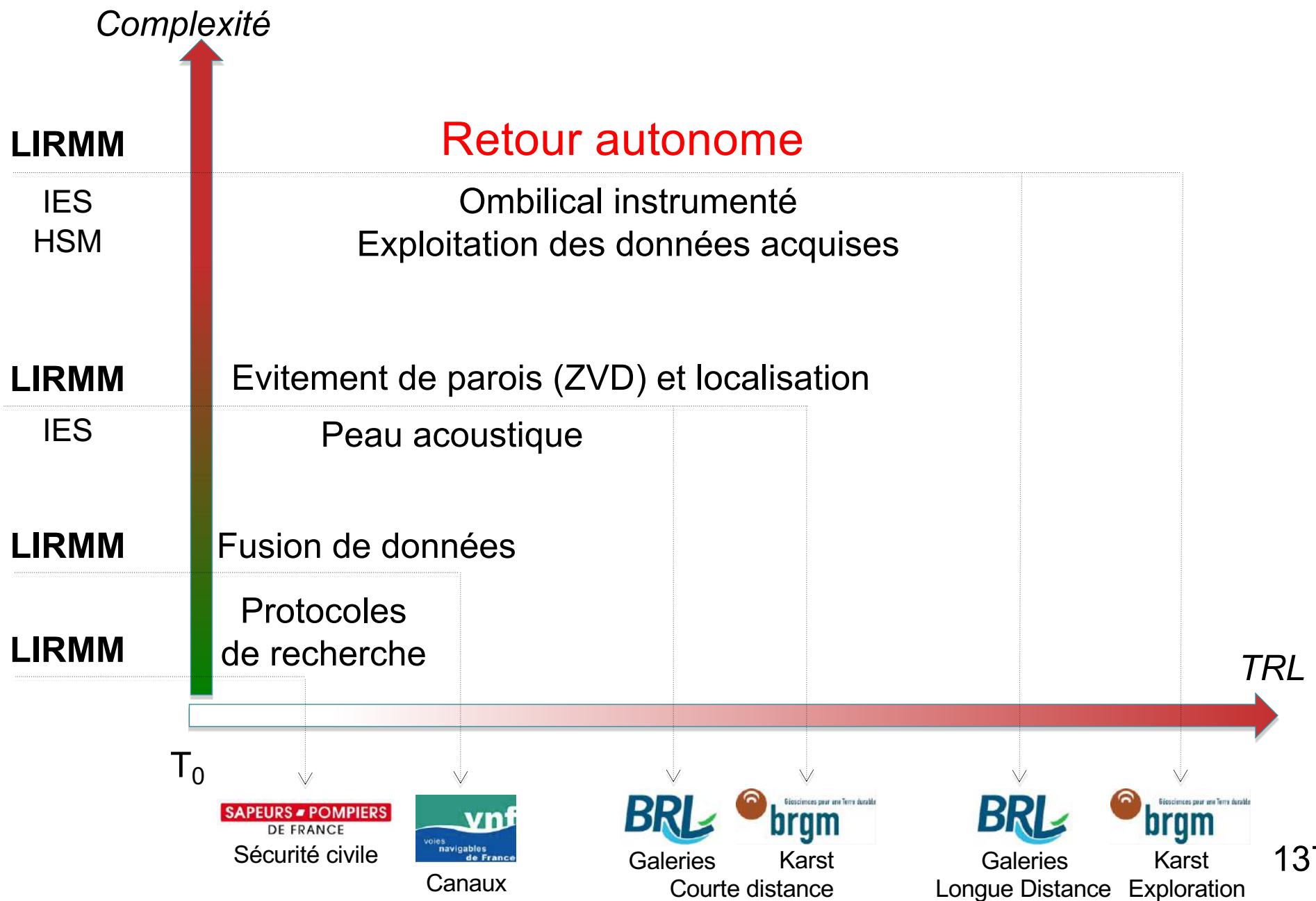


REEDS : DES MARCHÉS DE NICHE ATTAQUÉS PROGRESSIVEMENT

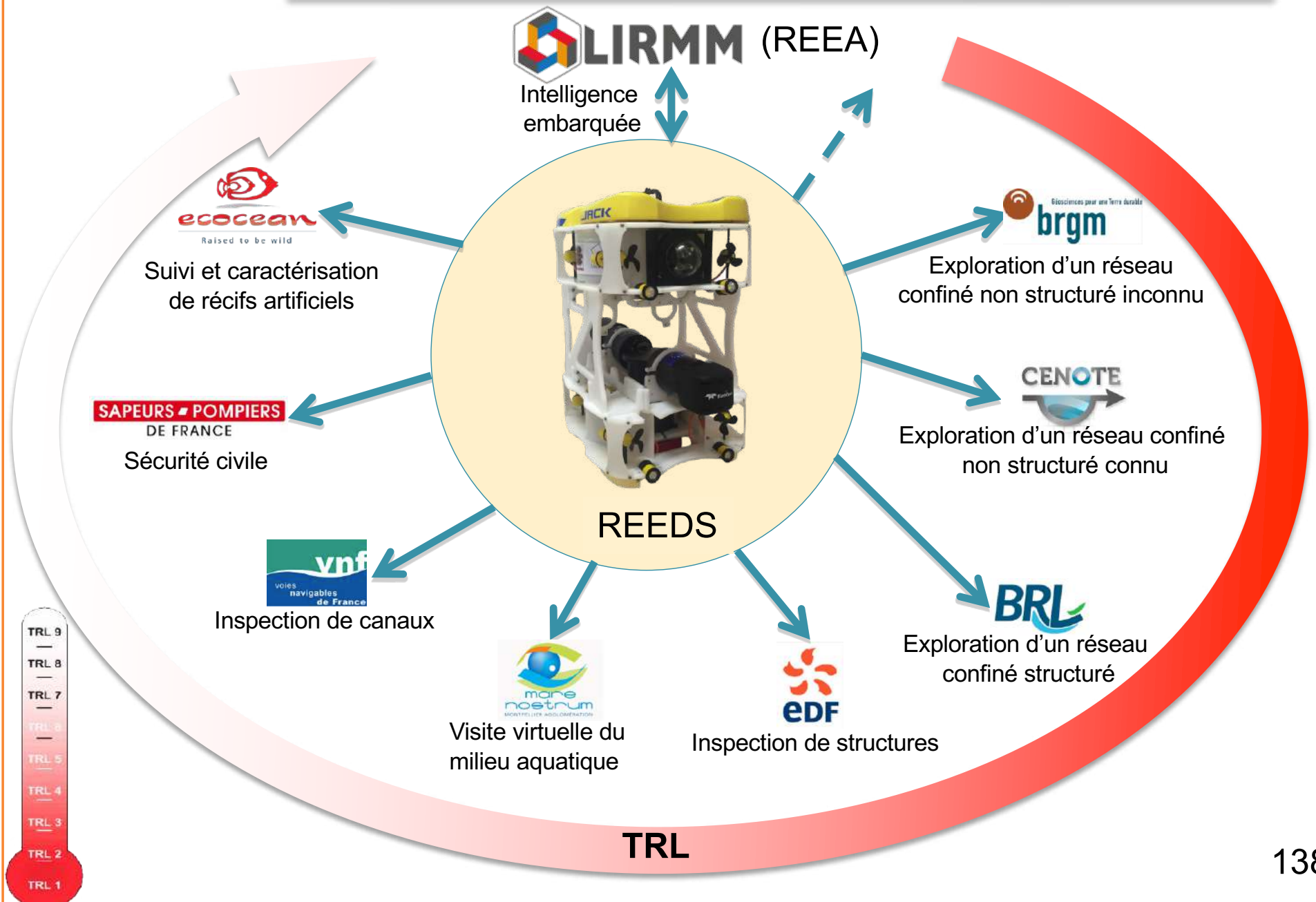


* Partenaires Aleyin (Projet Étandard Numev)

REEDS : VERROUS TECHNOLOGIQUES IDENTIFIÉS



REEDS : SEGMENTATION DU MARCHÉ



VALORISATION : L'ÉQUIPE REEDS

Une équipe complémentaire :

Lionel LAPIERRE
Référent Scientifique
Sénior

Benoît ROPARS
Scientifique (Ph.d)
Technologie

Luc ROSSI
Expert technique
Technologie

Bruno PIGNARD
Business developer
Entreprise

Saïd YAMI
Référent Scientifique
Sénior

Collaborateurs académiques:

David ANDREU
Enseignant Chercheur
Conseiller

Hervé JOURDE
Enseignant Chercheur
Intervenant

PERPSECTIVES

- Extension du réseau de partenaires
 - Académiques
 - Appel de coopération PRIMA (2018 ->)
 - France, Italie, Espagne, Portugal
 - Actions bilatérales
 - Vietnam, Europe de l'est.
 - Implication des industriels partenaires
 - EDF, BRGM, CNP, VNF...
 - Repérage et ouverture de sites industriels
 - Contractualisation des collaborations (LabCom...)
- Validation centrage autonome
 - Mission de terrain 01/2018
 - Gourneyras, Durzon...

BUILDING PROJECT : 4 INGREDIENTS OF SUCCESS

- Pave new research avenues
 - Transdisciplinarity : a very strange alchemy
- Impact territory
 - Local coherency : regional application of global interest
- Network people of goodwill
 - Technological-scientific-Industrial-Financial Consortium coherency : towards creation of new services.
- Raise funds
 - Financial aspect : when bottom – up tracks top – down.

TRANSDISCIPLINARITY

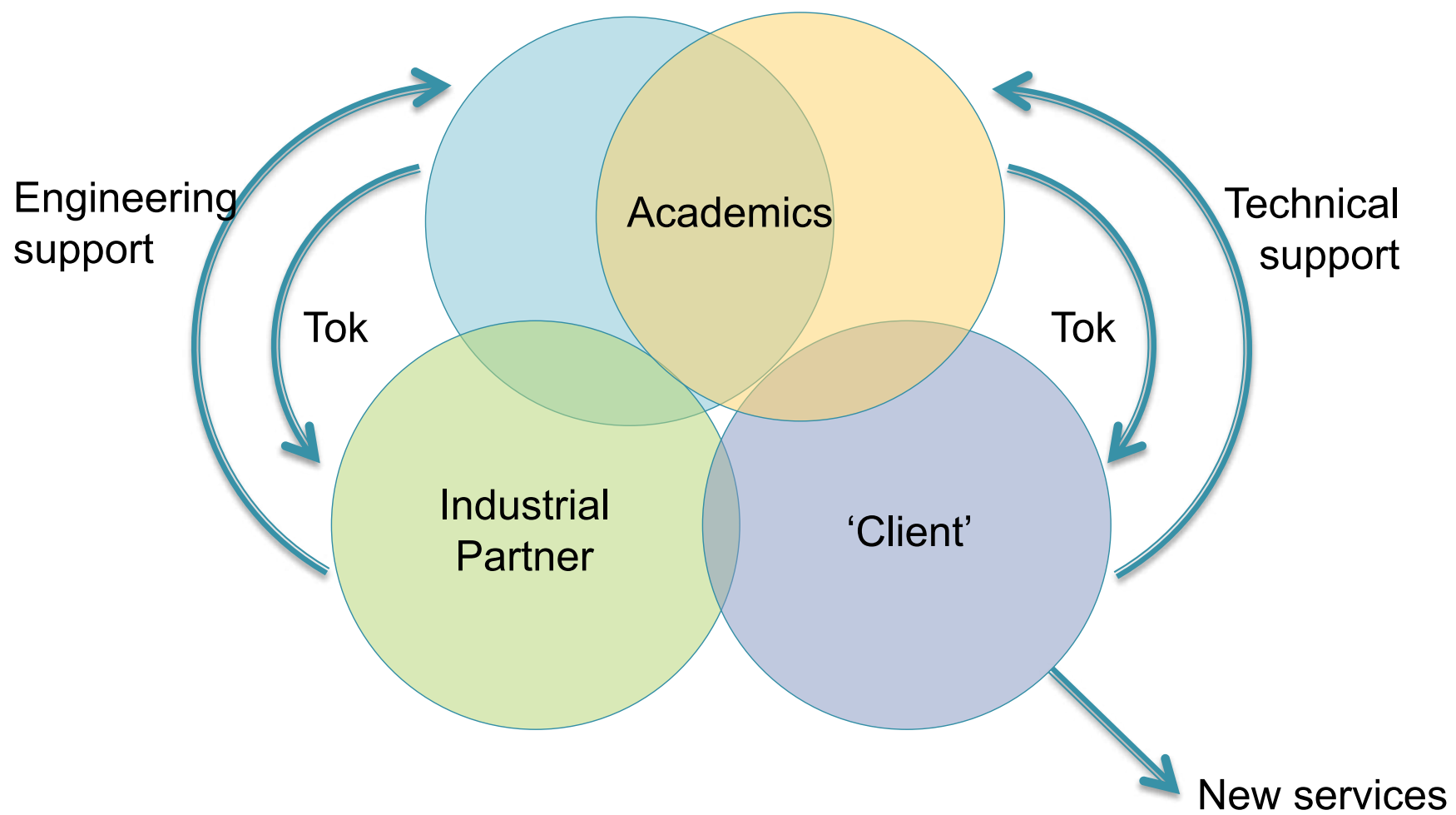
- Breaking the disciplinary barriers
 - 1. Learn different scientific languages, tools and objectives
 - 2. Circumvent overlapping regions of interest
 - 3. Assimilate partner(s) objective(s)
 - 4. Revisit your science with a brilliant co-advised PhD student
- Co-design
- Opportunity is at interface

IMPACT TERRITORY

- Local coherency
 - 1. Integrate territory strategy
 - 2. Map local needs and actors
 - 3. Identify unseen and unquestionable applications
 - 4. Intersect with actors needs (new services)

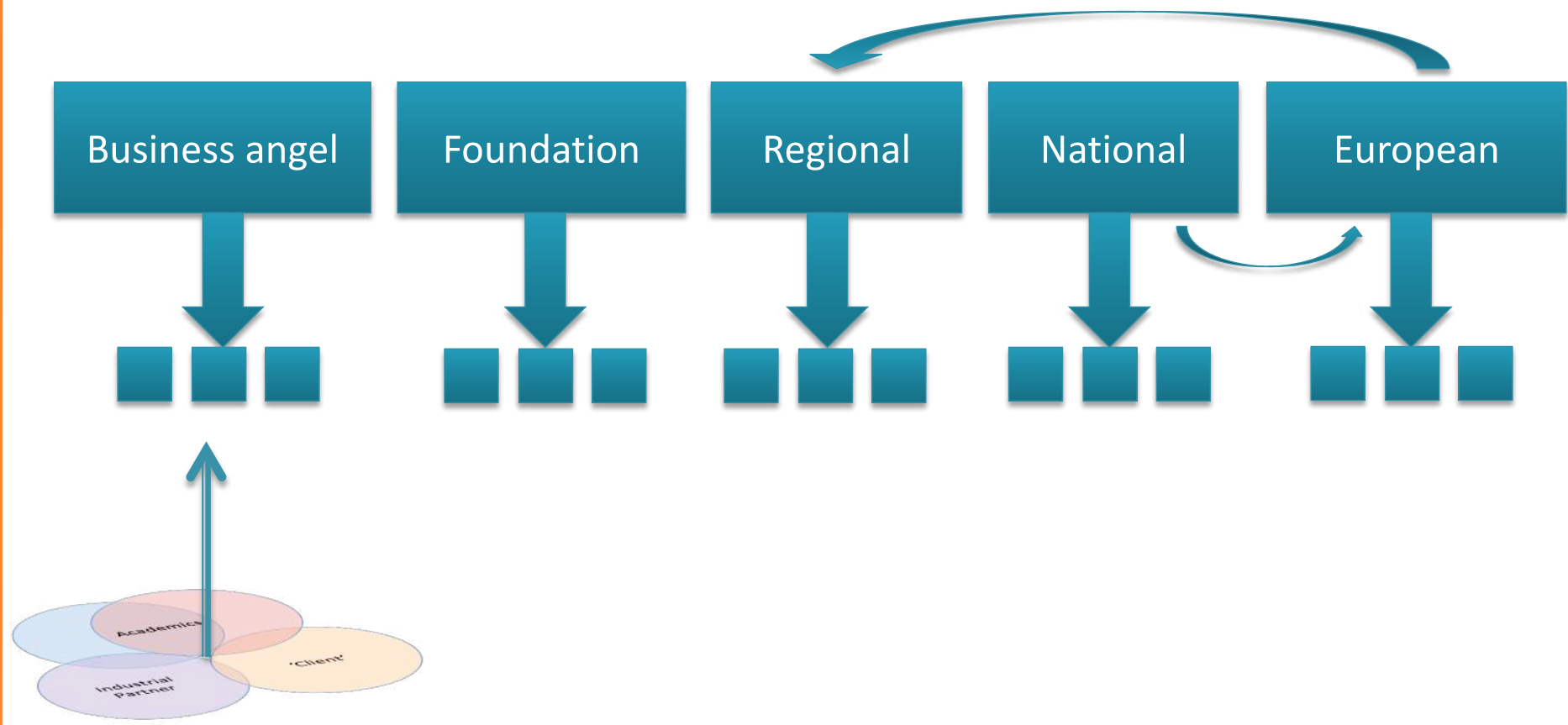
- Route for innovation is known, and crowded, within specific discipline
 - Cross disciplines
 - Services requiring transdisciplinary TOK.

NETWORK PEOPLE OF GOODWILL



RAISE FUNDS

- When Bottom – up tracks Top – down



DEEP KARSTS IN THE MIDI DE LA FRANCE

